

Detector technologies

A brief overview

Many thanks to Erik Butz, [Simon Spannagel](#),
[Freya Blekman](#), [Peter Schleper](#), Erika Garutti

jory.sonneveld@cern.ch

Nikhef



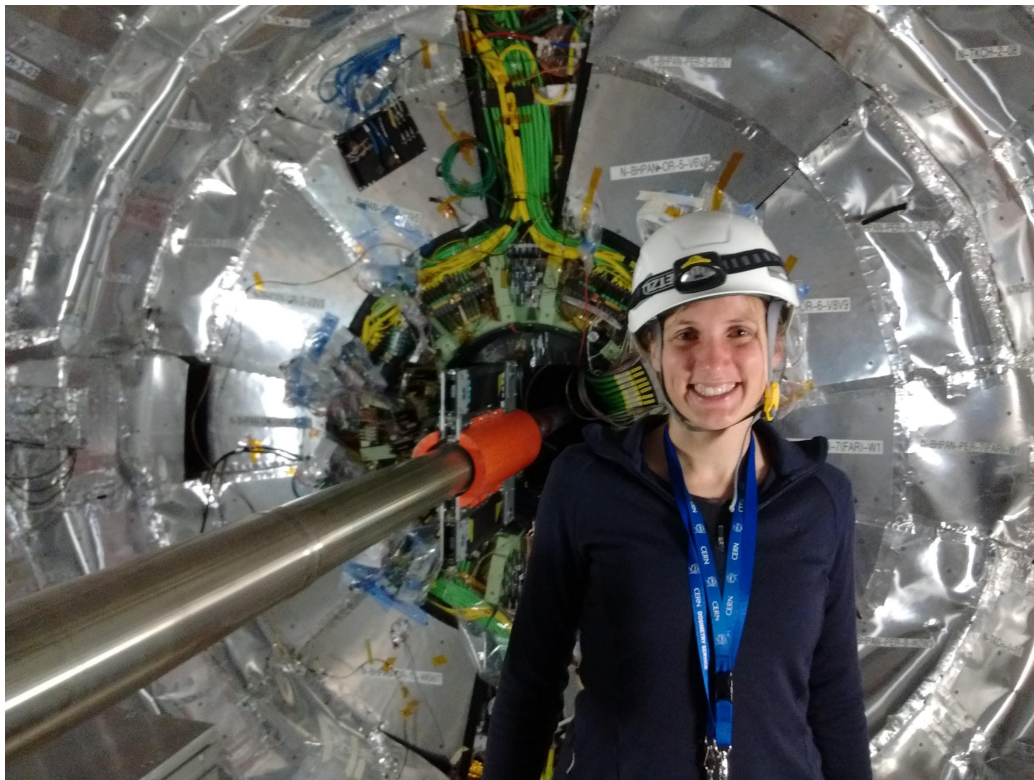
UNIVERSITY
OF AMSTERDAM

Ik ben onderzoeker in natuurkunde

Ik werk aan de universiteit van Amsterdam en ontwikkel detectoren in de Nikhef detector R&D groep.

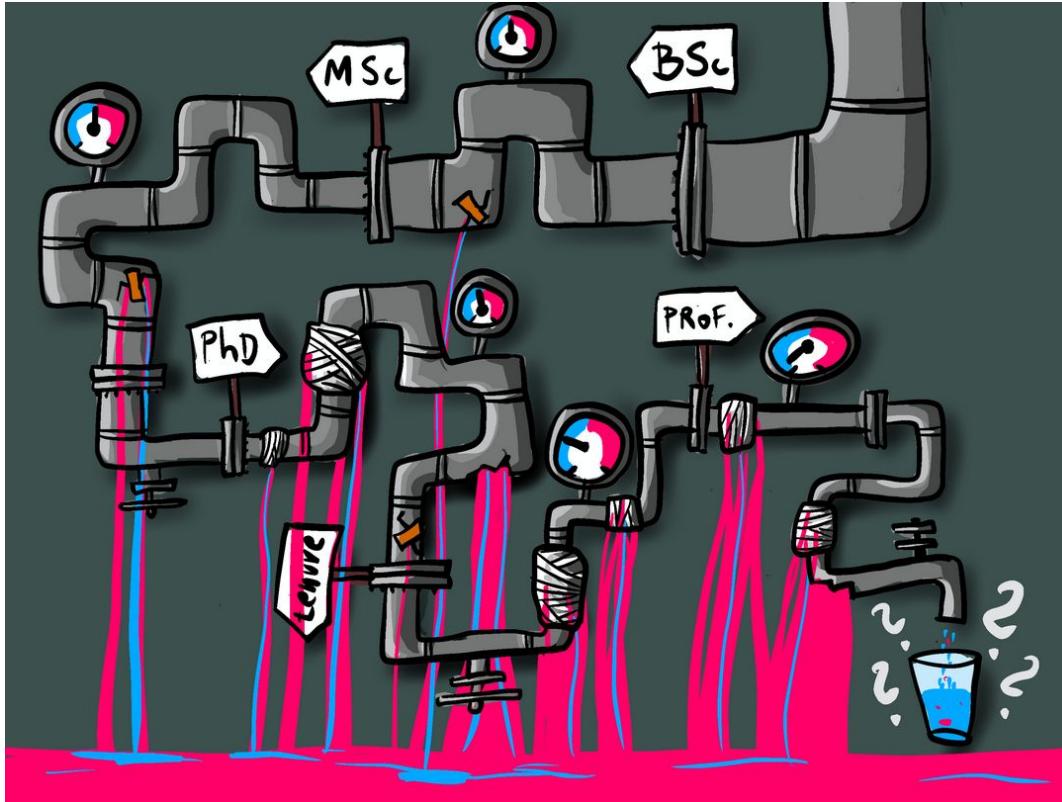
Ik heb ook detectoren bediend en data geanalyseerd: sta ik voor een deeltjesdetector waaraan gewerkt heb op CERN.

Door de buis gaan hele kleine deeltjes met bijna de lichtsnelheid!



Diversiteit

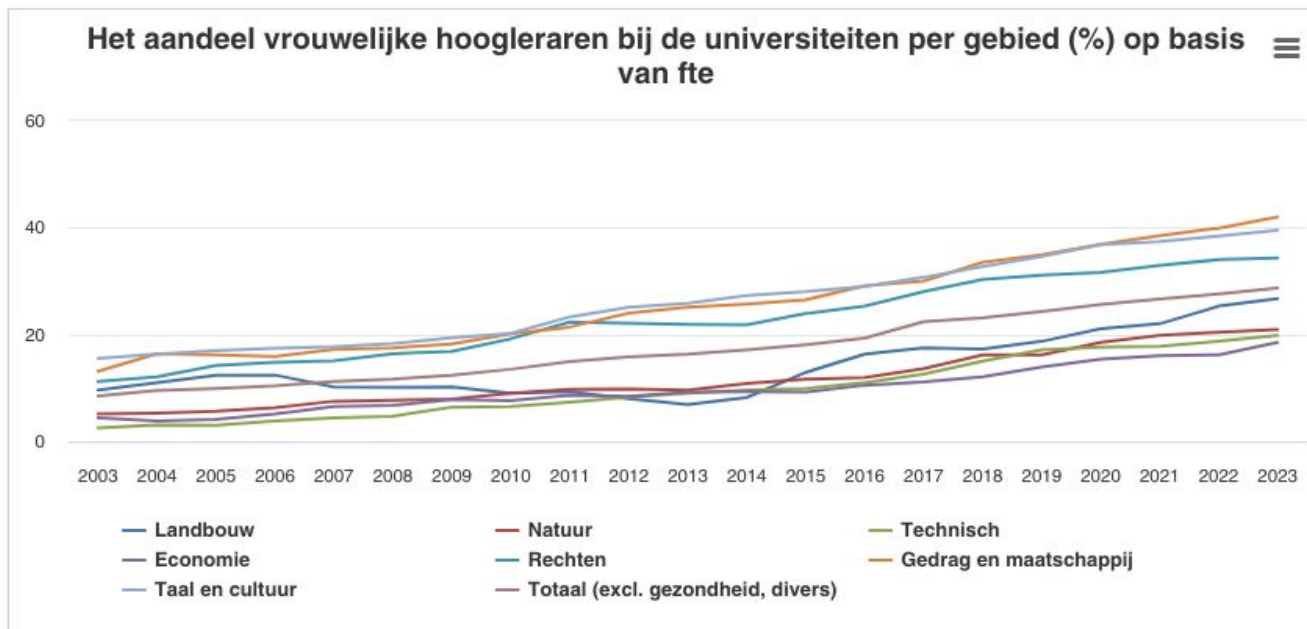
Onderweg naar de carrière gaat veel talent verloren



Onze
bachelorinstroom
is maar 25%
vrouw

<https://iop.uva.nl/people/d-i-council/posters/leaky-pipeline.html>

Voorbeelden zijn er weinig



Van het [Rathenau instituut](#)

Gegevens: [Download als CSV bestand](#)

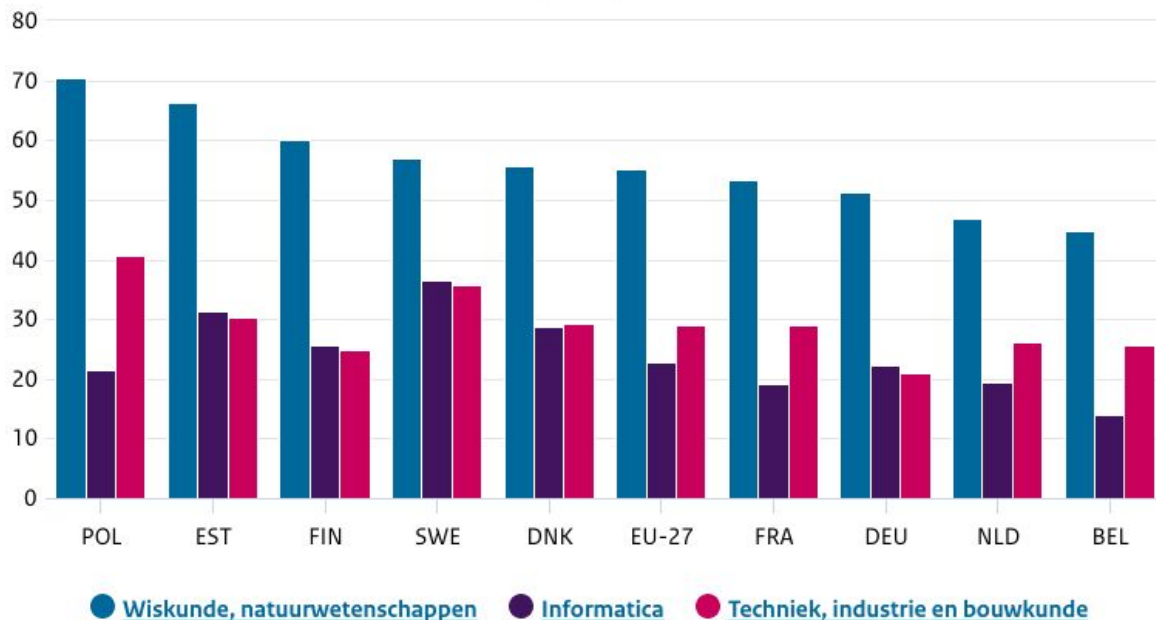
Bron: UNL/ WOPI

Notities: Exclusief Gezondheid en hoogleraren bij de universitair medische centra. Het percentage vrouwelijke hoogleraren aan de universitair medische centra is toegenomen van 17,3% in 2012 tot 25,7% in 2020. (Zie 'Extra toelichting WOPI').

Weinig vrouwen in techniek in Nederland

Percentage gediplomeerde vrouwen in de bètatechniek per studierichting

2020-2021



Van ocwincijfers.nl

Diversiteit

Image: [kcl.ac.uk](https://www.kcl.ac.uk)



Young girls become interested in STEM subjects around the age of 11 and then quickly lose interest when they are 15

Study from 2017 commissioned by Microsoft.

Causes

Social pressure

Lack of mentors

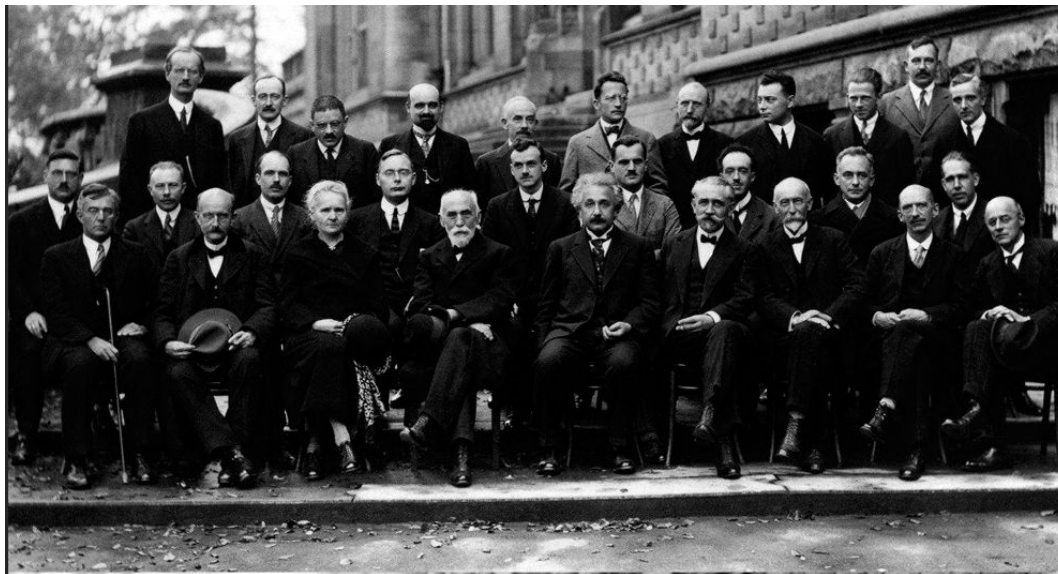
Lack of access to hands-on-learning

Girls' confidence declines dramatically during puberty, even when they outperform boys in school.

A study published in 2018 asked 1,300 pupils:

- Similar confidence up to age 12
- 30% lower confidence in girls after

Diversiteit: waar is iedereen?



Niet-Nederlandse komaf kiest:

- economische opleiding
- universitaire rechtenstudie
- Niet 'Cultuur en maatschappij': te "soft"
- Niet 'natuur en techniek': te zwaar (!)

Van [wikipedia](#)

Vaak hebben allochtone studenten ook een grote 'drive' om te willen slagen binnen hun schoolloopbaan, omdat ze het **gevoel hebben dat ze zich meer moeten bewijzen dan autochtone studenten.**

You can make a difference



Affirm girls' achievements and identities, especially between ages 8 and 14:

“The praise I received from my favourite teachers when I was in middle school has stayed with me throughout college. [...] Sometimes all it takes is one teacher affirming you—especially when your cultural identities are not being affirmed anywhere else.”

Van Tigdankay Saccoh in de [Economist](#)

What can you do?

Emphasize importance of trial-and-error

Affirm achievements

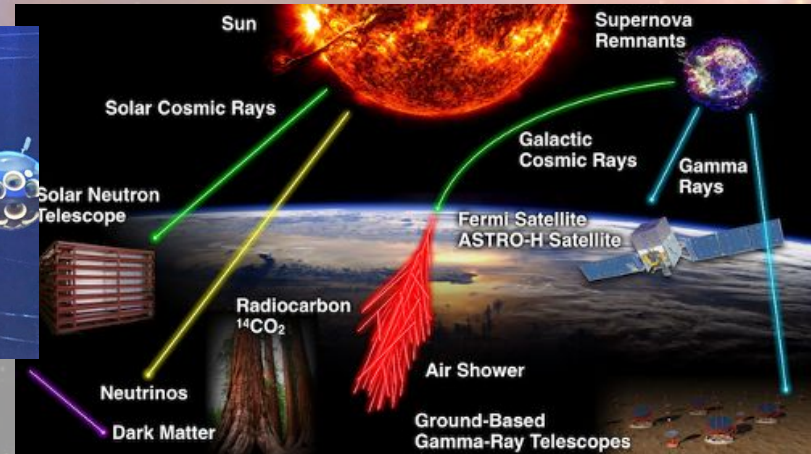
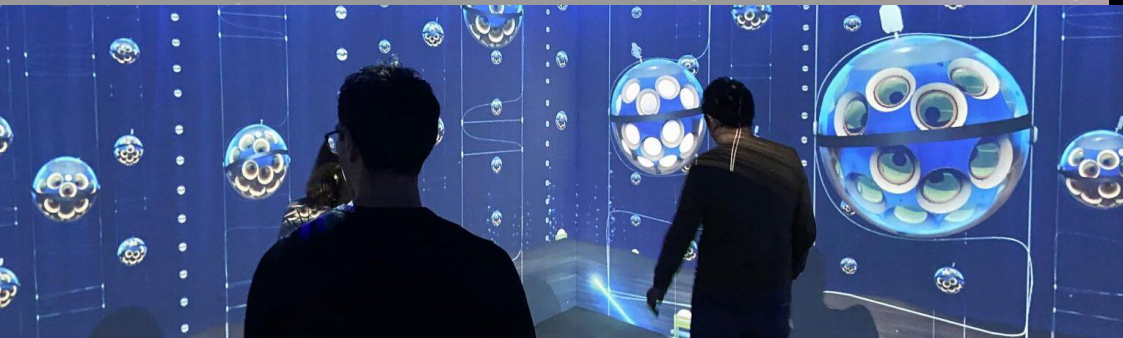
Deeltjes: waar komen ze vandaan?

Deeltjes vanuit de ruimte

10000 keer per seconde gaan er deeltjes uit kosmische stralen door jou heen

Wat zijn die deeltjes en hoe gedragen ze zich?
Waarvan zijn wij en het universum gemaakt?

From <https://www.km3net.org/>



KM3net: cubic kilometer neutrino telescope
in Mediterranean Sea, can detect photons
kan gamma stralen detecteren

Hoe kunnen we zo'n deeltje
detecteren?

γ stralen: fotonen

Cherenkov licht:

- Licht is 0.25% langzamer in water
- Ultra-hoge-energie deeltjes kunnen sneller dan licht in water
- Een blauwe flash van "Cherenkov licht" ontstaat
- Net als een sonic boom van een vliegtuig dat door de geluidsbarriere gaat

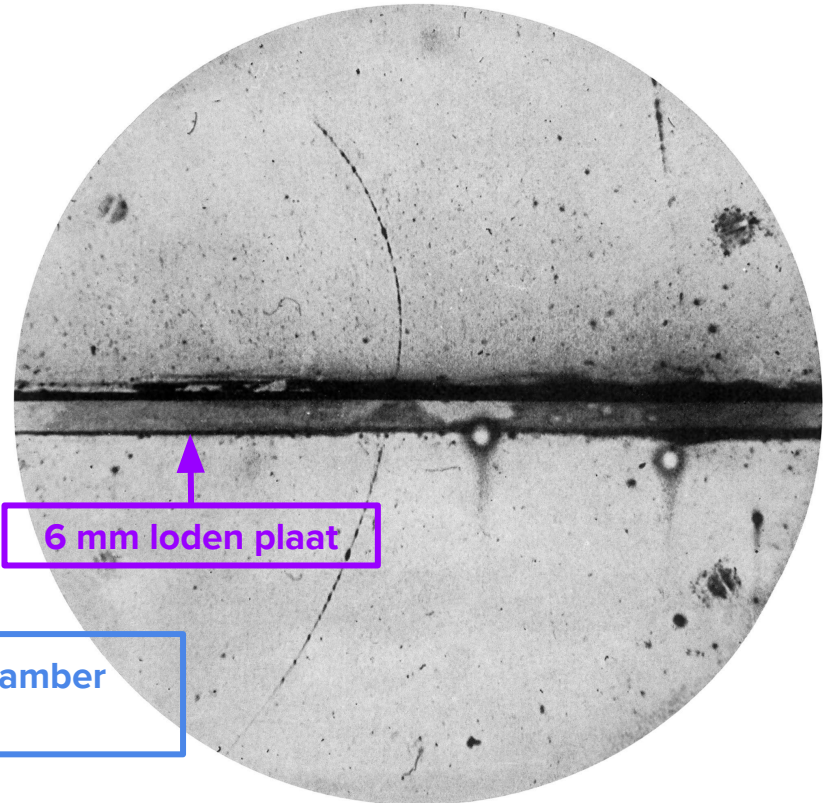
Ontdekking van antimaterie

<https://upload.wikimedia.org/wikipedia/commons/6/69/PositronDiscovery.jpg>

C.D. Anderson <https://journals.aps.org/pr/pdf/10.1103/PhysRev.43.491>

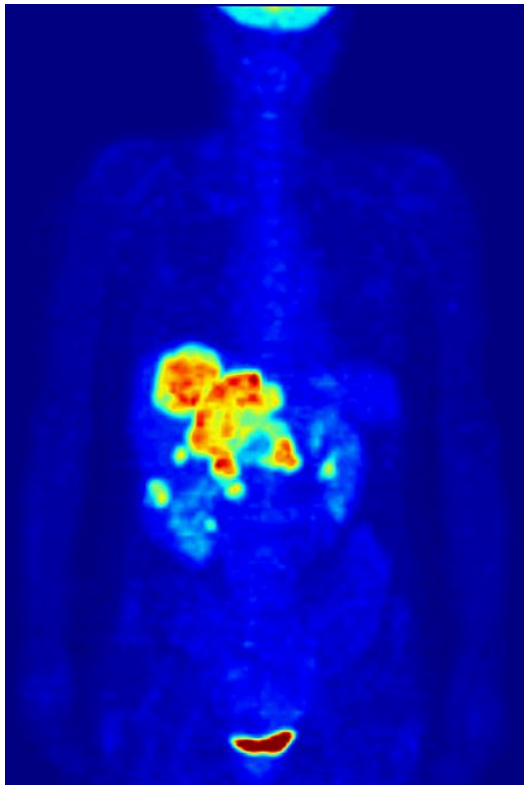
Het eerste positron ooit geobserveerd!

Nevelkamer: gasmengsel van superverzadigd water of alcohol. Een energetisch deeltje ioniseert het gas en ionen vormen condensatiecentra die zichtbaar worden als wolk.



15000 Gauss = 1.5T magnetisch veld Wilson cloud chamber (nevelkamer) voor detectie van kosmische straling

Meer deeltjesdetectoren



Magnetic resonance imaging

(b)

Positron emission tomography



Detectie van deeltjes

Deeltjes laten sporen achter!

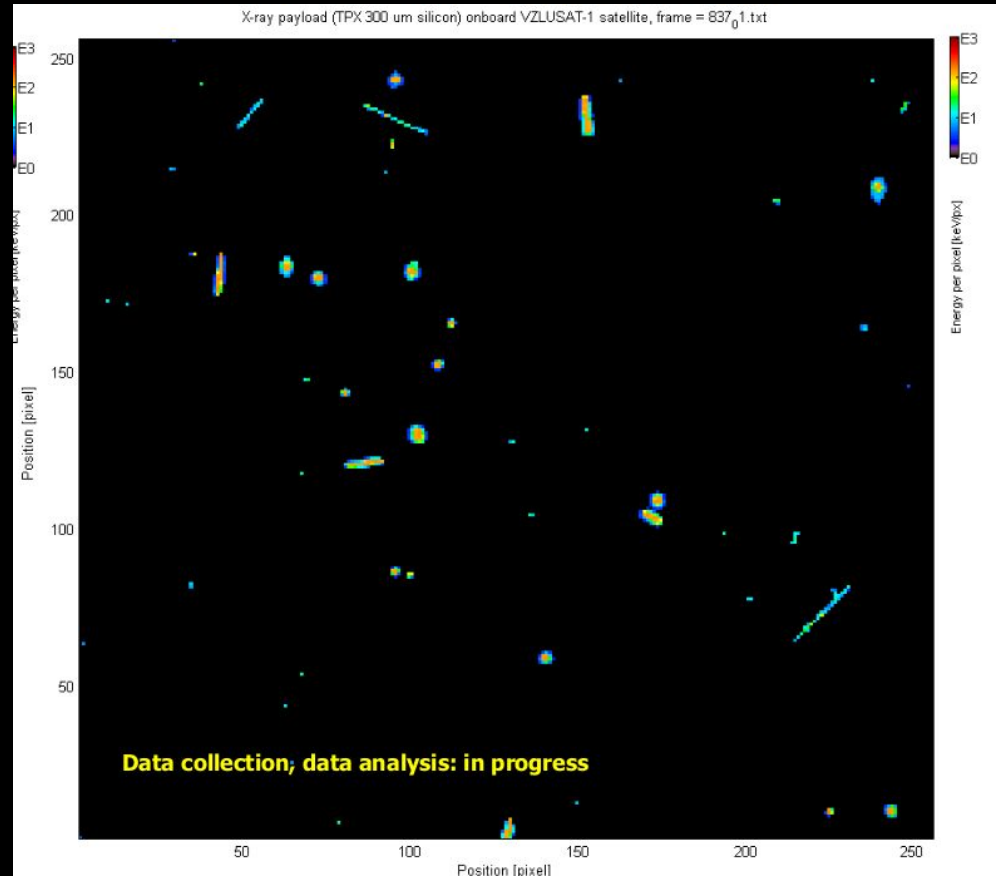


See also

<https://advacam.com/camera/edu-kit/>

or no need for the whole package:

<https://advacam.com/camera/minipix-edu/>



Build your own muon detector

Silicon photomultiplier



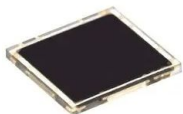
Alle producten Fabrikanten Services

Start > Semiconductors > ICs > IC Sensors > Silicon Photomultiplier

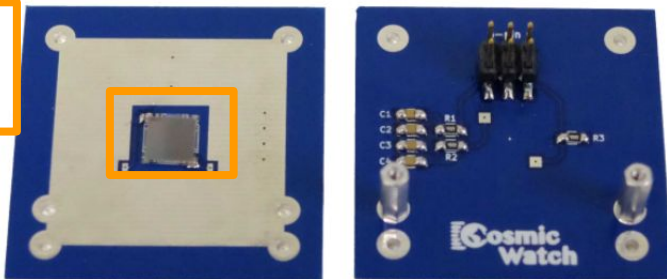
MICROFC-60035-SMT-TR1

Silicon Photomultiplier (SiPM), C-Series, 6mmx6mm

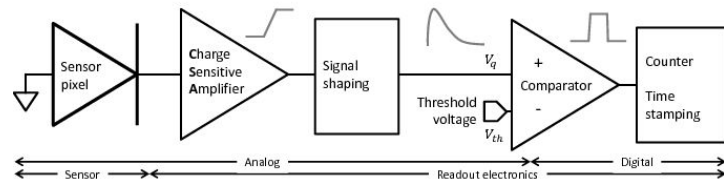
Download Code



[Cosmic Watch Detector](#)



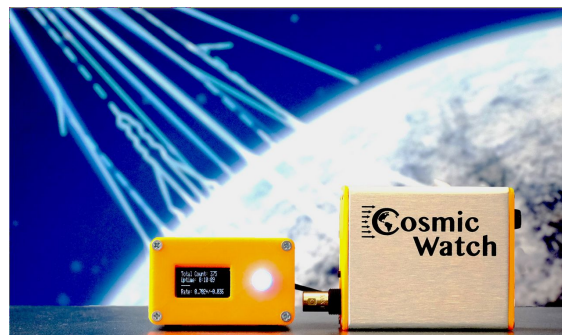
With a scintillator (plastic) and a silicon photomultiplier you can build your own muon detector!



Readout: arduino



scintillator

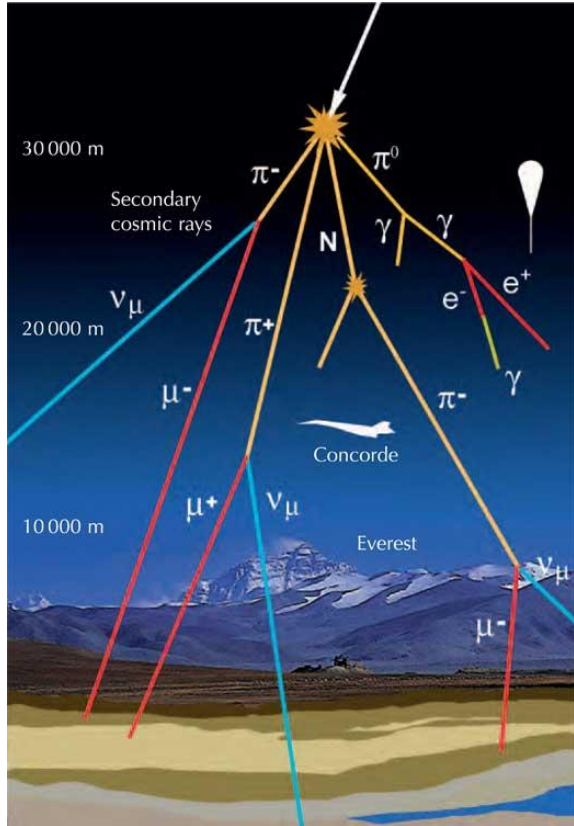


Figures from [here](#) and [here](#)

Wat voor deeltjes?

Vele verschillende deeltjes!

Waar is het proton?



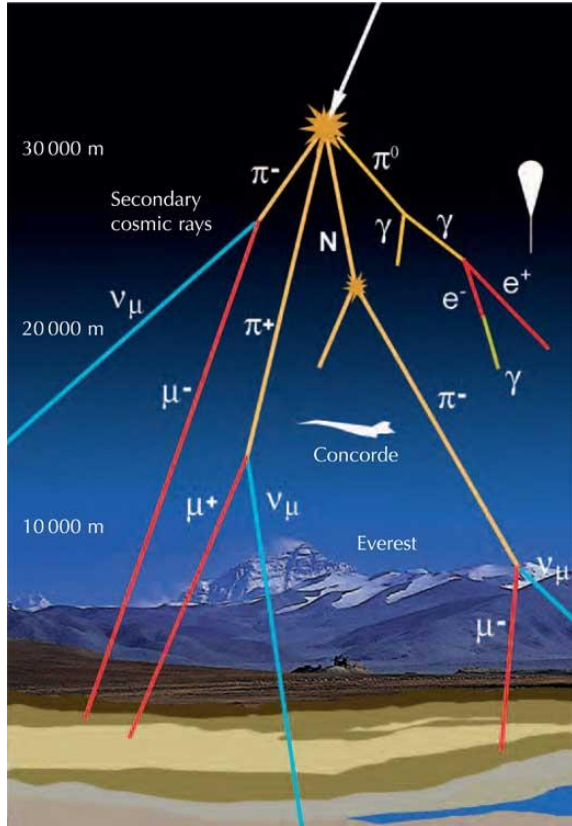
Standard Model of Elementary Particles

	three generations of matter (fermions)			interactions / force carriers (bosons)	
	I	II	III		
mass	$\approx 2.2 \text{ MeV}/c^2$	$\approx 1.28 \text{ GeV}/c^2$	$\approx 173.1 \text{ GeV}/c^2$	0	$\approx 124.97 \text{ GeV}/c^2$
charge	$\frac{2}{3}$	$\frac{2}{3}$	$\frac{2}{3}$	0	0
spin	$\frac{1}{2}$	$\frac{1}{2}$	$\frac{1}{2}$	1	0
	u up	c charm	t top	g gluon	H higgs
	d down	s strange	b bottom	γ photon	
	e electron	μ muon	τ tau	Z Z boson	
	$< 1.0 \text{ eV}/c^2$	$< 0.17 \text{ MeV}/c^2$	$< 18.2 \text{ MeV}/c^2$	$\approx 80.39 \text{ GeV}/c^2$	
	0	0	0	± 1	
	$\frac{1}{2}$	$\frac{1}{2}$	$\frac{1}{2}$	1	
	ν_e electron neutrino	ν_μ muon neutrino	ν_τ tau neutrino	W W boson	

Ieder deeltje gedraagt zich anders, afhankelijk van massa, lading. Op aarde zien we veel **muonen**.

Vele verschillende deeltjes!

Proton = $u+u+d$
3 quarks! Samengehouden door
gluonen.



Standard Model of Elementary Particles

	three generations of matter (fermions)			interactions / force carriers (bosons)	
	I	II	III		
mass	$\approx 2.2 \text{ MeV}/c^2$	$\approx 1.28 \text{ GeV}/c^2$	$\approx 173.1 \text{ GeV}/c^2$	0	$\approx 124.97 \text{ GeV}/c^2$
charge	$\frac{2}{3}$	$\frac{2}{3}$	$\frac{2}{3}$	0	0
spin	$\frac{1}{2}$	$\frac{1}{2}$	$\frac{1}{2}$	1	0
QUARKS	u up	c charm	t top	g gluon	H higgs
	$\approx 4.7 \text{ MeV}/c^2$	$\approx 96 \text{ MeV}/c^2$	$\approx 4.18 \text{ GeV}/c^2$	0	
	$-\frac{1}{3}$	$-\frac{1}{3}$	$-\frac{1}{3}$	0	
	$\frac{1}{2}$	$\frac{1}{2}$	$\frac{1}{2}$	1	
	d down	s strange	b bottom	gamma photon	
	$\approx 0.511 \text{ MeV}/c^2$	$\approx 105.66 \text{ MeV}/c^2$	$\approx 1.7768 \text{ GeV}/c^2$	$\approx 91.19 \text{ GeV}/c^2$	
	-1	-1	-1	0	
	$\frac{1}{2}$	$\frac{1}{2}$	$\frac{1}{2}$	1	
LEPTONS	e electron	mu muon	tau tau	Z Z boson	
	$< 1.0 \text{ eV}/c^2$	$< 0.17 \text{ MeV}/c^2$	$< 18.2 \text{ MeV}/c^2$	$\approx 80.39 \text{ GeV}/c^2$	
	0	0	0	± 1	
	$\frac{1}{2}$	$\frac{1}{2}$	$\frac{1}{2}$	1	
	nu_e electron neutrino	nu_mu muon neutrino	nu_tau tau neutrino	W W boson	

Waarom zijn zij zo moeilijk te zien?

Ieder deeltje gedraagt zich anders, afhankelijk van massa, lading. Op aarde zien we veel **muonen**.

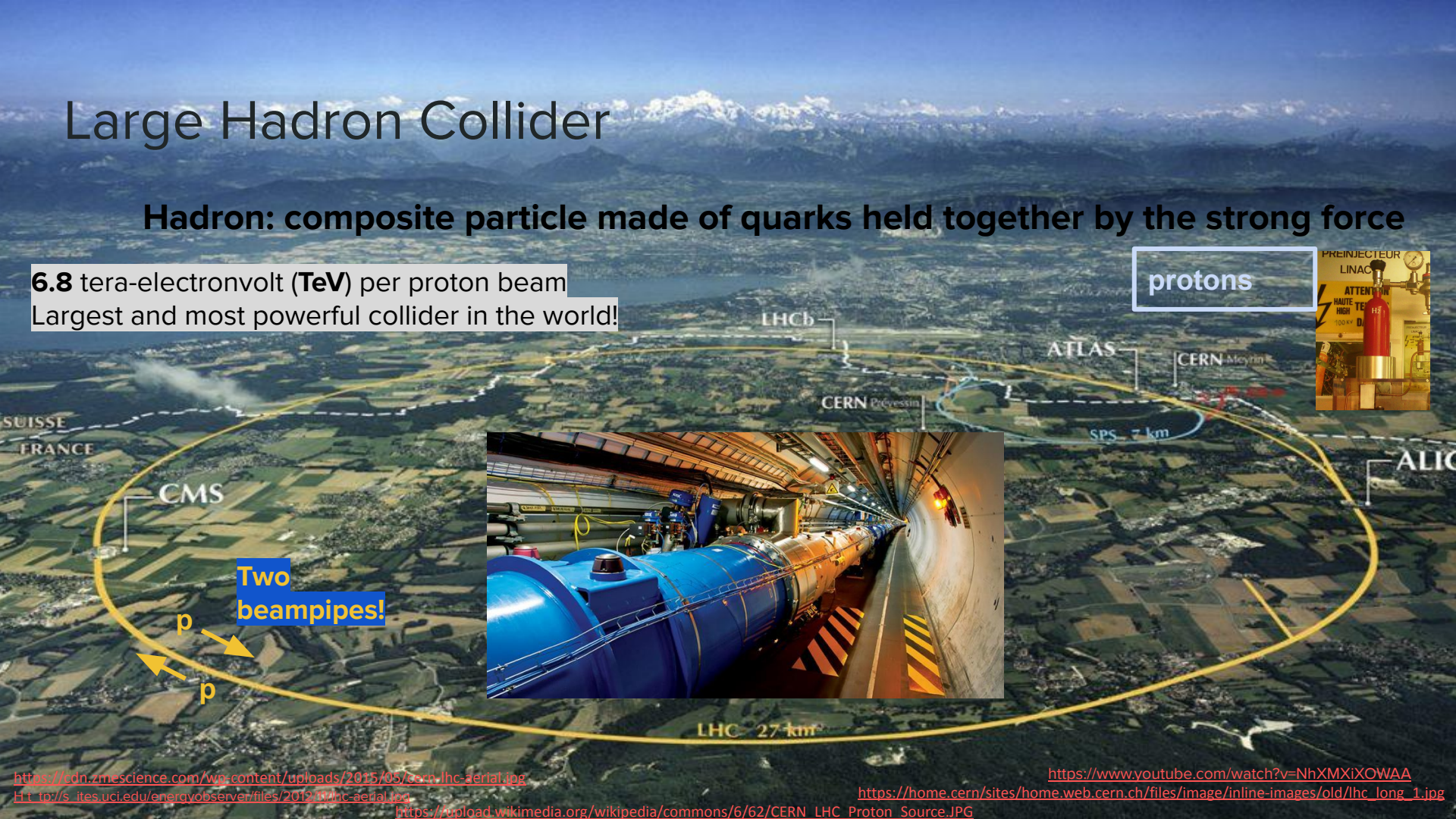
Hoe detecteer je zo'n deeltje op
CERN?

Large Hadron Collider

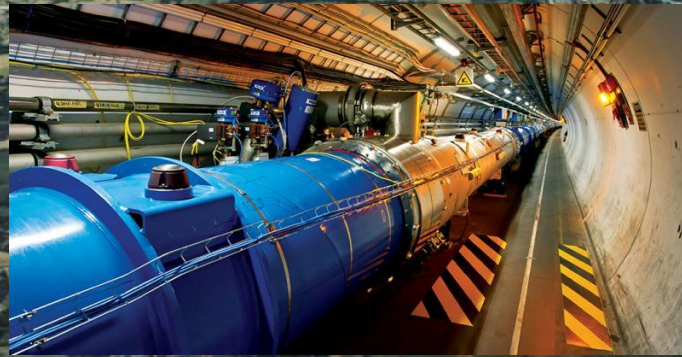
Hadron: composite particle made of quarks held together by the strong force

6.8 tera-electronvolt (**TeV**) per proton beam
Largest and most powerful collider in the world!

protons



Two beampipes!



Large Hadron Collider

6.8 tera-electron volt (TeV) per proton beam

2x2800 bunches of protons 25 ns apart

eV = energy to move an electron through 1 V: $1 \text{ eV} = 1.602 \times 10^{-19} \text{ J}$

MeV = 10^6 eV

GeV = 10^9 eV

TeV = 10^{12} eV

PeV = 10^{15} eV

protons

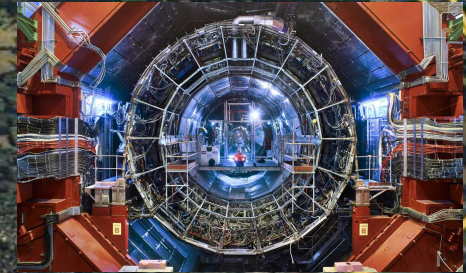
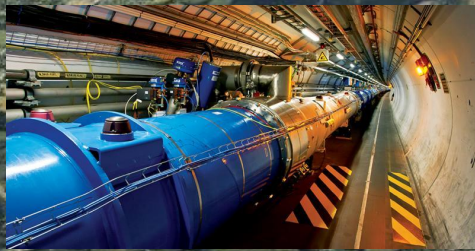
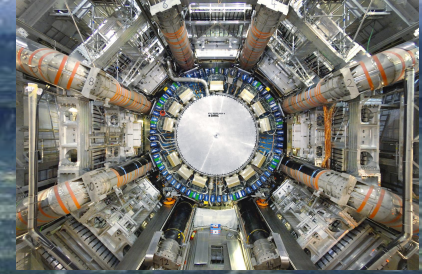
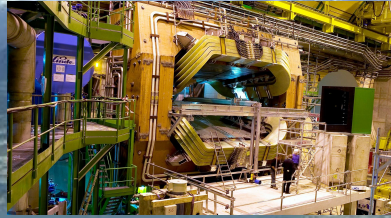
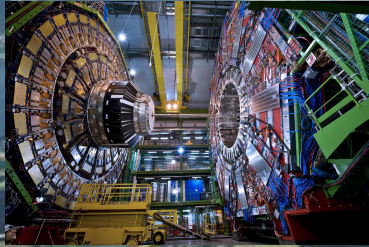
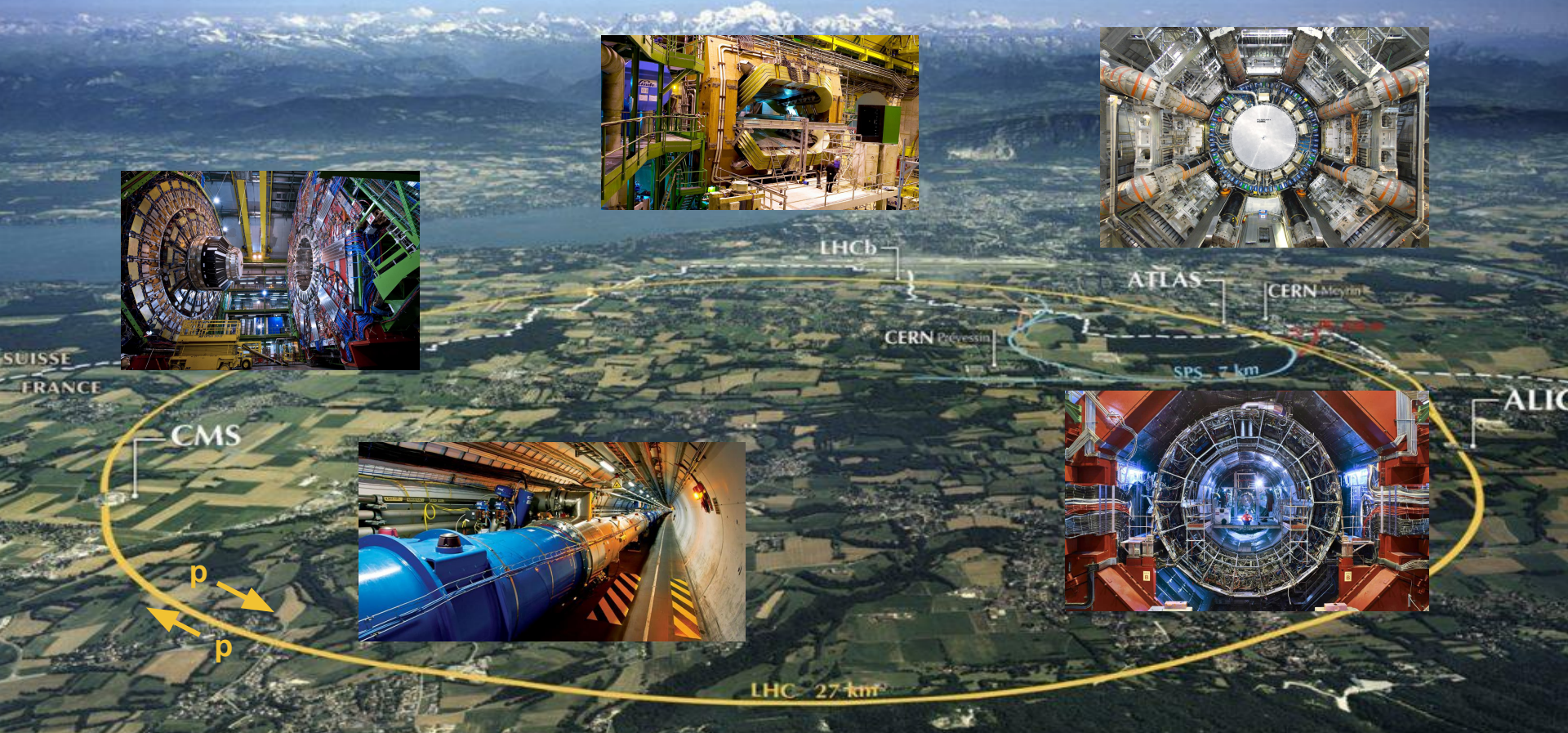


Two
beampipes!

p
p

LHC 27 km

Large Hadron Collider



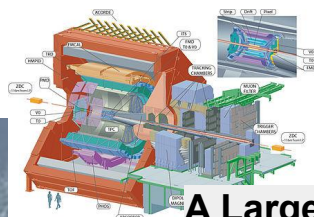
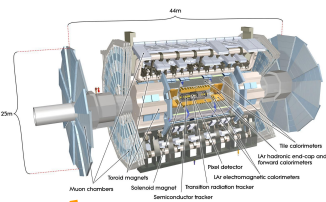
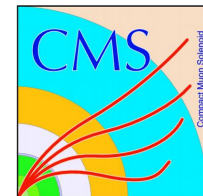
LHC magneten: Kouder dan het universum!

LHC

Naar 1.8 K zodat de magneten (in het blauwe omhulsel) supergeleidend worden

Het universum is warmer: 2.73 kelvin!

Detectors at the LHC

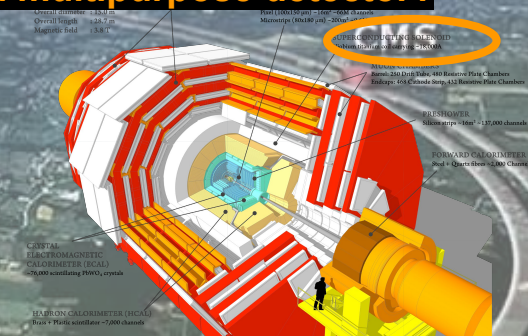


A Large Ion Collider Experiment: specialized in heavy ion collisions and quark-gluon plasma: fraction of second after big bang!

Compact Muon Solenoid

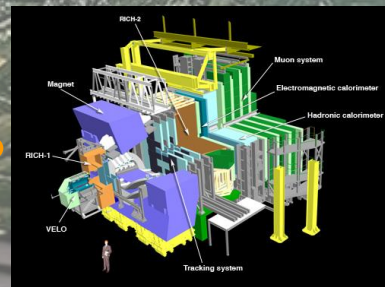
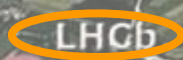
14000 tons: 1.5* Eiffel tower weight, half the size of ATLAS: 15 m x 15 m x 21 m very compact!
Largest superconducting solenoid magnet ever made

Why a second multipurpose detector?



A Toroidal LHC Apparatus:

25 m x 25 m x 46m
The inner detector has 3 air core toroidal magnets and one solenoidal magnet.
Multipurpose detector.



LHC beauty:

A single-arm forward spectrometer designed for the study of particles containing b or c quarks.

Other detectors: MoEDAL, TOTEM, LHCforward, Faser, SND

Wat detecteren we?

Niet alle bekende elementaire deeltjes!

Directly detect:

Vervalsproducten

jets

Indirectly detect:

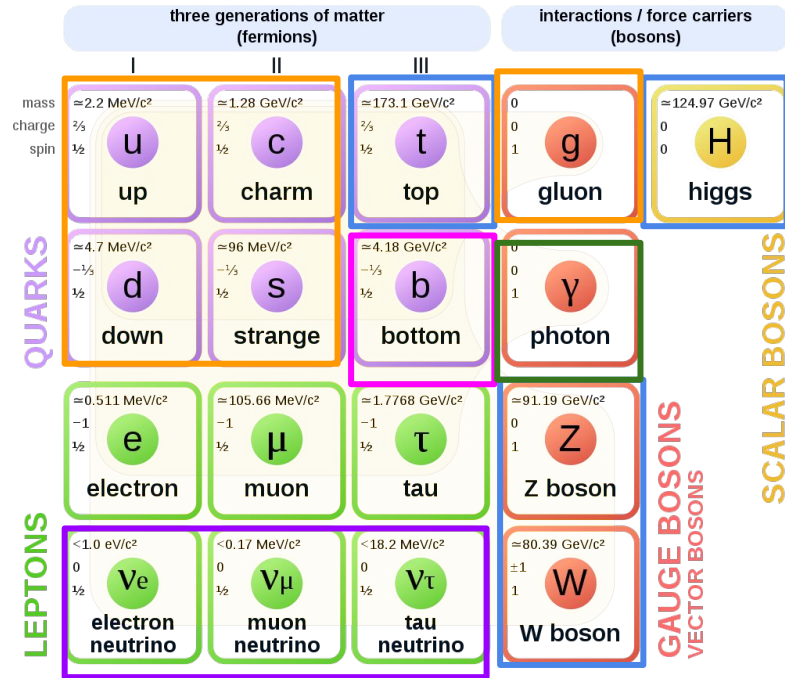
Missing energy

Secondary vertex + jets

Neutral particles

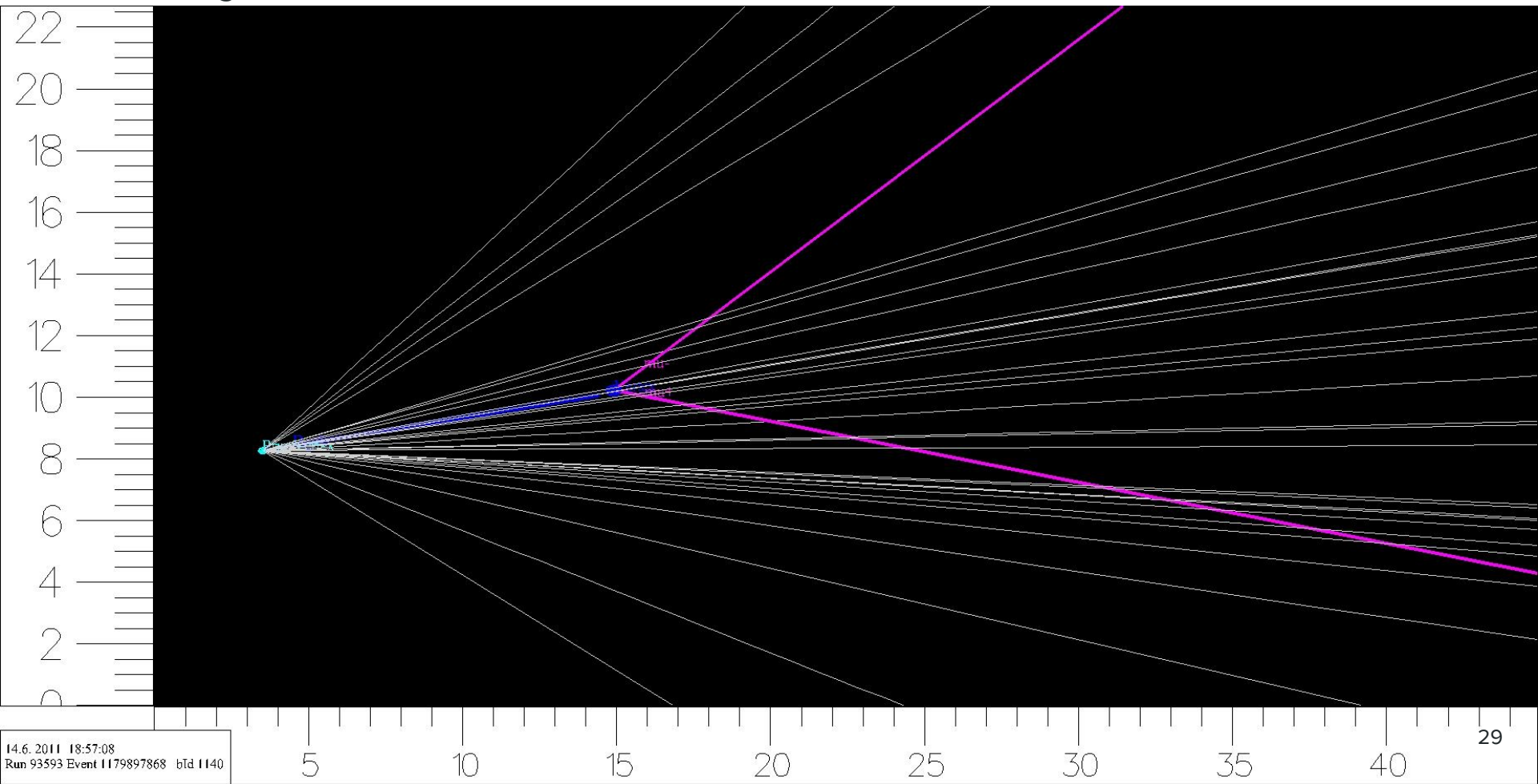
Should be able to detect and identify:
 $e^\pm, \mu^\pm, \gamma, \pi^\pm, K^\pm, p^\pm, K^0, n$
 using mass, charge, interaction

Standard Model of Elementary Particles



LHCb $B_s \rightarrow \mu^+ \mu^-$

<http://lhcb-public.web.cern.ch/lhcb-public/>



What do we measure and how?

Observable	Measurable quantity
Momentum (p)	Bending radius in magnetic field
Speed (v)	Time of flight, Cherenkov radiation
Charge (Q)	Bending in magnetic field
Lifetime (τ)	Distance traveled before decay
Energy (E)	Absorption in calorimeters
Mass (m)	Indirectly from momentum
Spin	<u>Angular distributions</u>

- $d = c\tau\gamma$
- $\gamma = 1/\sqrt{1-\beta^2}$
- $\beta = v/c$
- $E^2 = m^2c^4 + p^2c^2$
- $p = \gamma mv = mv/\sqrt{1-v^2/c^2}$

For some examples of measuring spin see

<https://arxiv.org/pdf/1202.6660.pdf> and
<http://moriond.in2p3.fr/QCD/2013/proceedings/Muehleleitner.pdf>

Need 1) a magnetic field and 2) interaction with material

Hoe detecteren we?



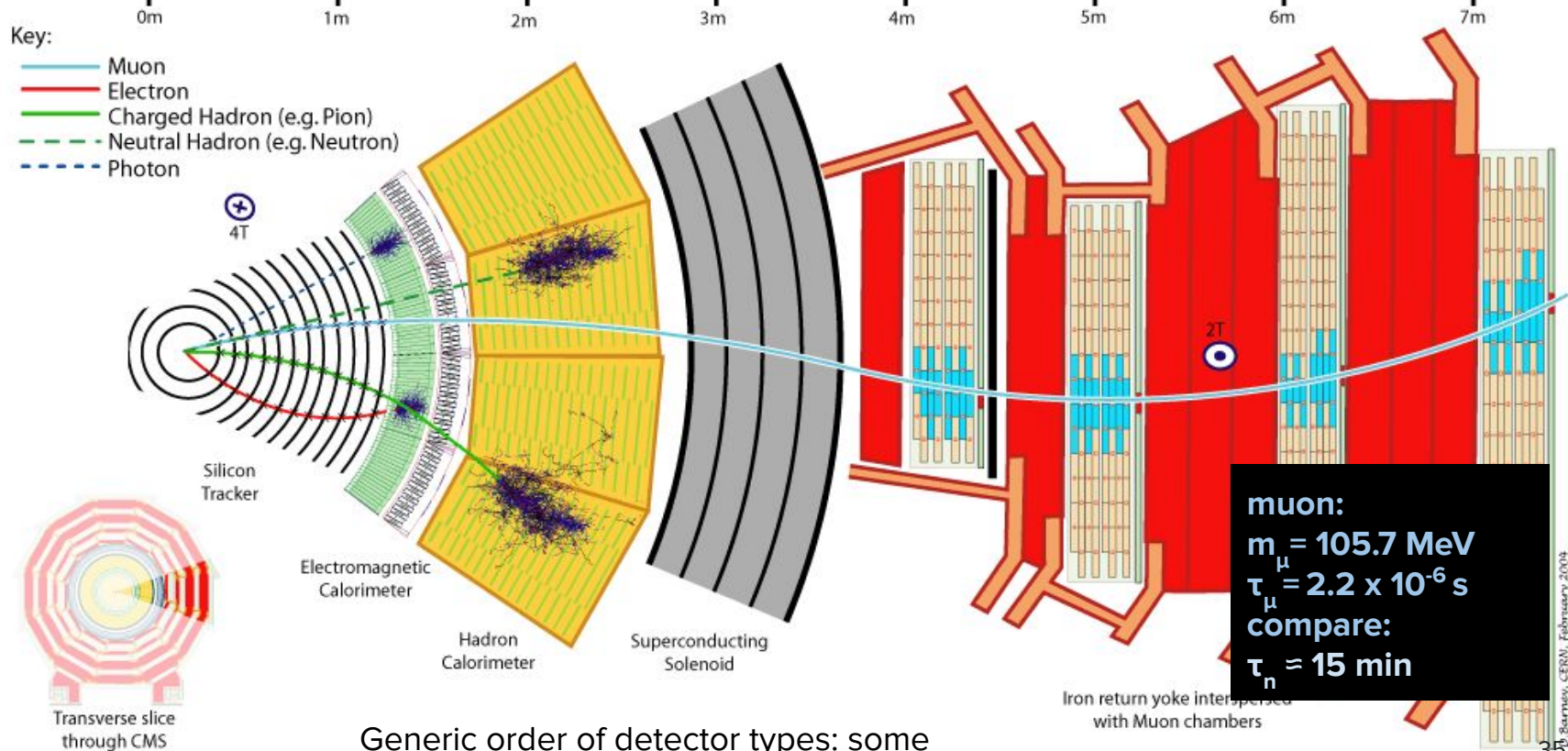
Compact Muon Solenoid

100 meter onder de grond is een holte voor experimentatie, van de grootte van een kathedraal, die 1 van de twee experimenten herbergt die het Higgs boson heeft gevonden: CMS, een detector van 14000 ton !



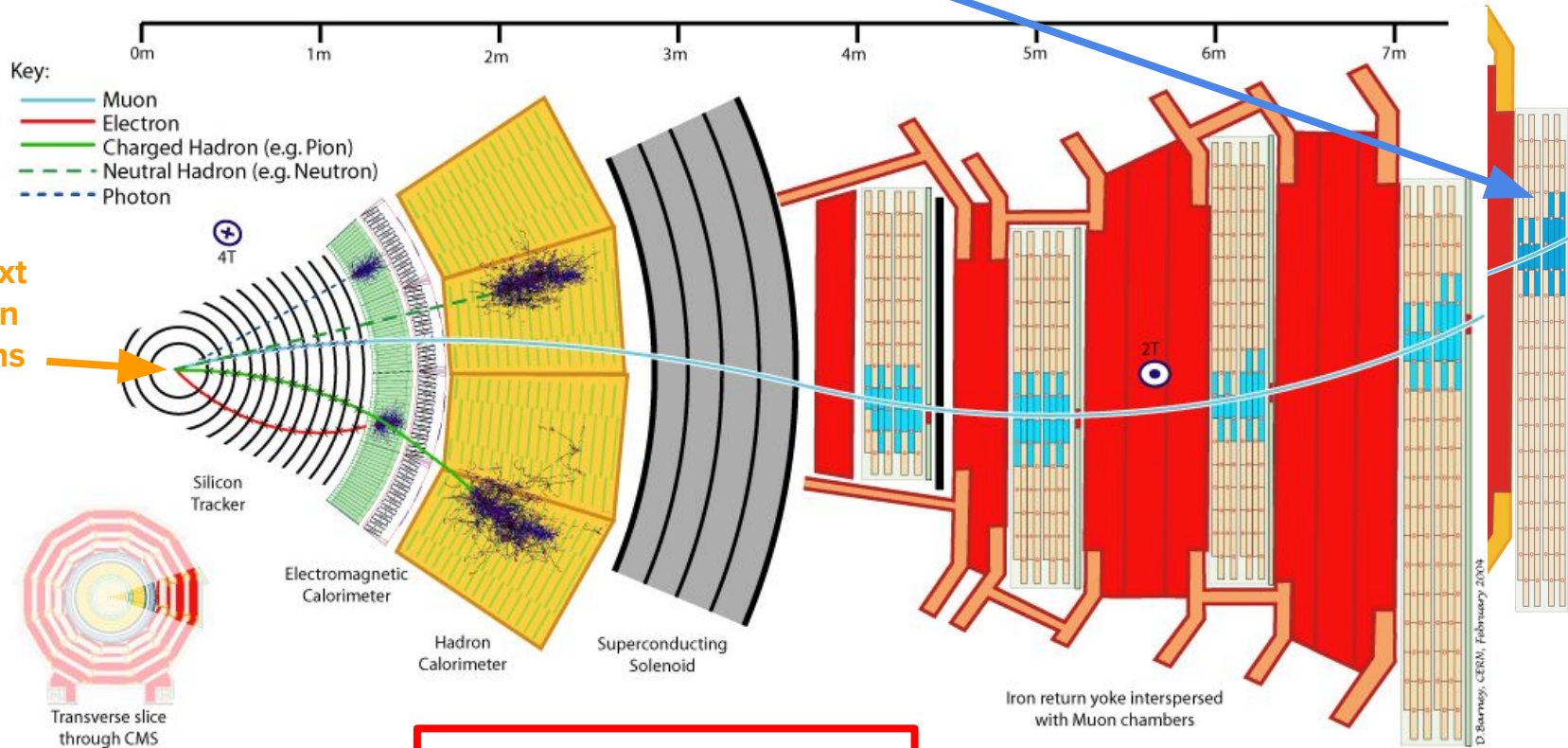


Detectors at the large hadron collider: onion-like



Generic order of detector types: some measurements destructive!

Note when the muon arrives here



The next collision happens here:

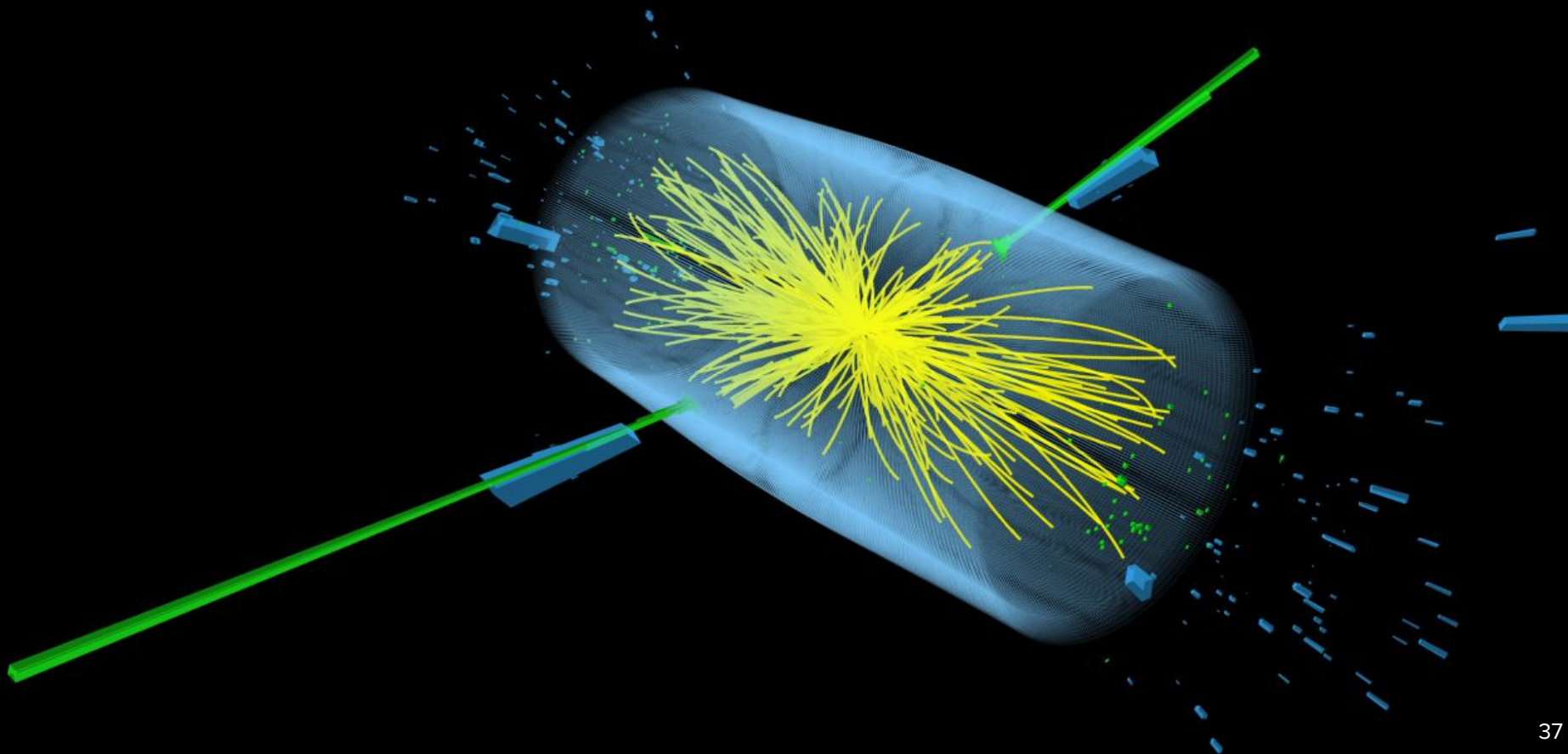
$$25 \text{ ns} \cdot c \approx 7.5 \text{ m}$$



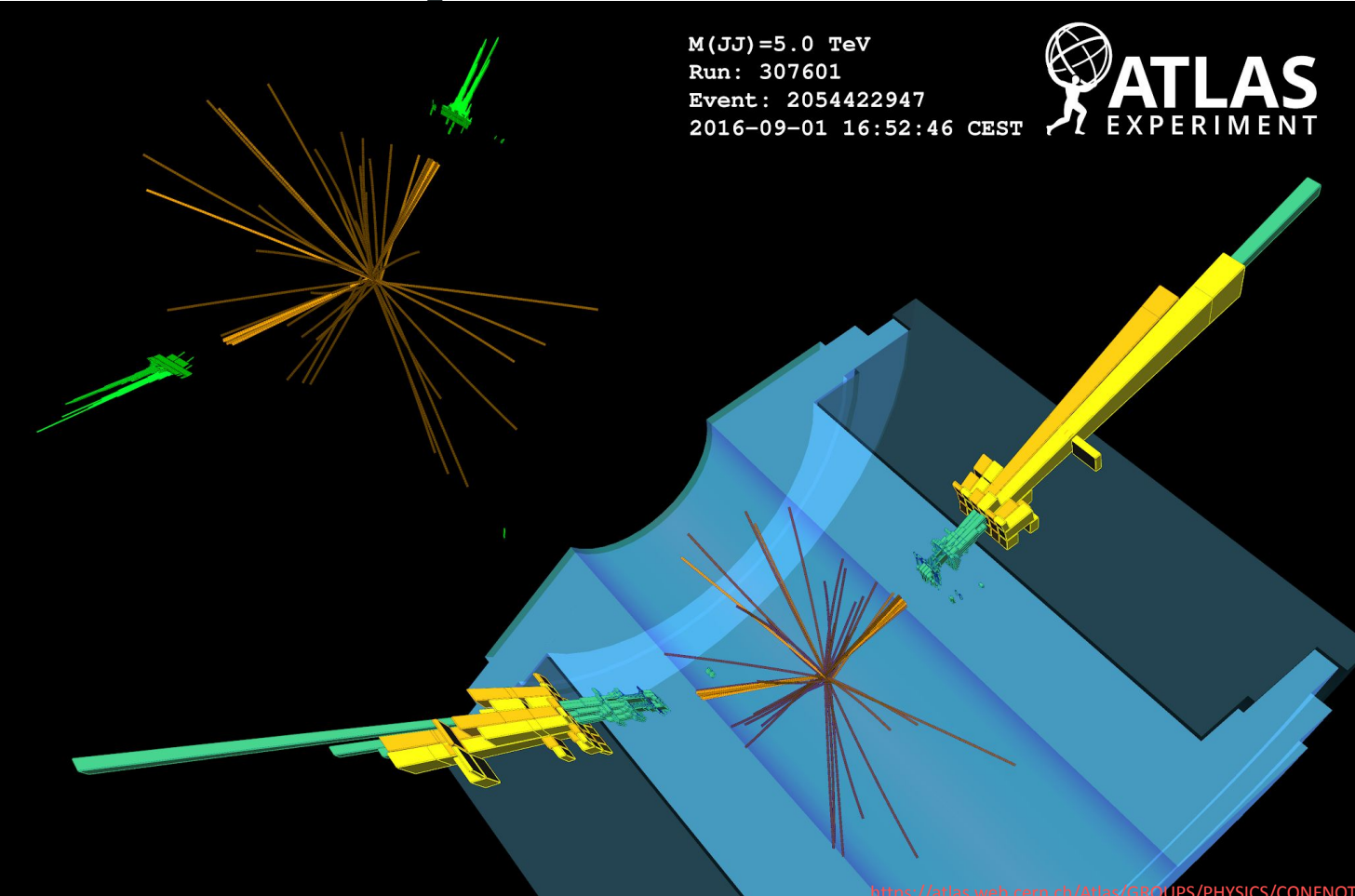
CMS Experiment at the LHC, CERN

Data recorded: 2016-May-11 21:40:47.974592 GMT

Run / Event / LS: 273158 / 238962455 / 150



Diboson event: jets in the ATLAS detector



Zware ionen

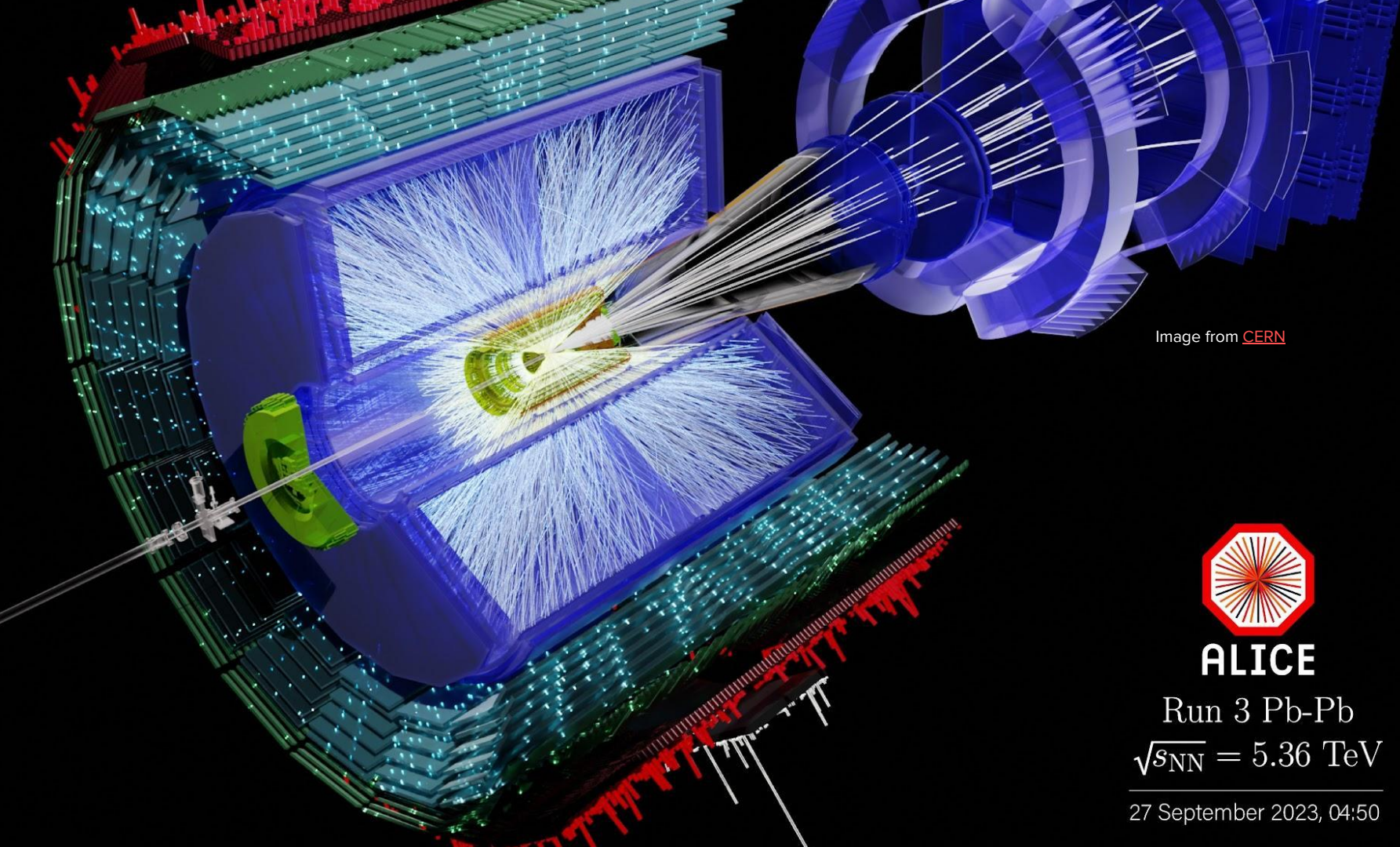


Image from [CERN](#)



ALICE

Run 3 Pb-Pb

$\sqrt{s_{NN}} = 5.36 \text{ TeV}$

27 September 2023, 04:50

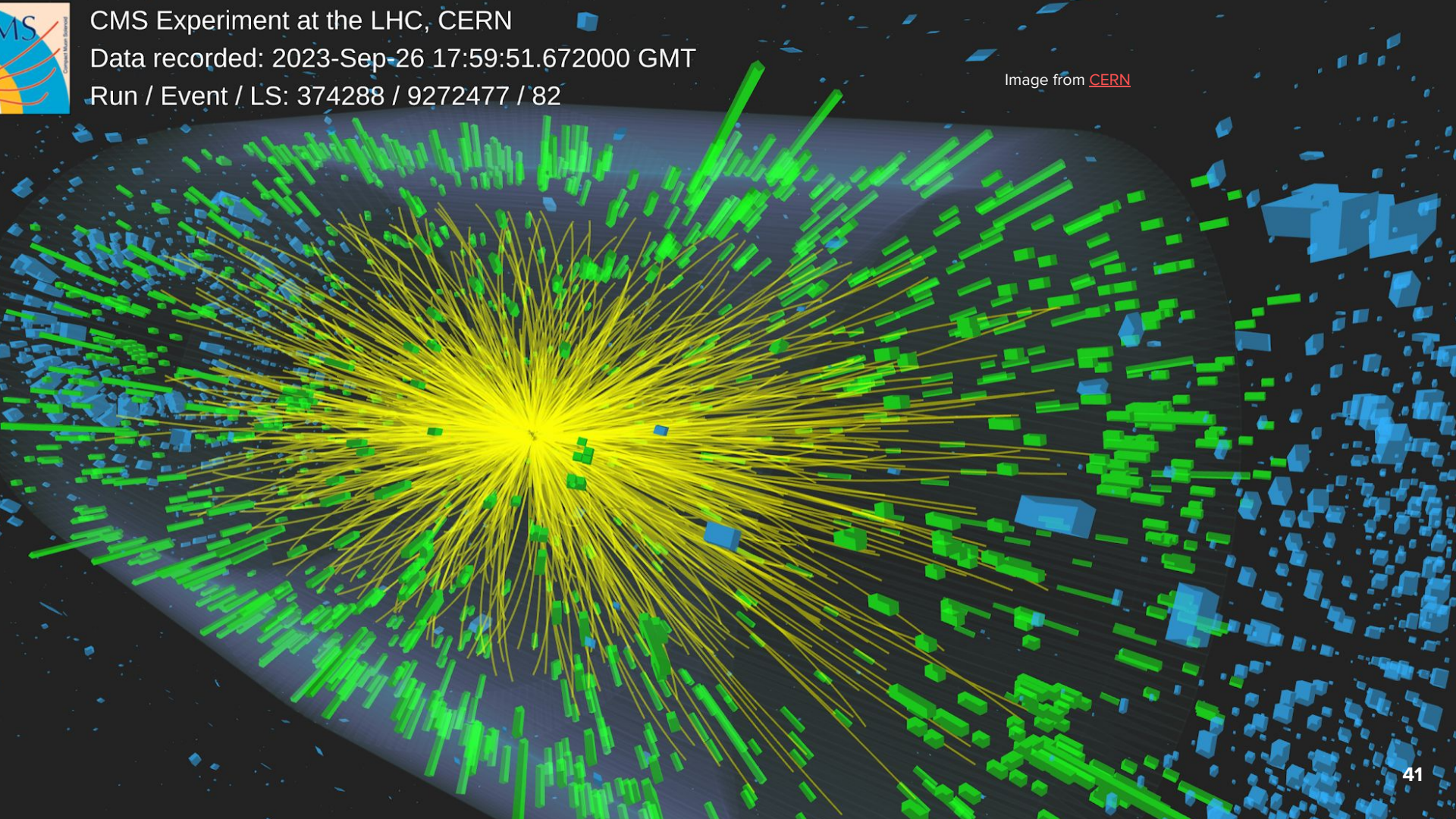


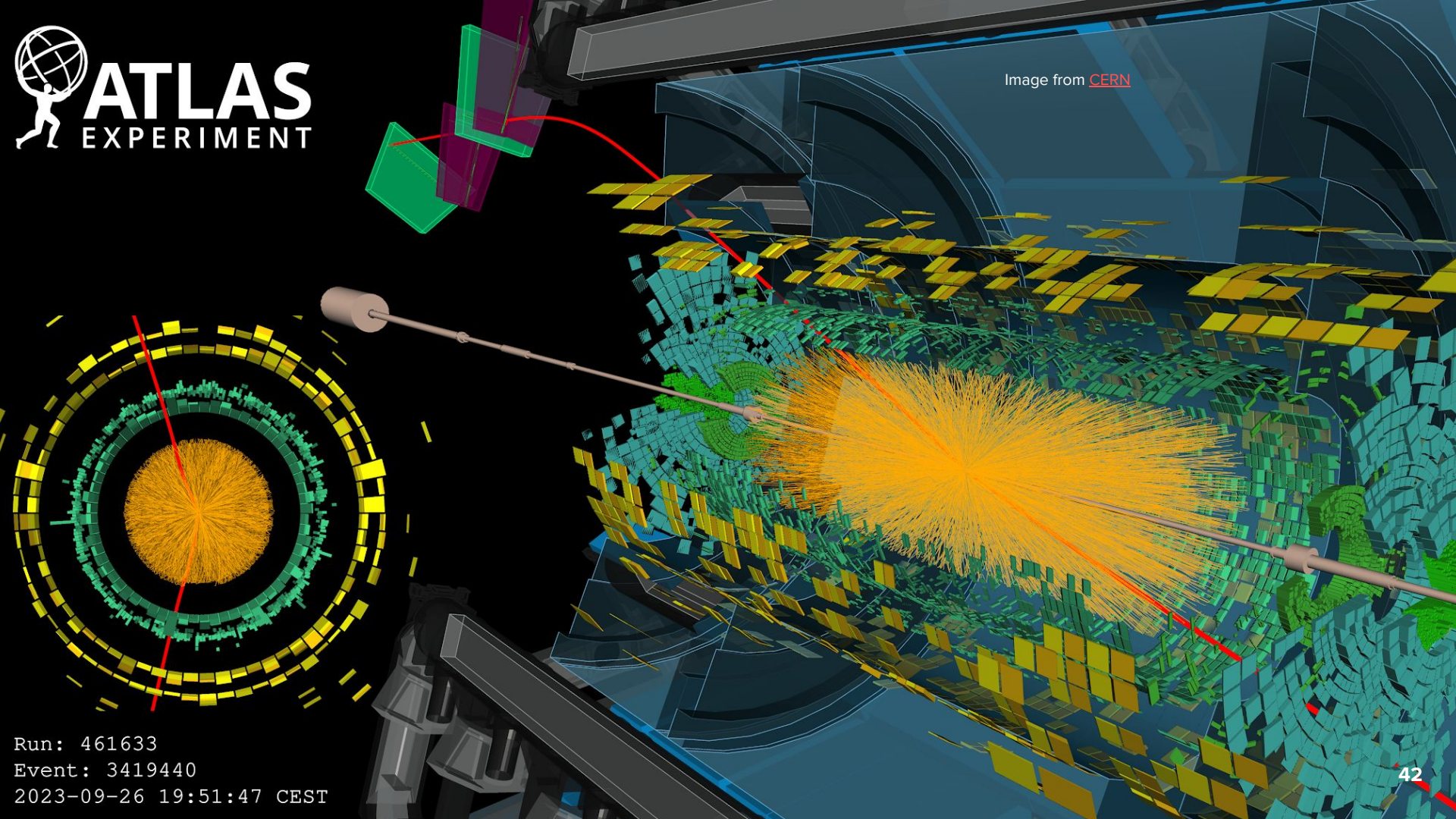
CMS Experiment at the LHC, CERN

Data recorded: 2023-Sep-26 17:59:51.672000 GMT

Run / Event / LS: 374288 / 9272477 / 82

Image from [CERN](#)



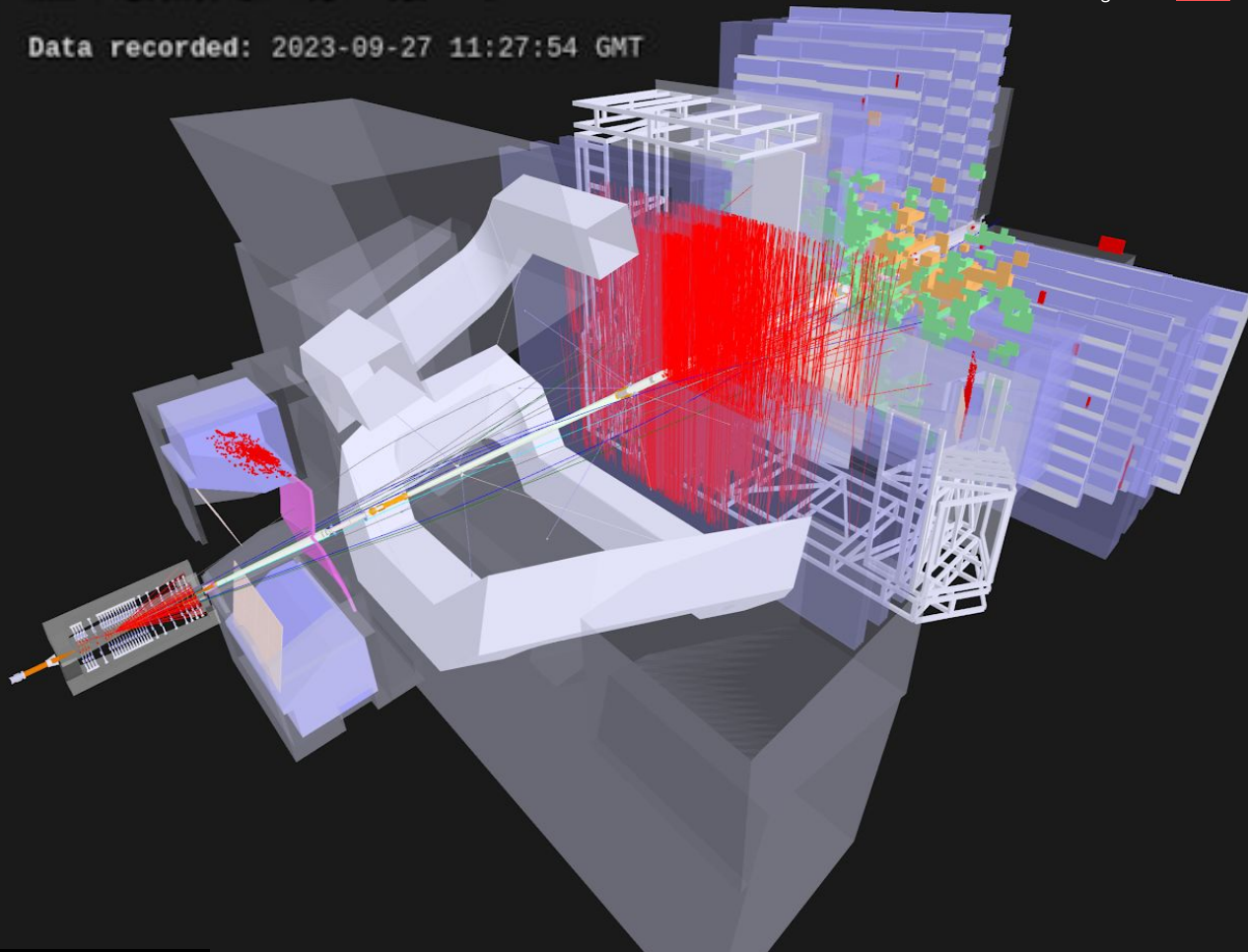


LHCb Experiment at CERN

Run / Event: 277491 / 5197775

Data recorded: 2023-09-27 11:27:54 GMT

Image from [CERN](#)



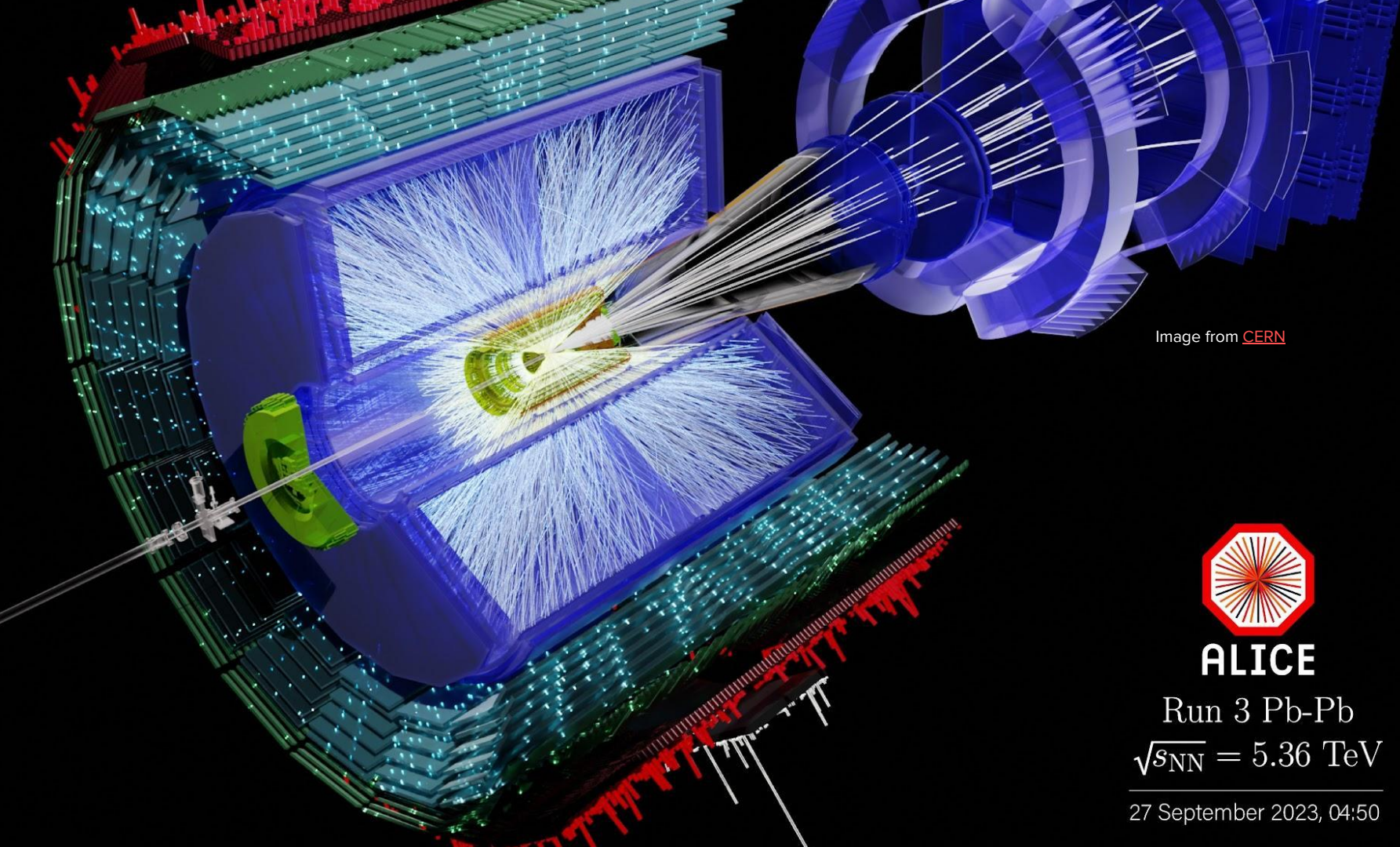


Image from [CERN](#)



ALICE

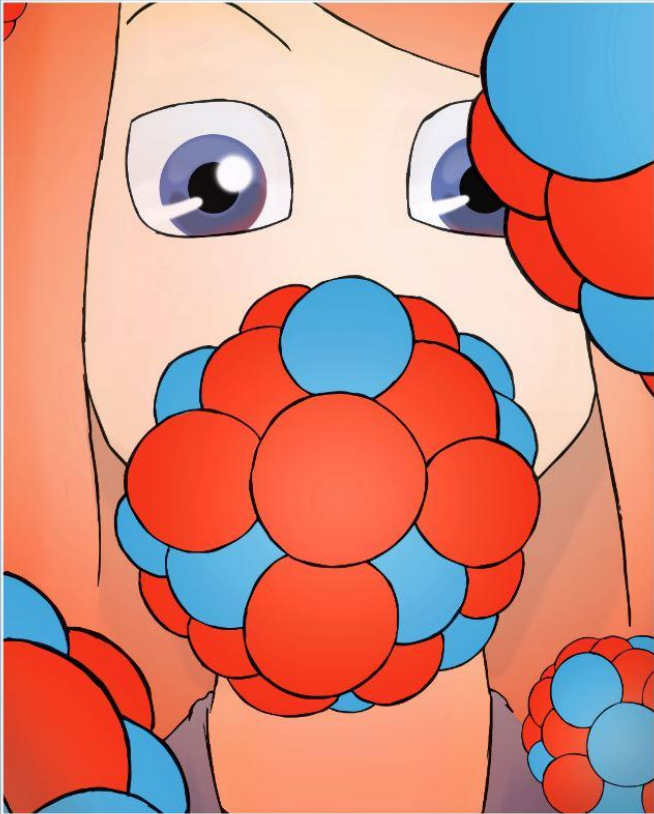
Run 3 Pb-Pb

$\sqrt{s_{NN}} = 5.36 \text{ TeV}$

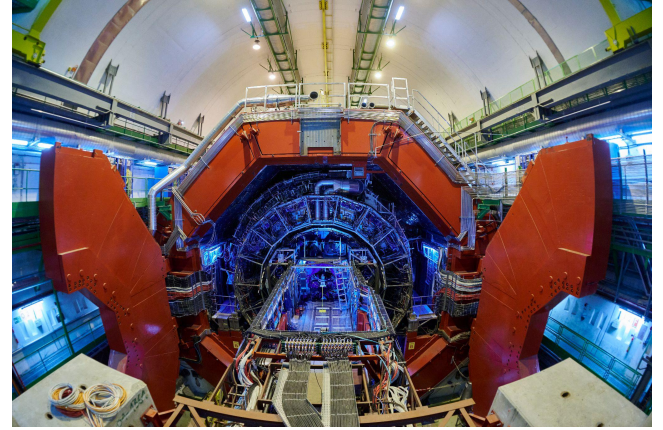
27 September 2023, 04:50

Who is ALICE?

A L I C E



The ALICE detector: heavy ions



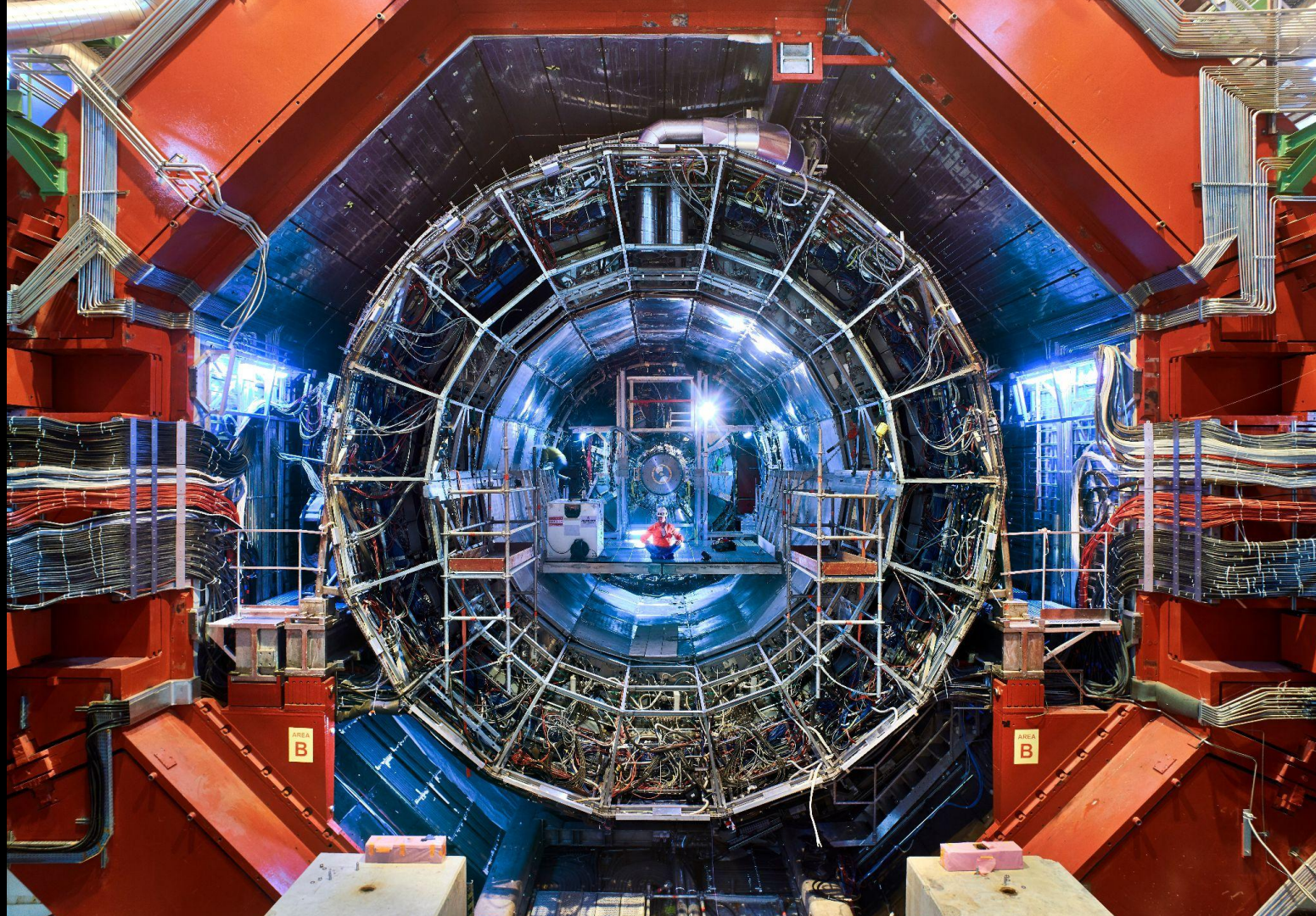
From

<https://alice.cern/brochures>

<https://cds.cern.ch/record/2809617>

From

<https://cds.cern.ch/record/2665476>



A familiar diagram

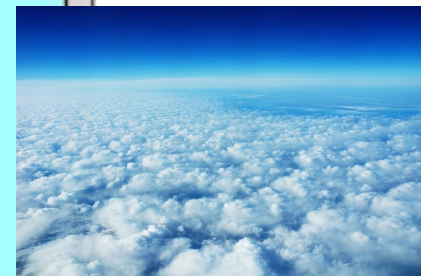
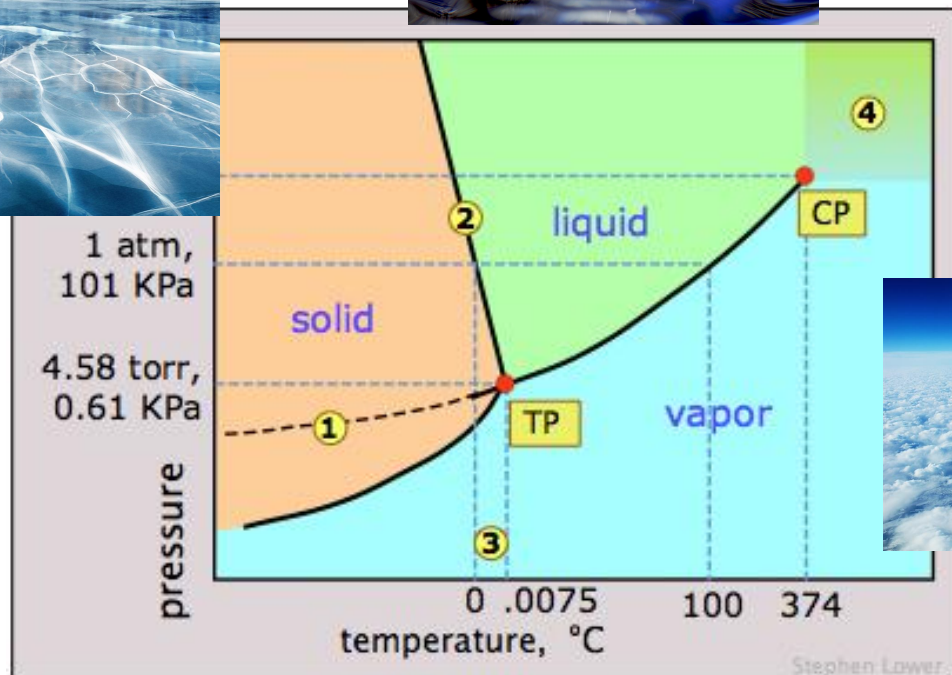


From <https://www.pinterest.com/loveofnature/boards/ice-landscapes/>

From <https://en.wikipedia.org/wiki/Water>

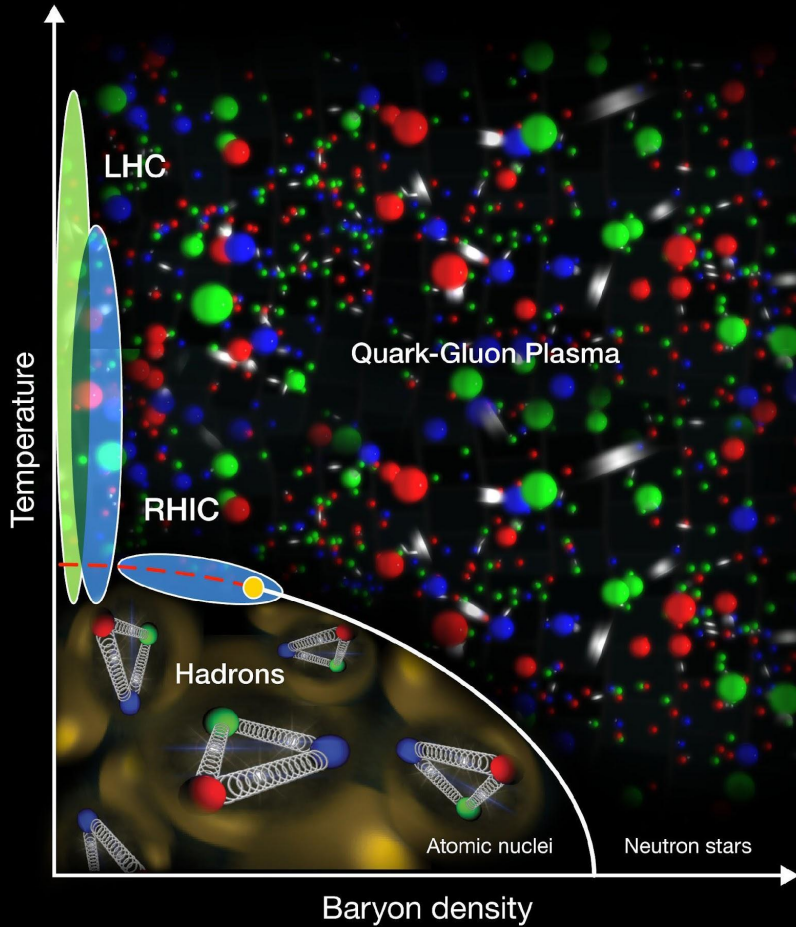


Matter comes in many different phases

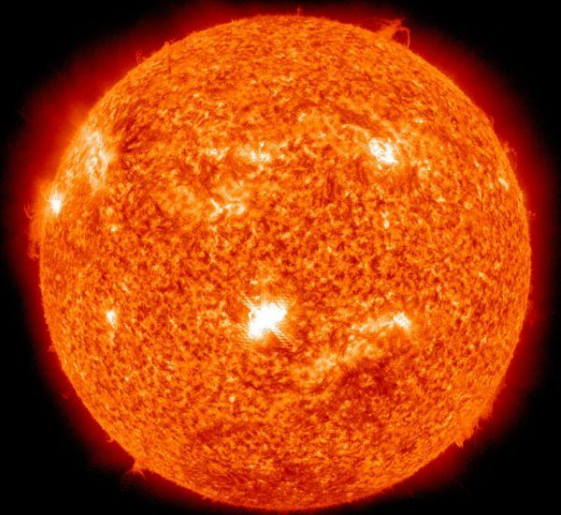


From <https://research.vias.org/jrc/doi/10.1016/j.jr.2019.07.001>

Quantum chromodynamics Phase diagram



Quark gluon plasma: more than 500,000 times hotter than the core of the sun!



A glimpse into the start of the universe

History of the Universe

Image: [Particle Data Group](#)

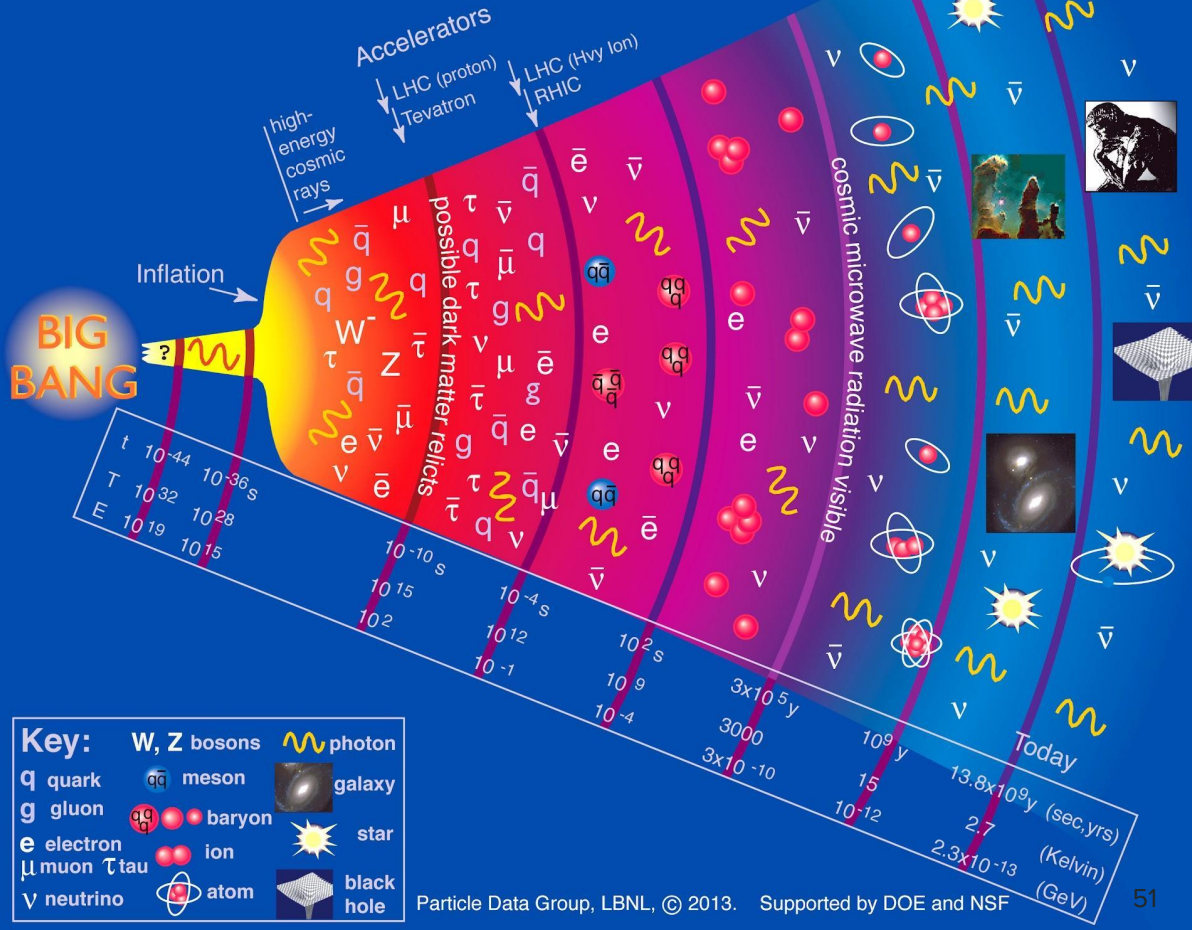
Timeline

- $5.4 \cdot 10^{-44}$ s and $T > 10^{19}$ GeV Planck time
- 10^{-43} s and $T \sim 10^{19}$ GeV Grand Unification of the forces

Standard Model of Elementary Particles

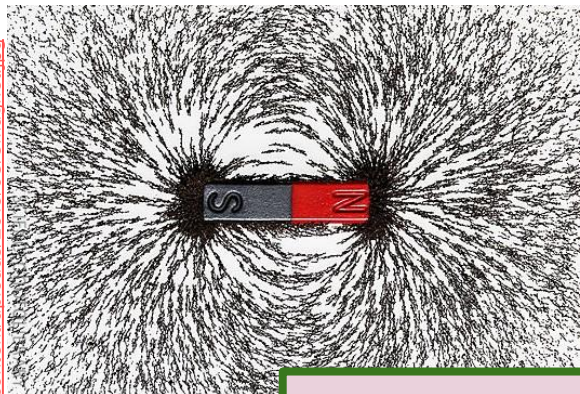
	three generations of matter (fermions)			interactions / force carriers (bosons)	
	I	II	III		
mass span	=2.2 MeV/c ² 1/3	=1.28 GeV/c ² 1/3	=173.1 GeV/c ² 1/3	0 1	=124.97 GeV/c ² 0
QUARKS	u up	c charm	t top	g gluon	H higgs
	=4.7 MeV/c ² 1/3	=96 MeV/c ² 1/3	=4.18 GeV/c ² 1/3	0 1	
	d down	s strange	b bottom	γ photon	
LEPTONS	=0.511 MeV/c ² -1	=105.66 MeV/c ² -1	=1.7768 GeV/c ² -1	0 1	
	e electron	μ muon	τ tau	Z Z boson	
	<1.0 eV/c ² 0	=0.17 MeV/c ² 0	=18.2 MeV/c ² 0	0 1	
	ν_e electron neutrino	ν_μ muon neutrino	ν_τ tau neutrino	W W boson	
					SCALAR BOSONS
					GAUGE BOSONS VECTOR BOSONS

What are the four known forces in nature?

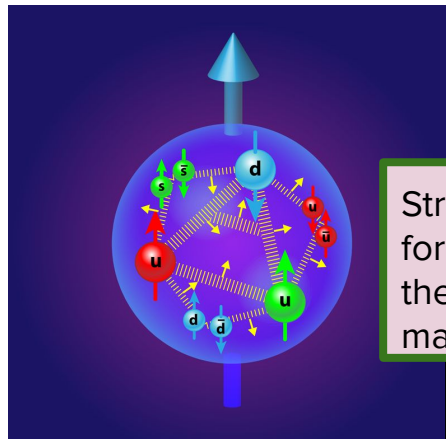


https://upload.wikimedia.org/wikipedia/commons/thumb/3/33/Lightning_0257.jpg/1200px-Lightning_0257.jpg
http://blog.science4you.es/wp-content/uploads/2016/08/5magnet.jpg

Interactions: four known forces

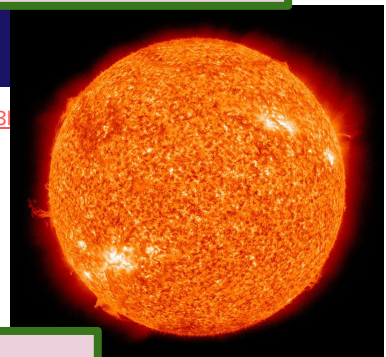
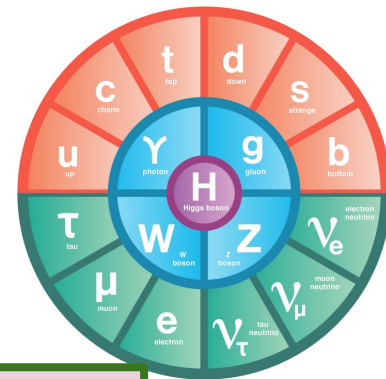


electromagnetism



https://physics.aps.org/assets/89b4f0e0-b8b70d-d90f744d1790/e23_2.png

Strong nuclear force: how does the proton get its mass?

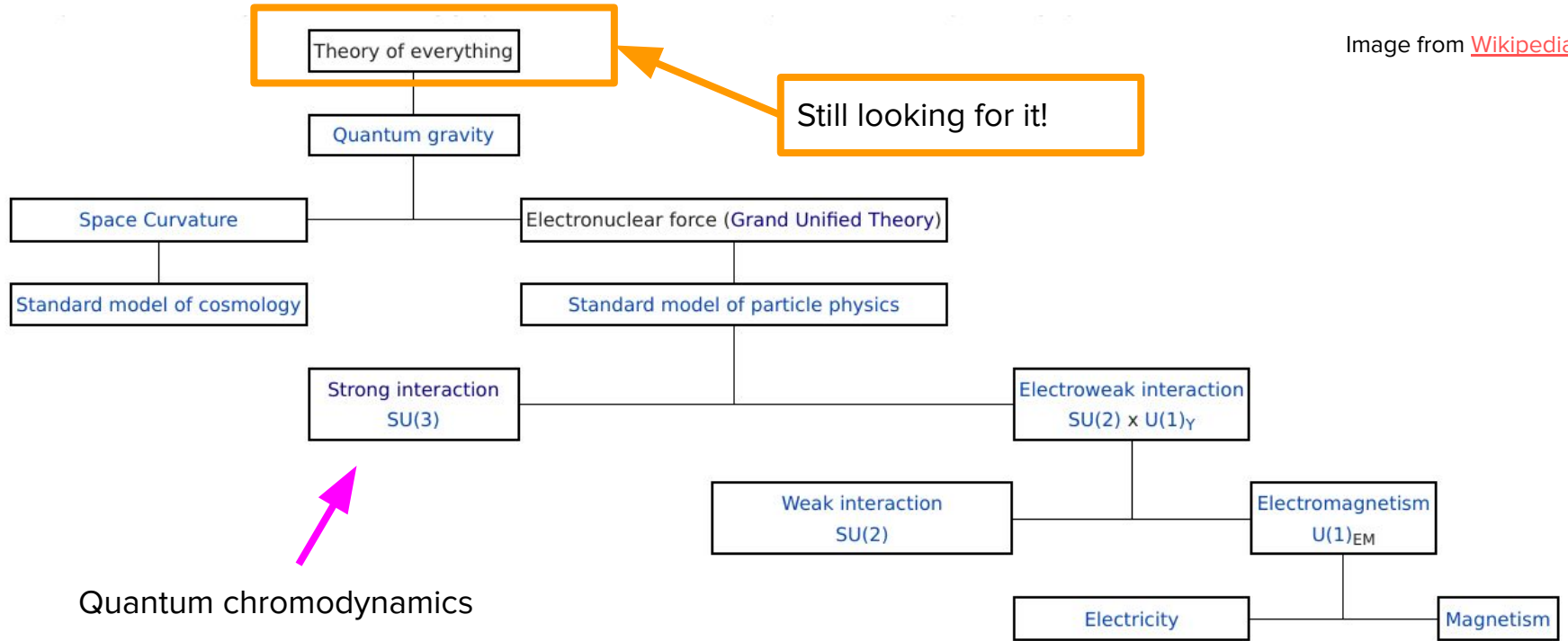


Weak nuclear force

What are we made of?
How do particles get mass?
Gravity is not described by the Standard Model!

https://upload.wikimedia.org/wikipedia/commons/thumb/b/b4/The_Sun_by_the_Atmospheric_Imaging_Assembly_of_NASA%27s_Solar_Dynamics_Observatory_-_20100819.jpg/800px-The_Sun_by_the_Atmospheric_Imaging_Assembly_of_NASA%27s_Solar_Dynamics_Observatory_-_20100819.jpg

Hypothetical unification into a theory of everything



History of the Universe

Image: [Particle Data Group](#)

Timeline

- $5.4 \cdot 10^{-44}$ s and $T > 10^{19}$ GeV Planck time
- 10^{-43} s and $T \sim 10^{19}$ GeV Grand Unification
- 10^{-36} s and $T \sim 10^{15}$ GeV Inflation
- 10^{-11} s and $T \sim 200$ MeV Quark Gluon Plasma

QGP: a state where quarks and gluons are free: main ALICE goal.

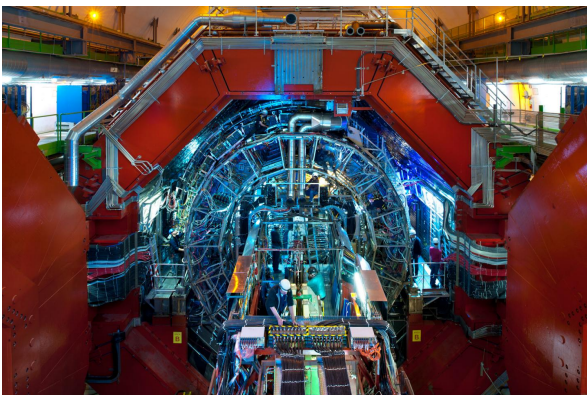


Image: [Wikipedia](#)

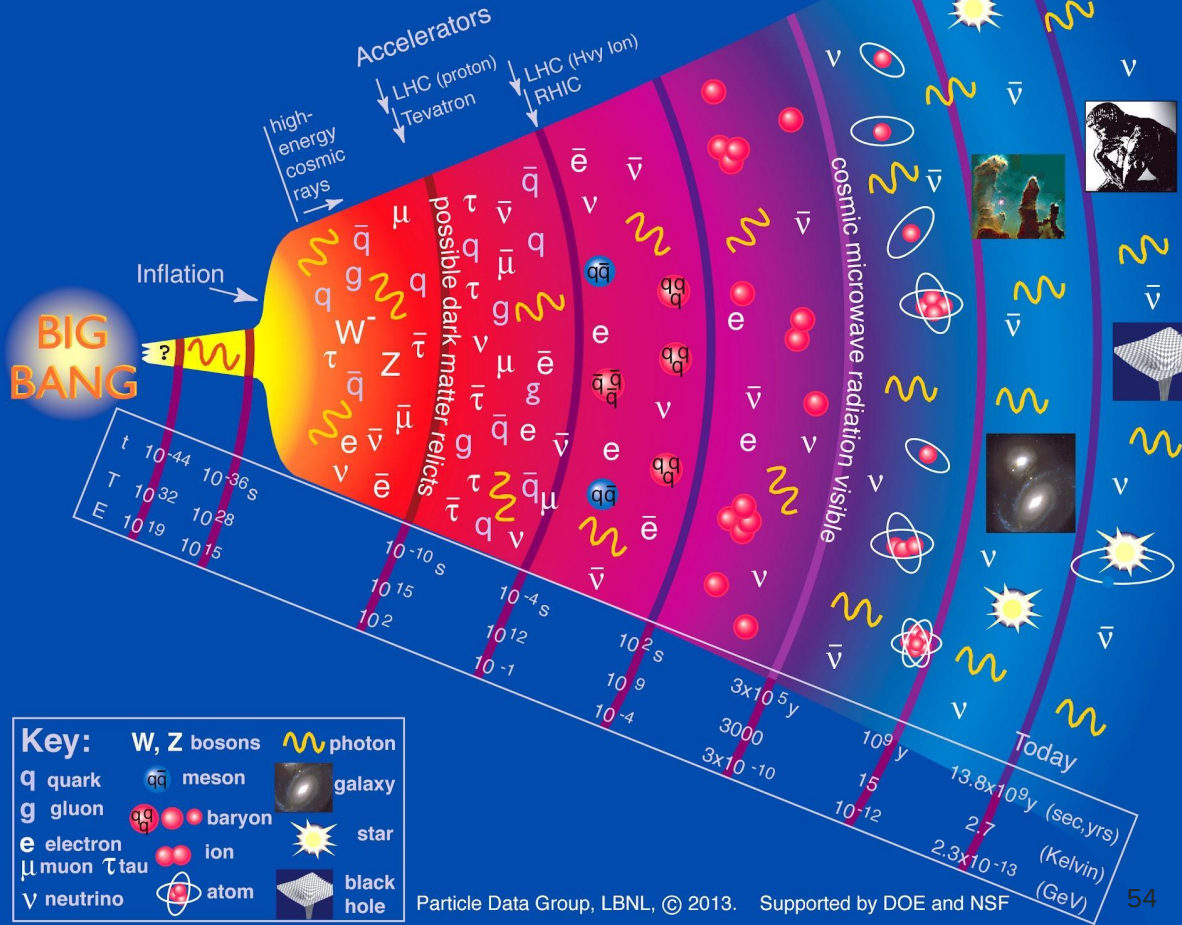
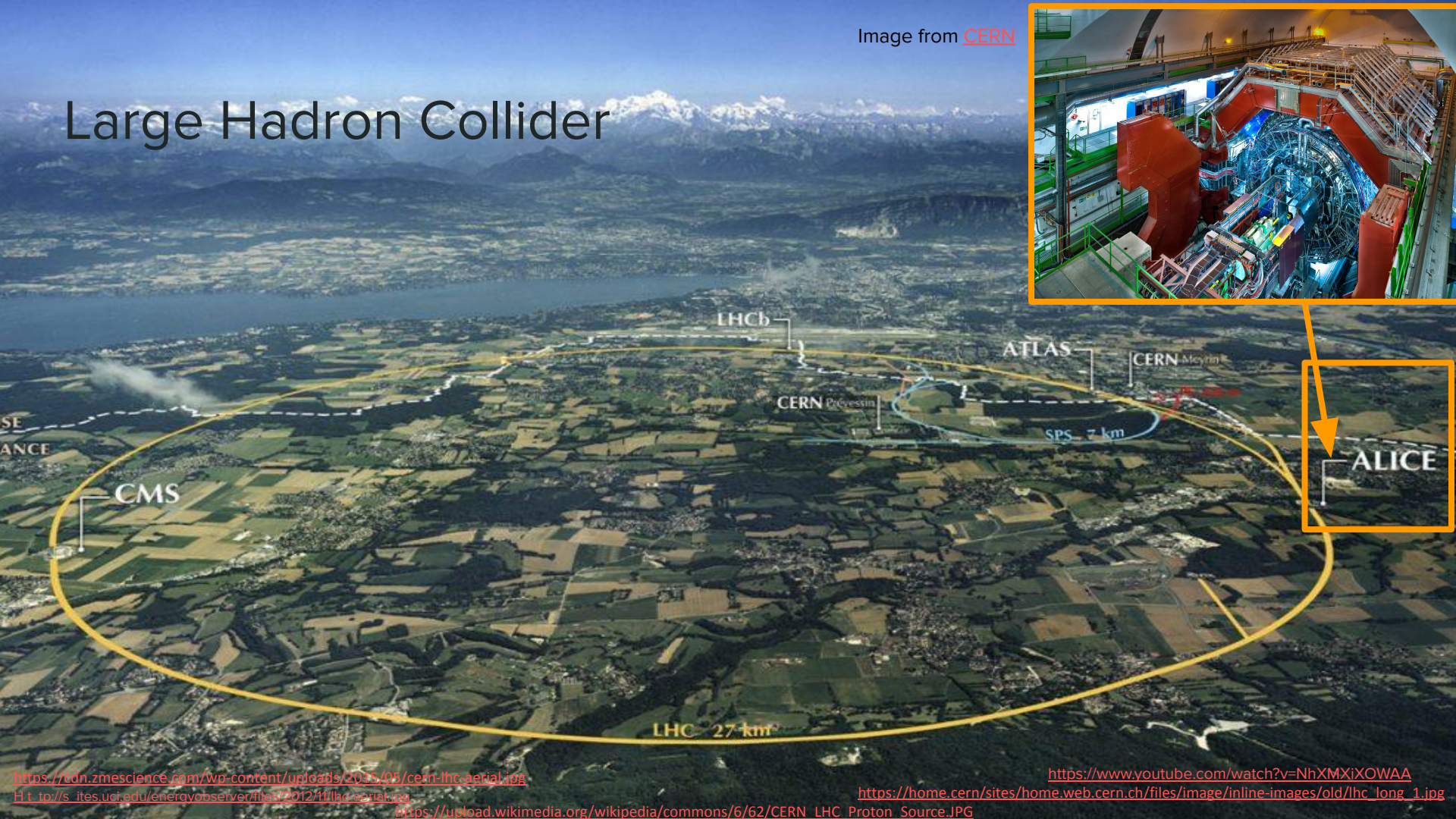
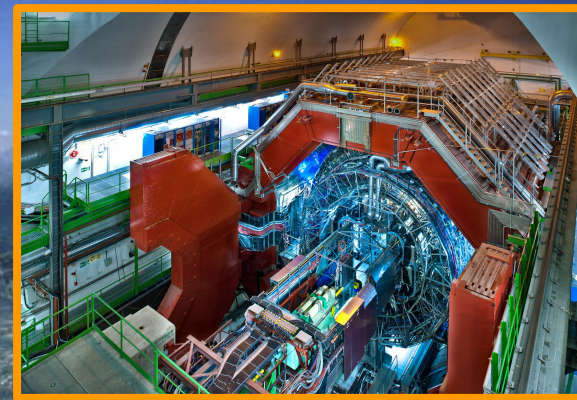


Image from [CERN](#)

Large Hadron Collider

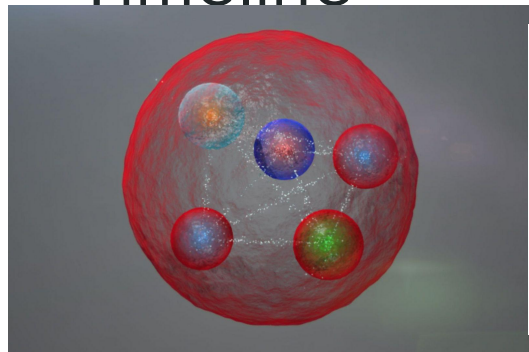


History of the Universe

Image: [Particle Data Group](#)

Timeline

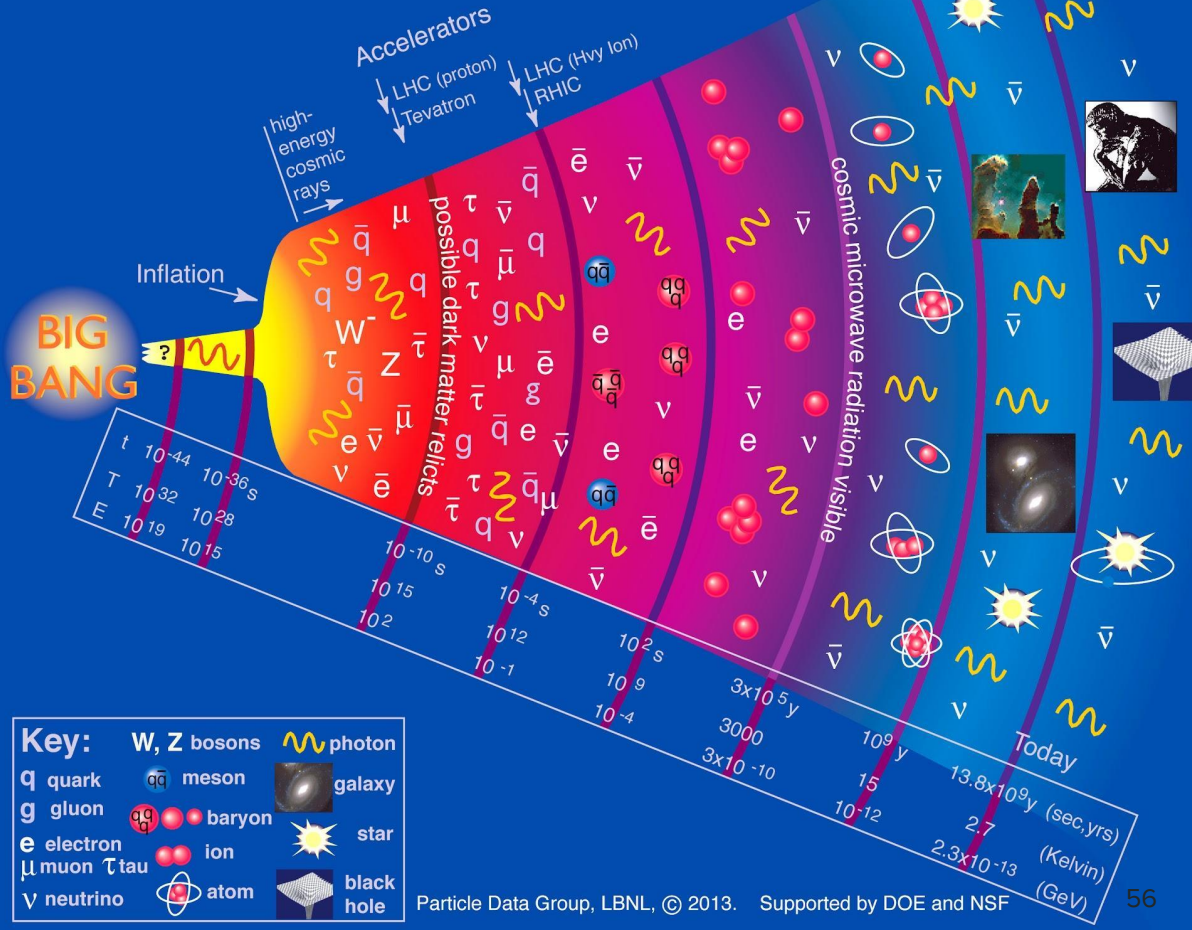
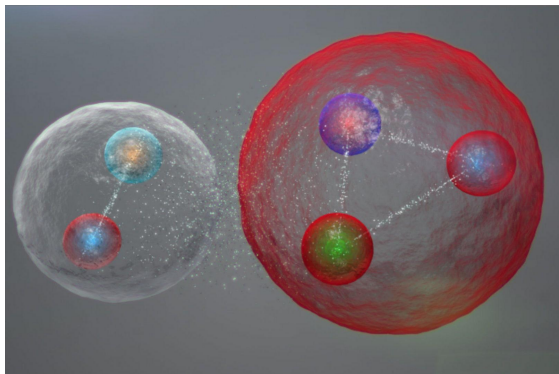
Images: [wired.com](#)



Penta quark

- 10^{-5} s and $T \sim 200$ MeV Hadronization and Baryogenesis

Meson and Baryon

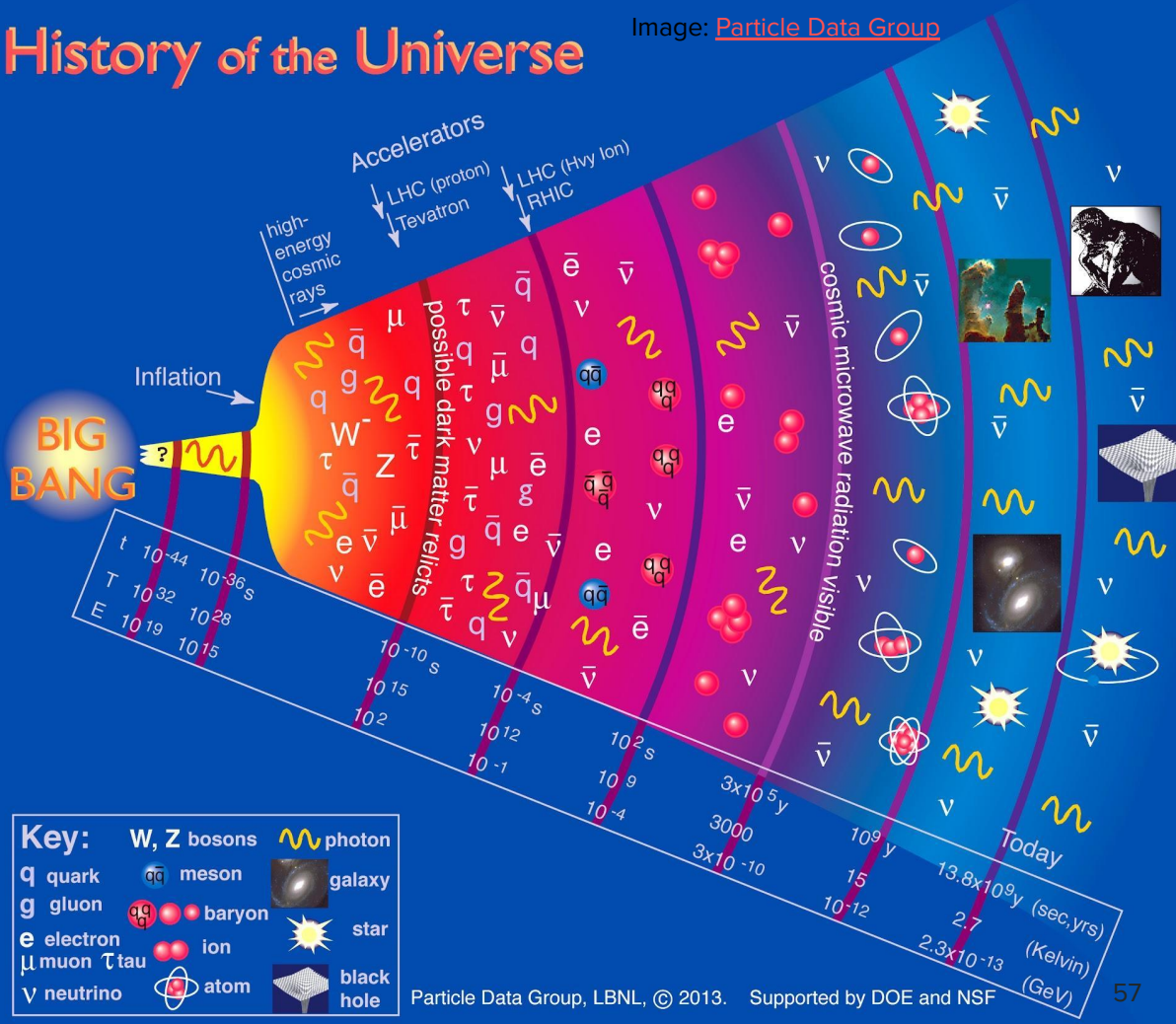


History of the Universe

Image: [Particle Data Group](#)

Timeline

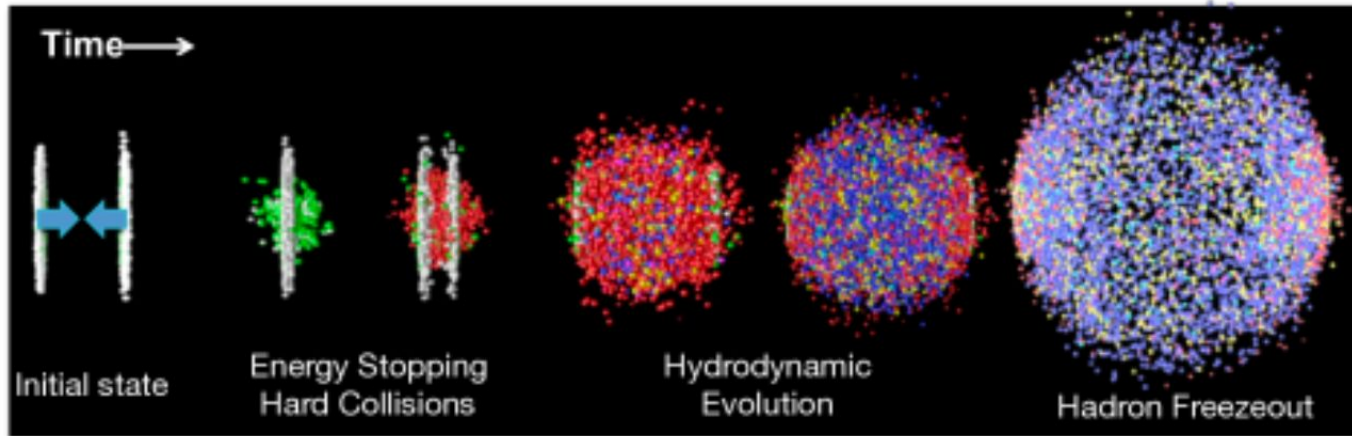
- $5.4 \cdot 10^{-44}$ s and $T > 10^{19}$ GeV Planck time
- 10^{-43} s and $T \sim 10^{19}$ GeV Grand Unification
- 10^{-36} s and $T \sim 10^{15}$ GeV Inflation
- $T \sim 10^1 - 10^3$ GeV dark matter freeze-out
- 10^{-11} s and $T \sim 100$ GeV Quark Gluon Plasma
- 10^{-5} s and $T \sim 200$ MeV Hadronization and Baryogenesis
- 1 s or $T \sim 1$ MeV neutron freeze-out
- 1 s or $T \sim 1$ MeV neutrino freeze-out
- 3 min and $T \sim 100$ keV nucleosynthesis:
D, ^3He , ^4He , Li
- $T \sim 1$ eV structure formation
- $T \sim 0.4$ eV photon decoupling \rightarrow CMB
- $T = 2.7$ K $\sim 10^{-4}$ eV today



Heavy ions for quark gluon plasma

Quark gluon plasma in the laboratory

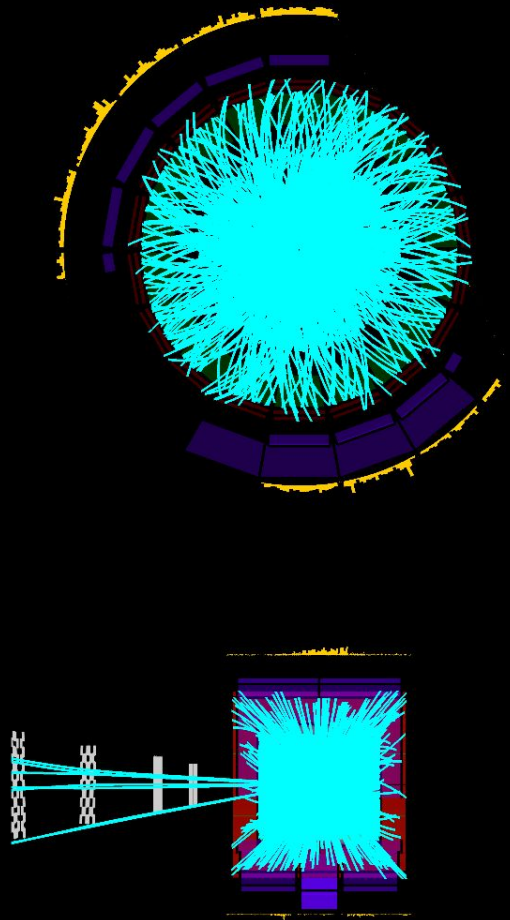
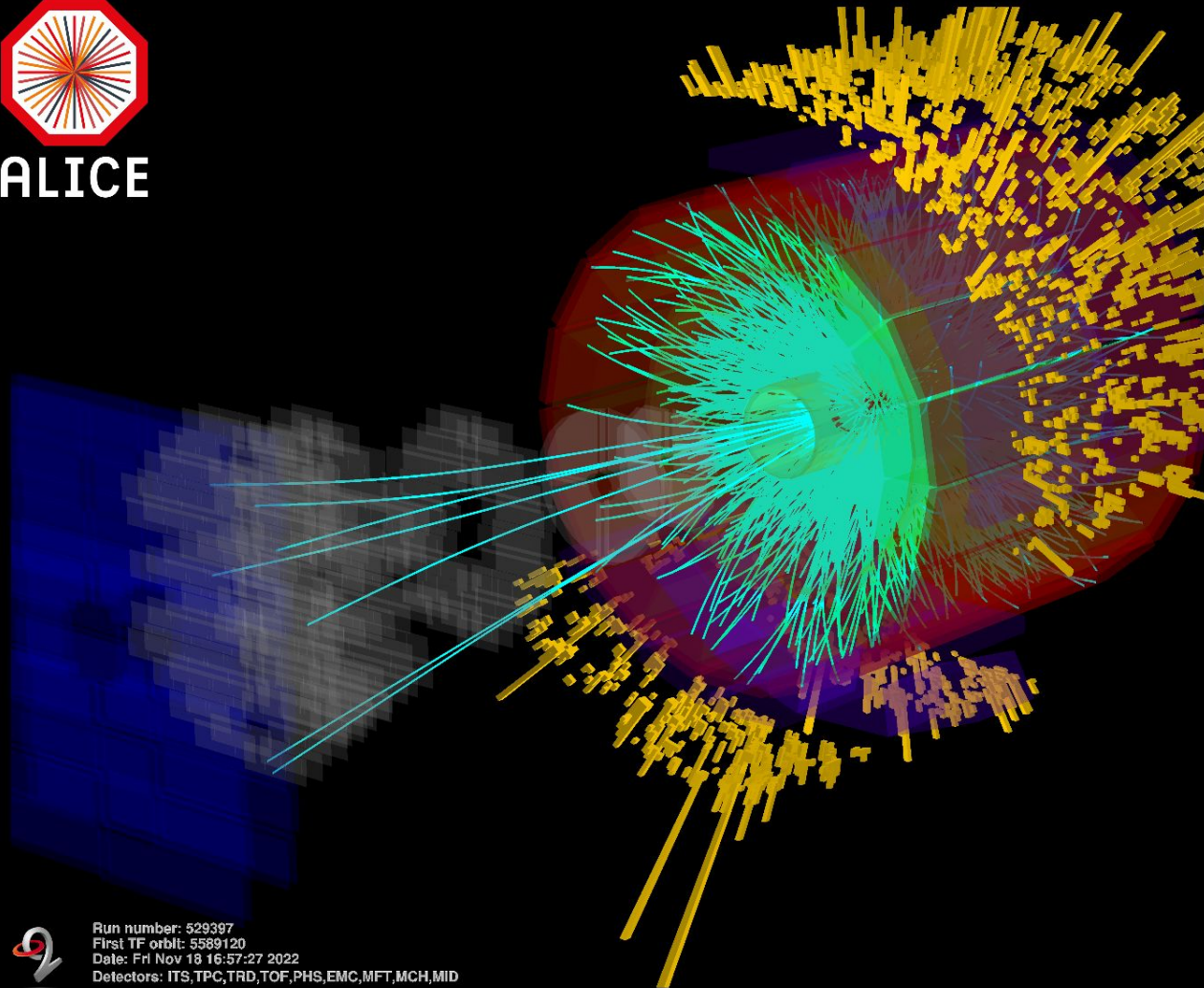
- 🔬 We collide heavy-ions, like lead on lead at speeds close to c , the speed of light ($\sim 0.9998 c$)



- 🔬 The energy density in the collision is large enough to produce QGP in the laboratory



ALICE



Run number: 529397
First TF orbit: 5589120
Date: Fri Nov 18 16:57:27 2022
Detectors: ITS,TPC,TRD,TOF,PHS,EMC,MFT,MCH,MID



First ion collisions after long shutdown of several years!

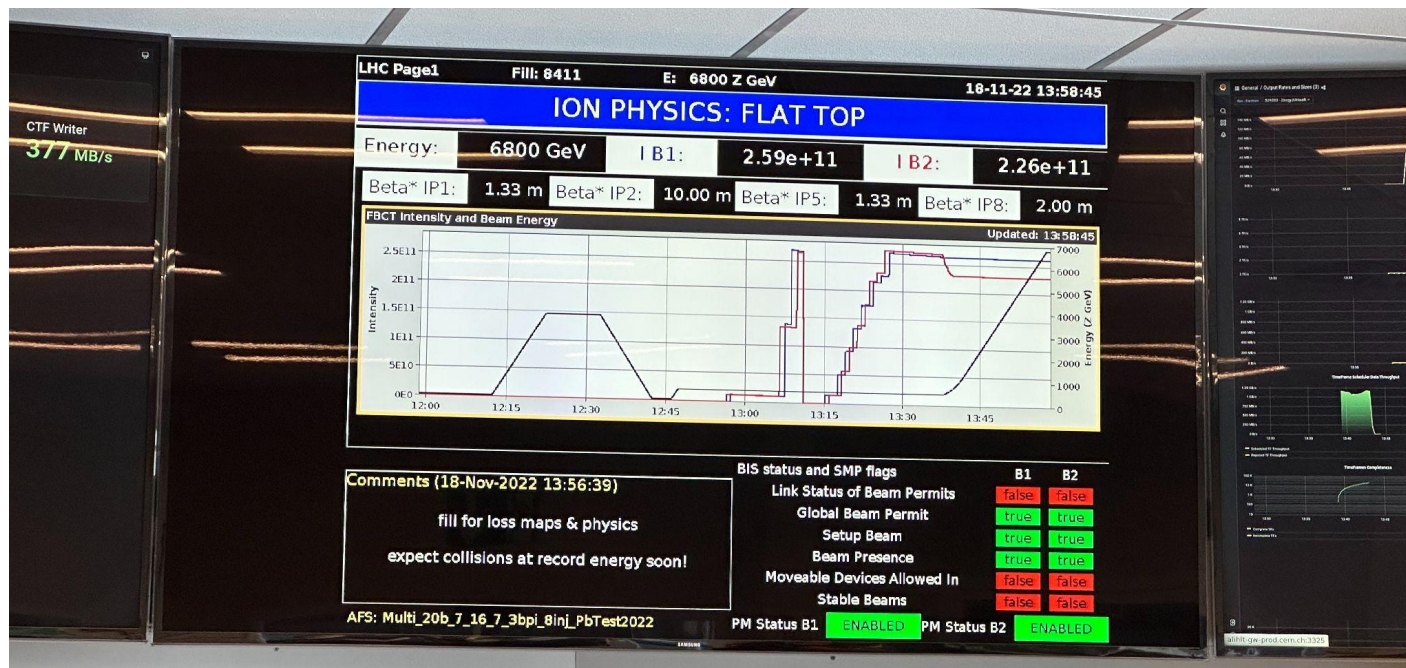
See also

<https://home.cern/news/news/experiments/first-lead-ion-collisions-lhc-record-energy>
<https://alice.cern/node/169>



What is the LHC doing right now?

Check out <https://op-webtools.web.cern.ch/vistar/vistars.php?usr=LHC1> or google “vistars LHC page 1”



Hoe detecteren we zo'n deeltje?

ALICE inner tracking system:

10 m² of active silicon area
nearly **13 billion pixels**

The **largest pixel detector** ever built!

Nog
dichter
bij de
oerknal

Deeltjeslab CERN, Genève. Als een geheimzinnige gouden halfpijp ligt een van de nieuwe onderdelen van deeltjesdetector ALICE in het assemblage-atelier. Dit is ITS, het Inner Tracking System dat het vederlichte hart van de detector gaat vormen. Een meterslange halve buis van ultralichte koolstofvezel vakwerkbalkjes met

Binnenin ITS ligt dan alleen nog de bundelpijp van de LHC-versneller, die middenin ALICE zware atoomkernen met de licht-

A silicon PIXEL detector

daarop zijn vastgeplakt. De balkjes worden met de hand geplaatst en worden met een speciale machine nauwkeurig afgemeten. Het is een proces dat maanden duurt. De balkjes worden dan in een speciale oven verhit. Het proces wordt herhaald tot de detector compleet is. Het is een proces dat maanden duurt. De balkjes worden dan in een speciale oven verhit. Het proces wordt herhaald tot de detector compleet is.

de detector compleet is. Het is een proces dat maanden duurt. De balkjes worden dan in een speciale oven verhit. Het proces wordt herhaald tot de detector compleet is.

dezelfde plak silicium zitten. Dat scheelt kabels en elektronica in de detector.

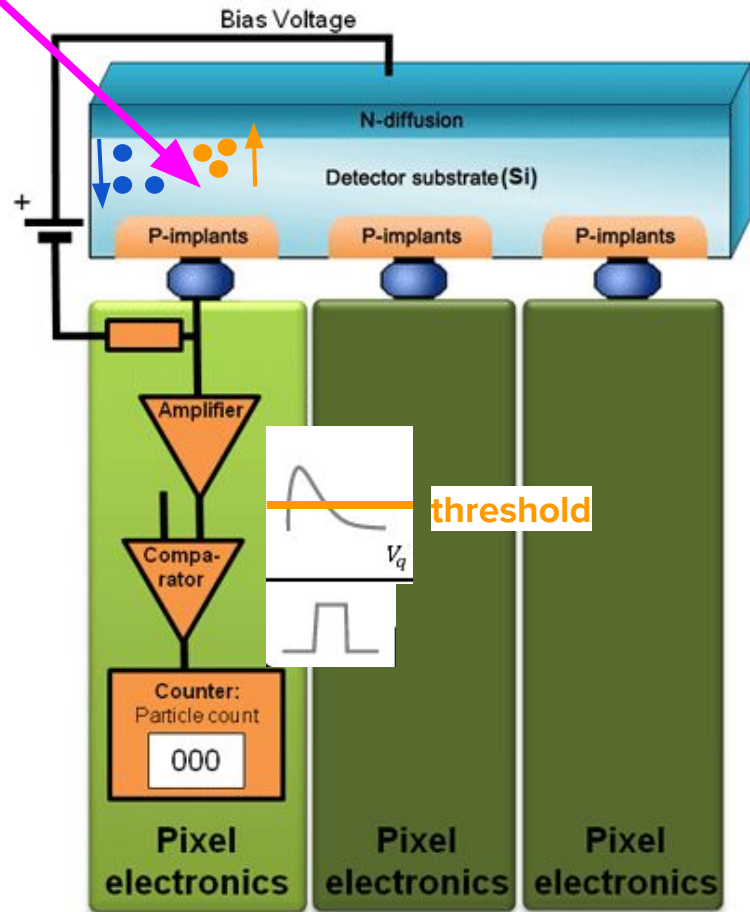
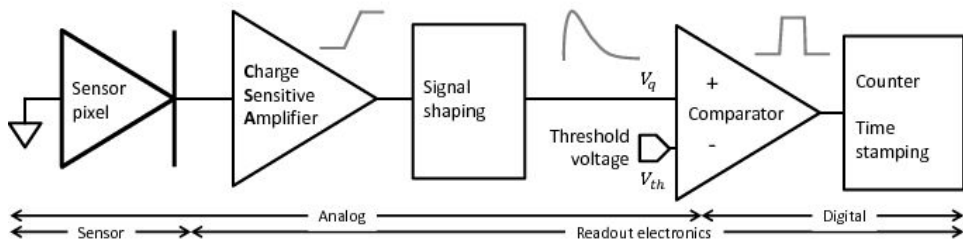
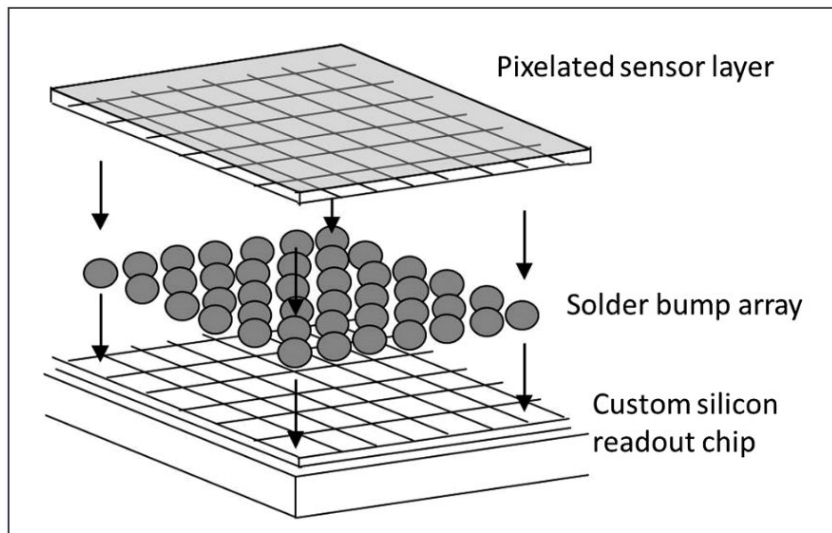
In de komende meetperiode kan ITS gemakkelijk honderd keer zoveel meetgegevens verzamelen als alles wat ALICE in

de afgelopen jaren heeft verzameld. Deze versies worden vervangen. Daar is ook de trigger-apparatuur bij die beslist welke botsingen bijzonder genoeg zijn om vast te leggen. Het computersysteem dat data verzamelt en toegankelijk maakt, wordt eveneens vernieuwd.

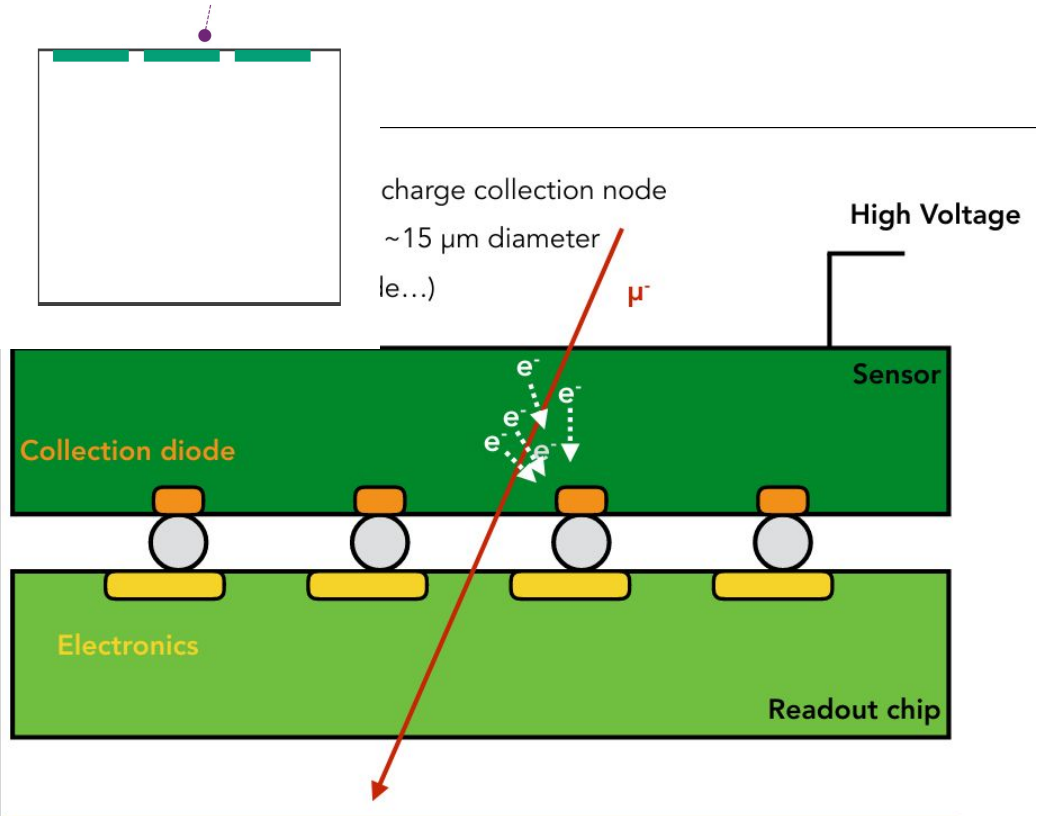
De upgrade-periode is een hectische tijd. Het binnenste van de grote ondergrondse detector is vorig jaar meteen

geheel vernieuwd. Daarvoor zijn kleine honderd sensorduigen. Een kwart van alle duigen, die in de lagen nummer 6 en 7, zijn gemaakt op Nikhef in Amsterdam. Daar lijden leden van het ALICE-team met eindeloos geduld de koeling en de sensoren stuk voor stuk 64 handmatig op de ijle koolstofvezel dragers. Deze sensorduigen zijn vorig najaar al in trillingsvrije krachten van Amsterdam

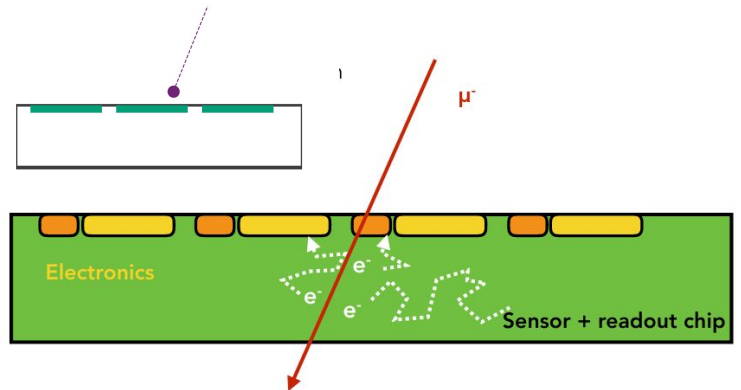
A hybrid pixel detector



Deeltjes maken lading los in een sensor: *ionisatie*

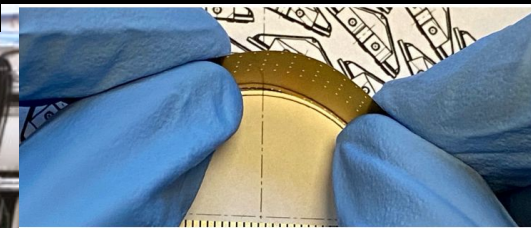


Ionisatie: atoom of molecuul raakt een elektron kwijt of krijgt er één bij.



Mijn passie: pixeldetectors van silicium -- ook in je telefoon!

Zo dun, we kunnen ze buigen!



Nog
dichter
bij de
oerknal

**Ik werk aan hele snelle pixel detectors: we gaan voor
10 ps = 0.00000000001 seconde!**

Het goud is overigens geen goud, maar polyimide-folie met ragdunne koperen voedingskabels voor de sensoren. Dun genoeg om vrijkomende

zijn ontstaan. ITS moet de ontwerpen die uit die ziedende ontspannen en de fysici vertellen water daarbinnen precies gaande is.

botsingen preciezer worden bekeken.

gemakkelijk honderd keer zoveel meetgegevens verzamelen als alles wat ALICE in

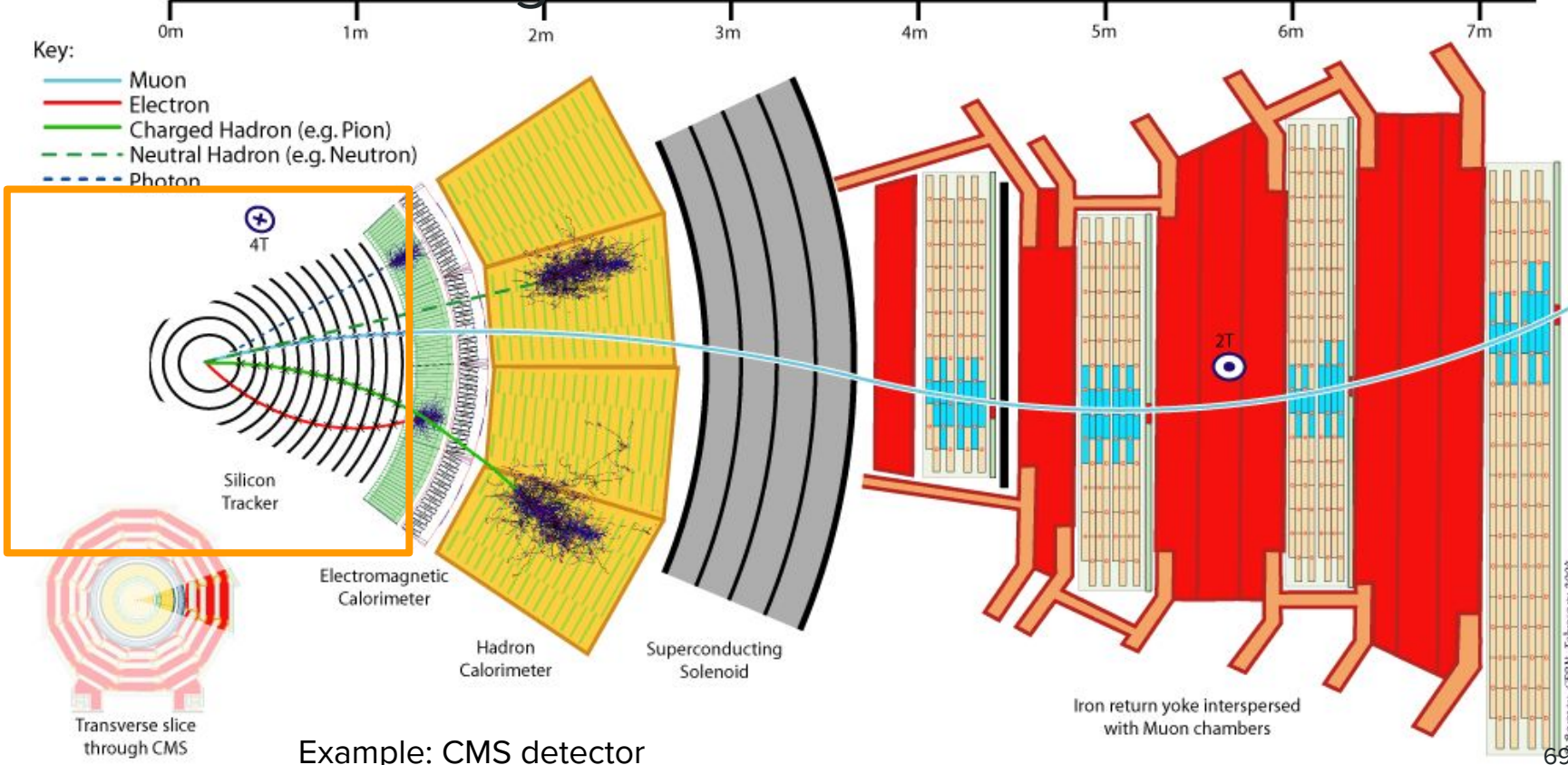
tijd. Het binnenste van de grote ondergrondse detector is vorig jaar meteen

gers. Deze sensorduigen zijn vorig najaar al in trillingsvrije kratten van Amsterdam

hart
er 6
het
koe-
8
a-

Detectors at the large hadron collider: onion-like

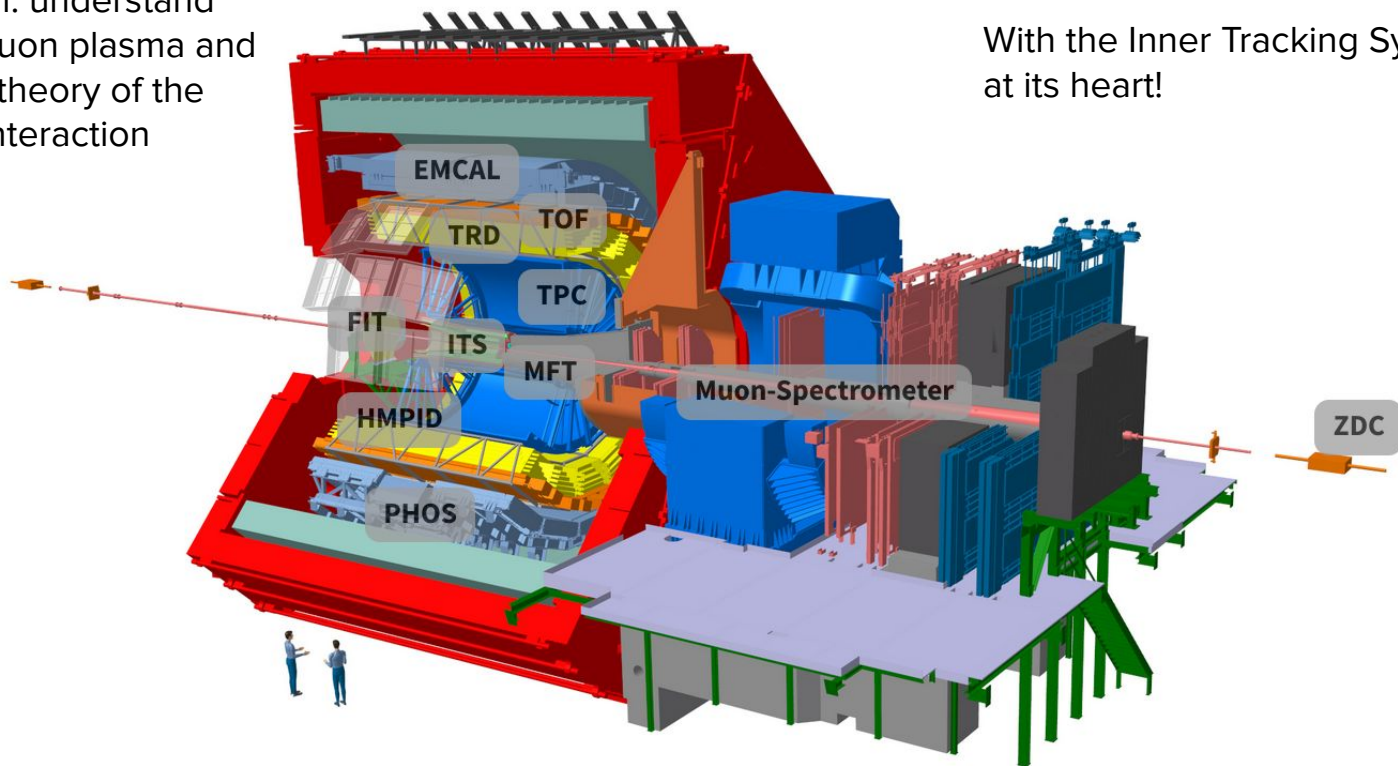
http://inspirehep.net/record/82.6852/files/EPS_CMS_Slice.png



The ALICE detector: onion-like

Main aim: understand quark gluon plasma and test the theory of the strong interaction

With the Inner Tracking System at its heart!



From <https://alice.cern/experiment>

ALICE Time Projection Chamber

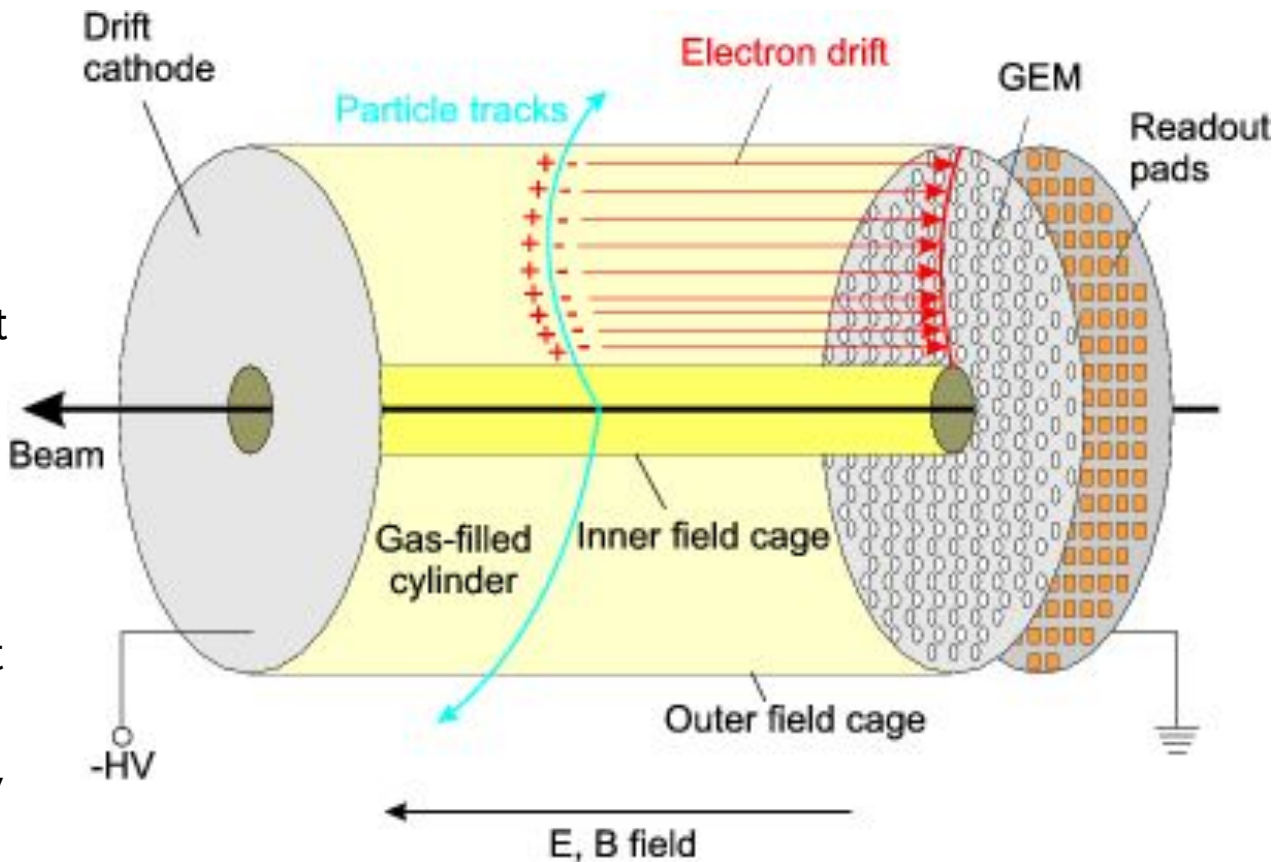
Een gas detector



A gas detector: the ALICE time projection chamber

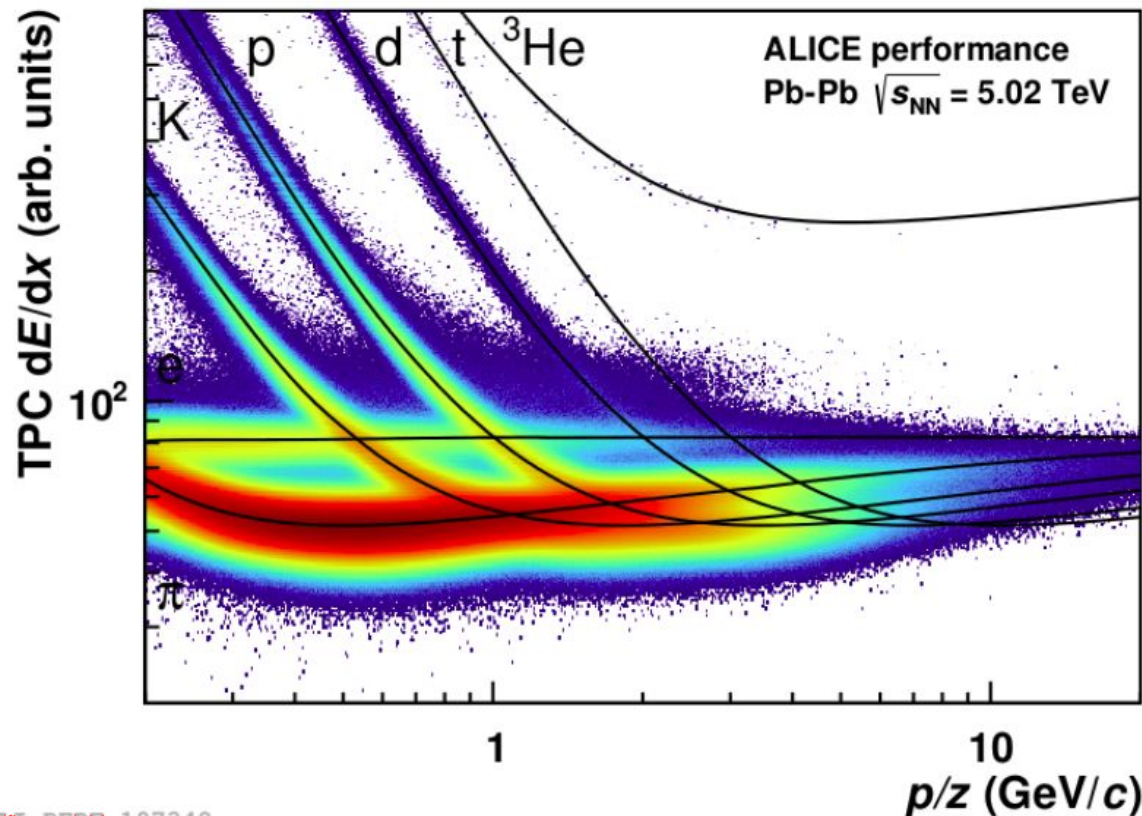
TPC

1. Ionization of gas in **chamber** with electric field causes electron drift
2. Signal gets amplified, in this case by gas electron multipliers \rightarrow electron avalanche
3. Readout pads can detect signal that can be **projected** onto trajectory
4. z (along beam) information from **timing**

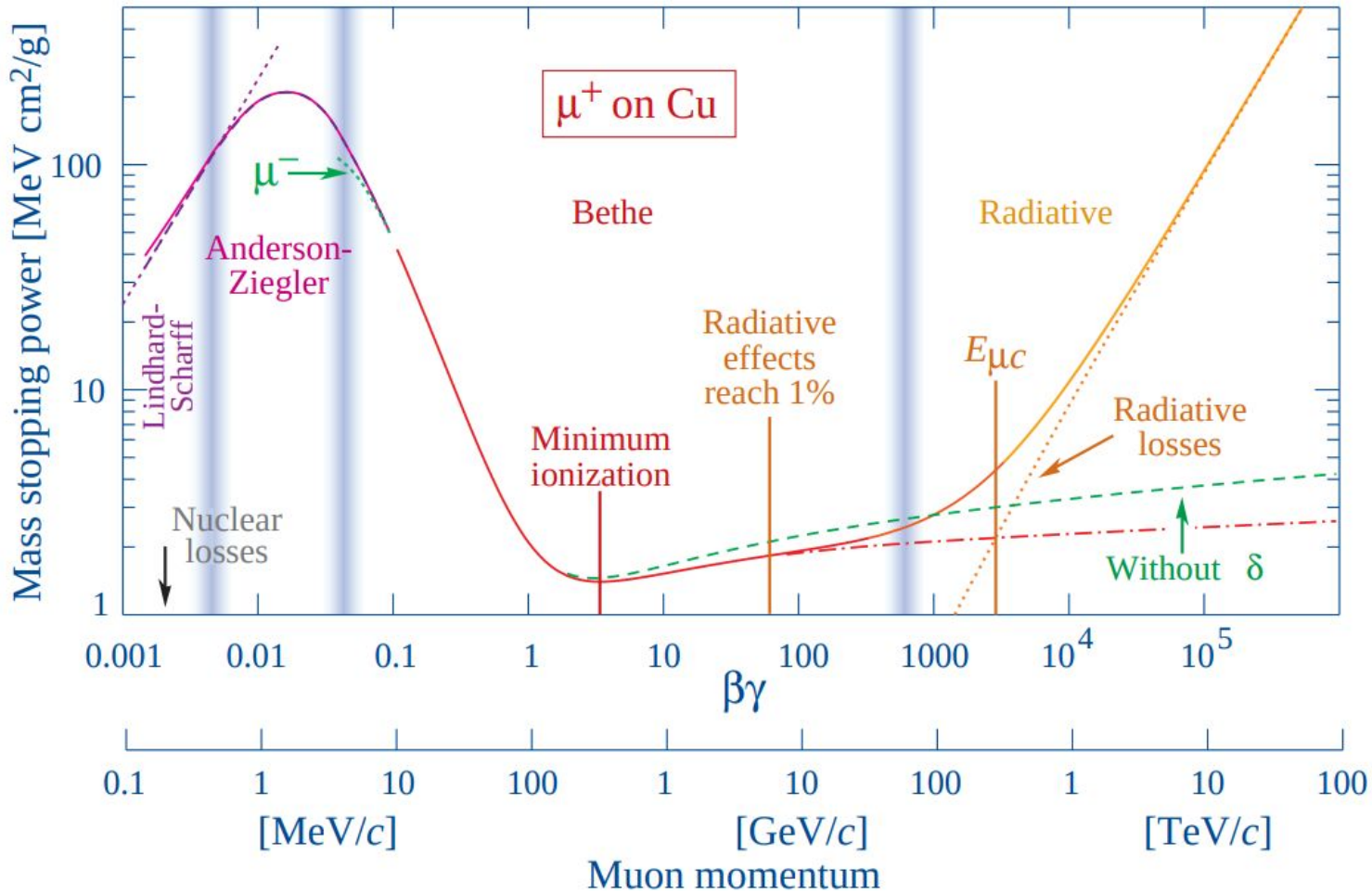


ALICE time projection chamber: particle identification

- Every point is one measurement!
- Can identify particles for low momenta
- For higher momenta, all particles behave like a minimum ionizing particle (MIP)



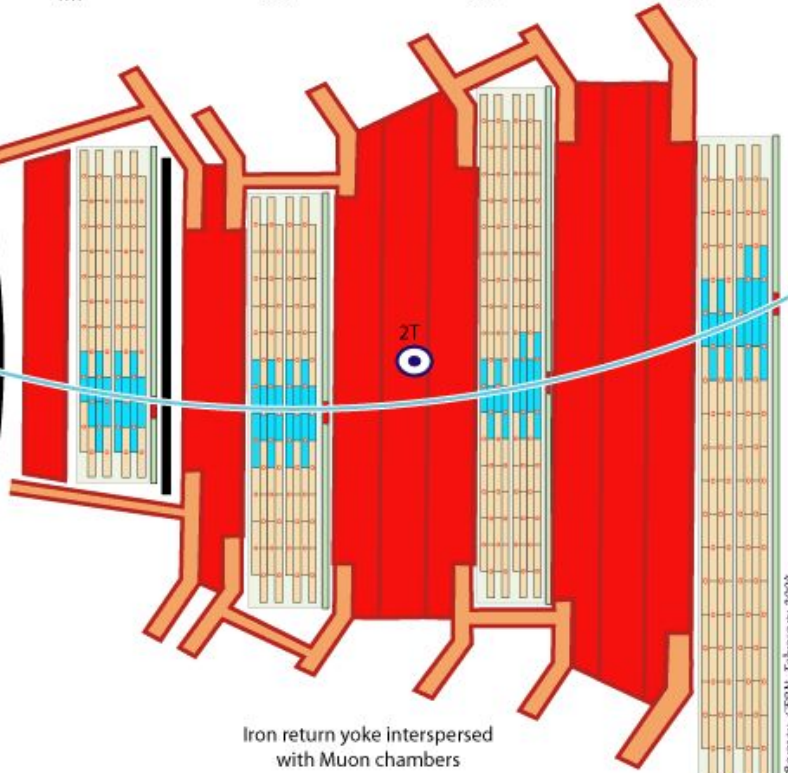
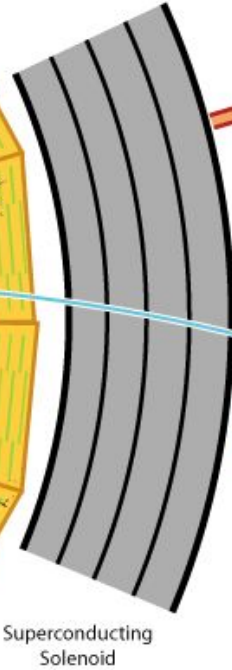
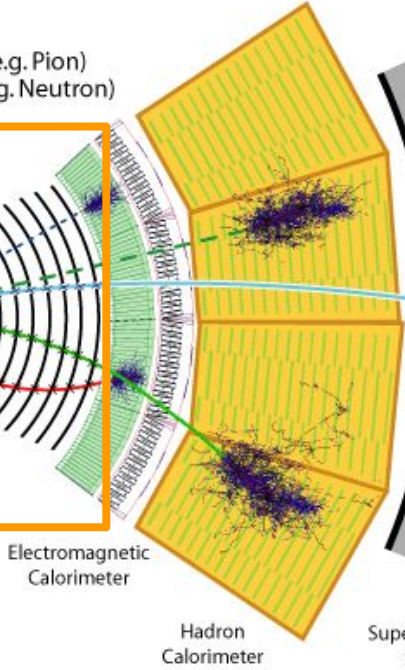
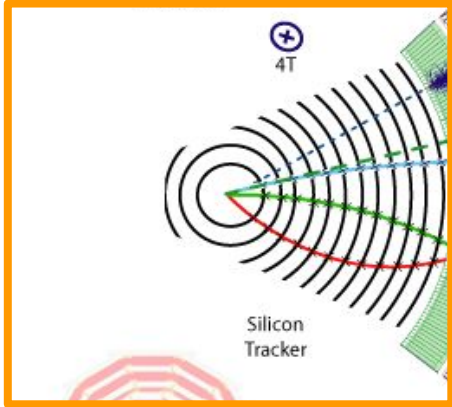
Ionization loss



Detectors at the large hadron collider: onion-like



- Key:
- Muon
 - Electron
 - Charged Hadron (e.g. Pion)
 - - - Neutral Hadron (e.g. Neutron)
 - - - Photon



http://inspirehep.net/record/82.6852/files/EPS_CMS_Slice.png

How to measure neutrinos?

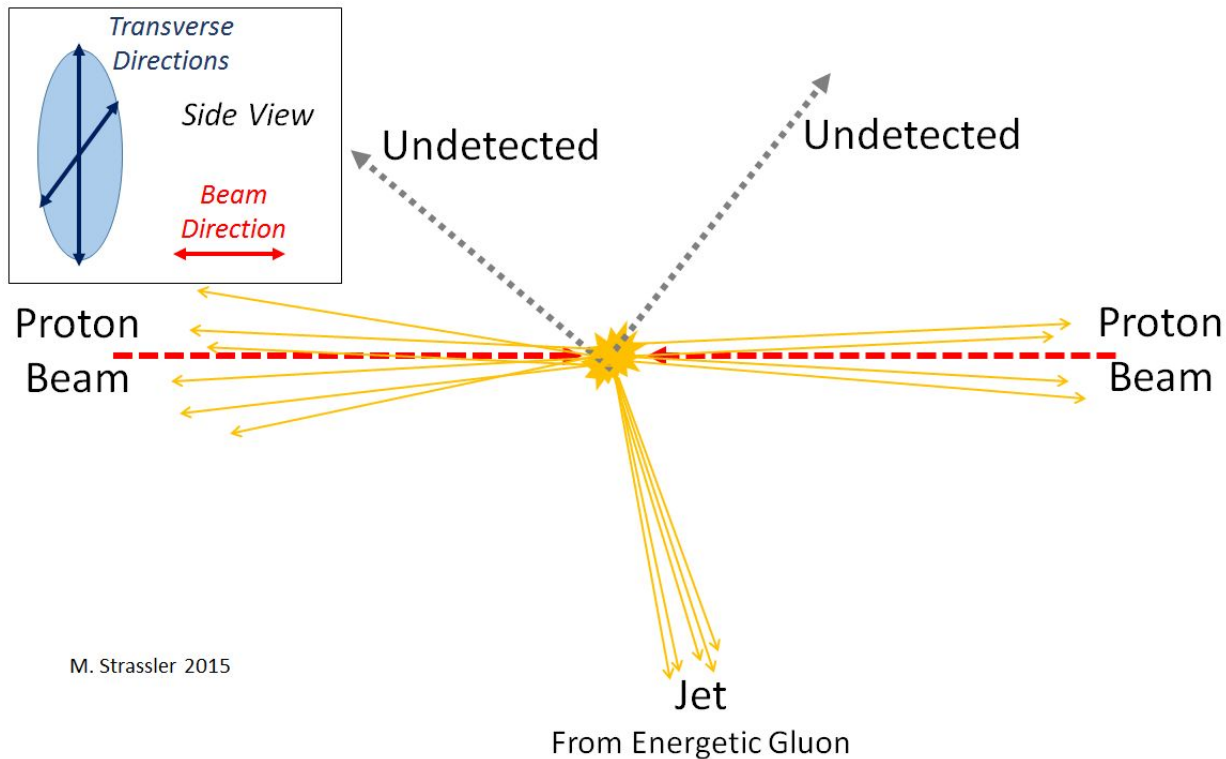
Missing transverse momentum

Neutrinos?

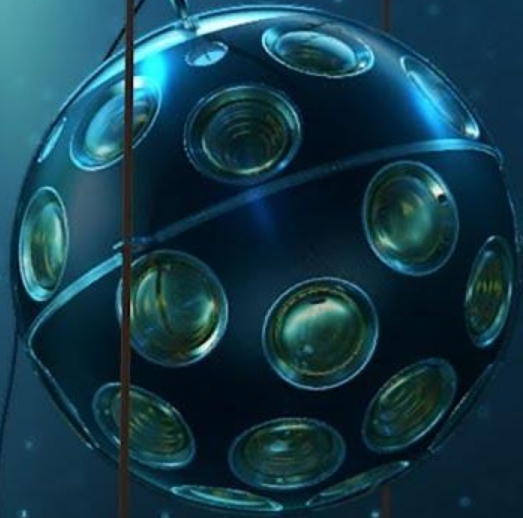
Mismeasurement?

Detector effect?

Dark matter?



- 10^9 neutrinos / cm^2/s
- De meeste van de zon en uit de atmosfeer
- Zeldzame gebeurtenissen van zwarte gaten, supernovae...

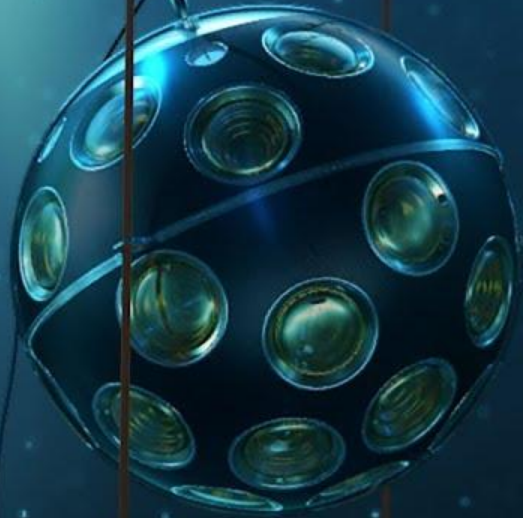


KM3NeT: cubic kilometer neutrino telescope

- Tussen 2 en 4 km diep in Middellandse Zee (FR-IT-GR)
- 12000 digital optical modules (DOMs) aan 600 draden
- Cherenkov detectie met fotobuizen
- GeV, TeV, and PeV neutrinos

Nederland speelt een grote rol in de constructie!

- 10^9 neutrinos / cm^2/s
- Most from sun and atmosphere
- Rare events from black holes, supernovae...



Neutrinojagers bouwen hun sensorbollen in Amsterdam



In de PIMU-hal van Nikhef op het Amsterdam Science Park is afgelopen zomer de massaproductie gestart van onderdelen voor de reusachtige internationale KM3NeT neutrino-telescoop die op de bodem van de Middellandse Zee wordt gebouwd.

Wekelijks kunnen daar acht tot twaalf

Nieuwe detectoren op Nikhef en CERN

[Nikhef wetenschapsdag](#)

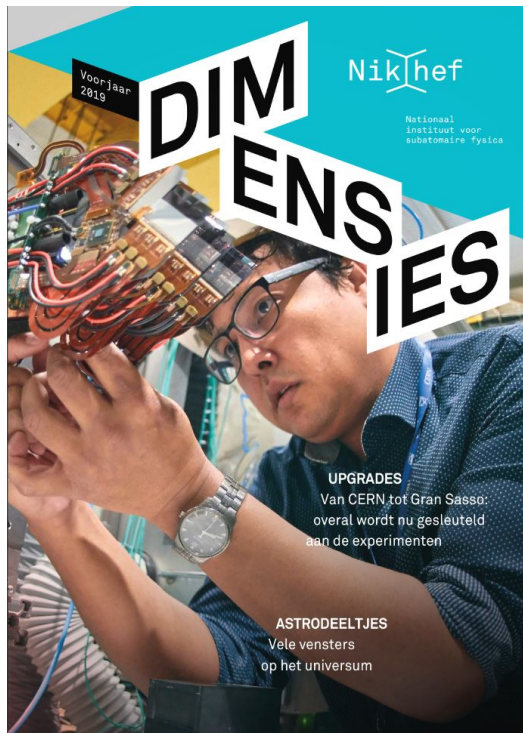
En [hier](#)

Zaterdag 5 oktober 12:00-17:00

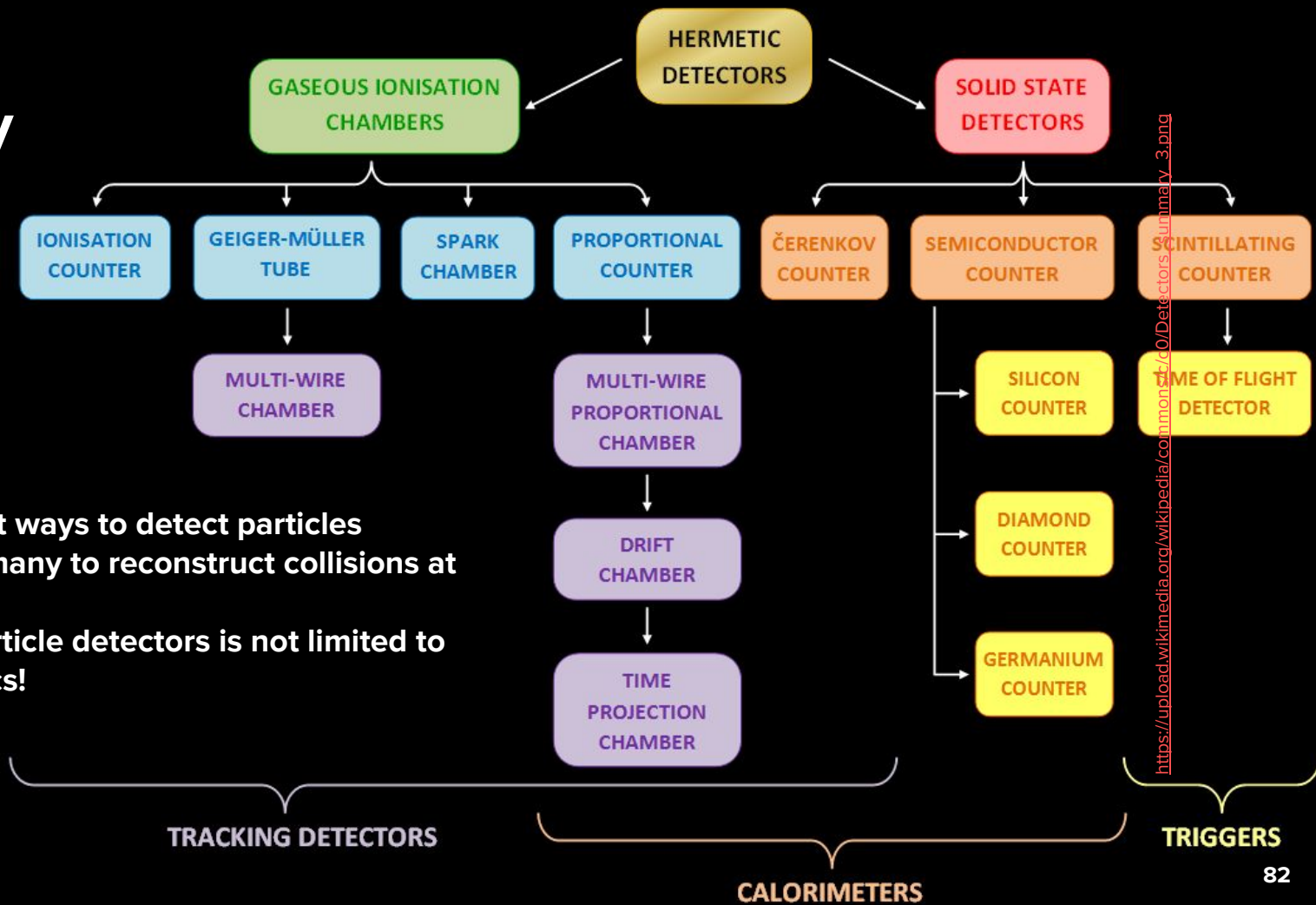
[Wetenschapsdag Amsterdam](#)

[Science Park](#)

Op Nikhef werken we mee aan detectoren die op CERN bij de LHC worden geïnstalleerd!



Summary



- Many different ways to detect particles
- We combine many to reconstruct collisions at the LHC
- The use of particle detectors is not limited to collider physics!

Extra materiaal

Credits

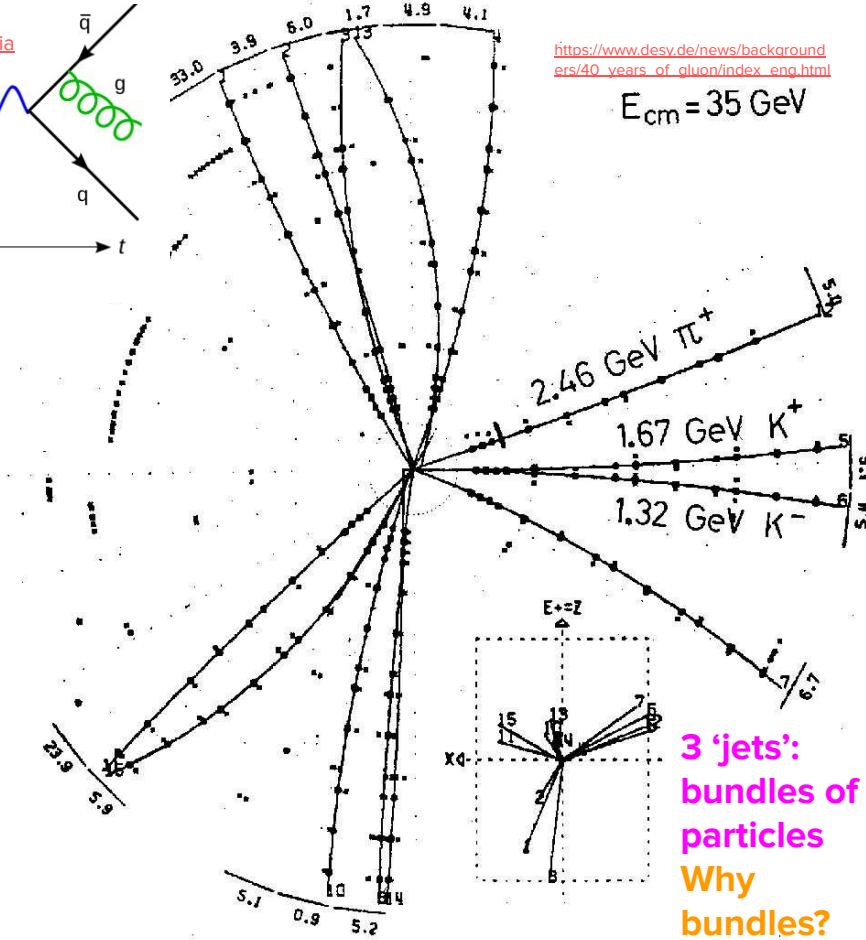
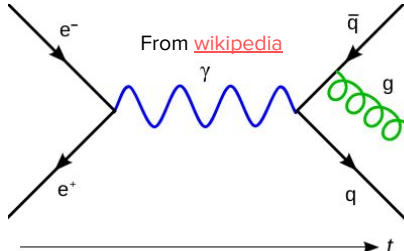
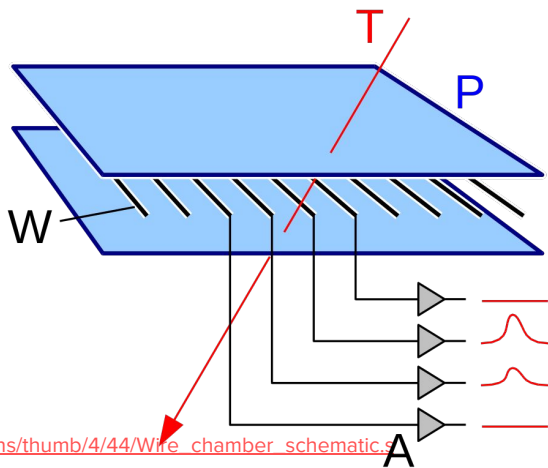
Many thanks to Erik Butz, Simon Spannagel, Freya Blekman, Peter Schleper, Erika Garutti
Wikipedia

Gluon discovery

Event in *drift chamber* of JADE experiment at PETRA collider at DESY.

Such events were used to prove the existence of gluons: $e^+e^- \rightarrow qq\bar{g}$.

Wire chamber: particle T passes through grounded plate P and ionizes gas in chamber. Charge drifts in electric field to high voltage wires W and is collected at an amplifier A.



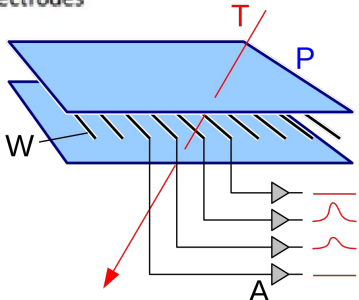
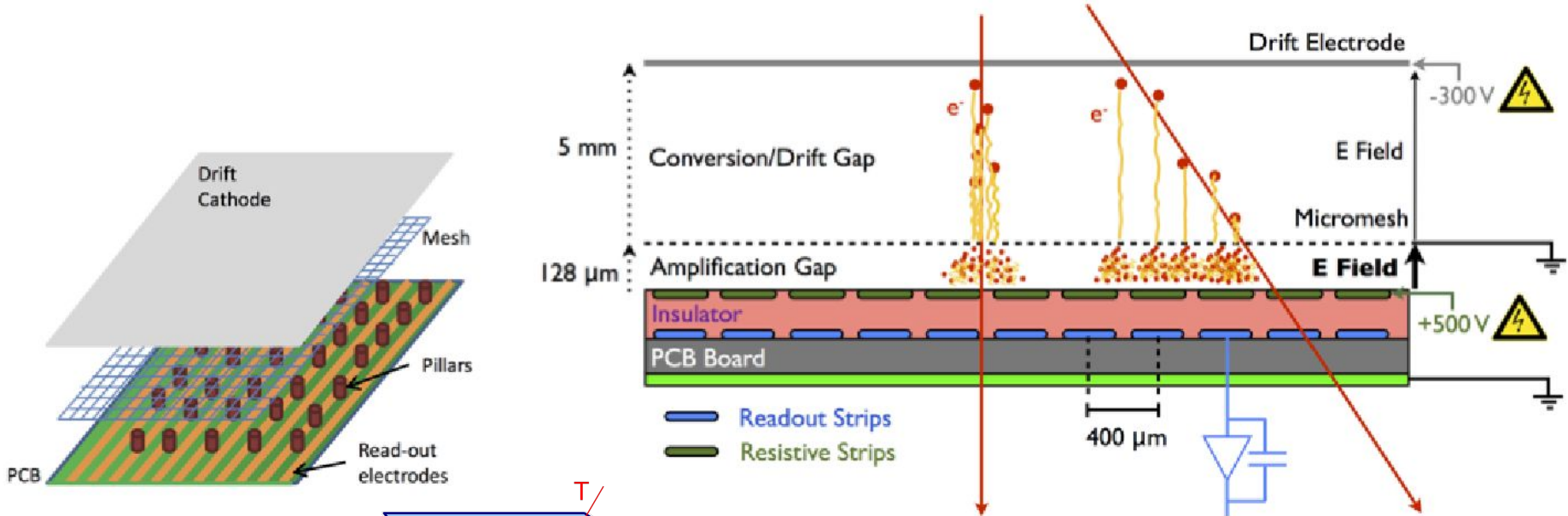
https://www.desy.de/news/backgrounders/40_years_of_gluon/index_eng.html

$E_{cm} = 35 \text{ GeV}$

3 'jets': bundles of particles
Why bundles?

From http://www.desy.de/sites2009/site_www-desy/content/e409/e287332/e287337/e287345/1980-09-22_TASSO-Event_Gluon_Entdeckung_sw_ger.jpg

Micromesh Gaseous Structure: Micromegas

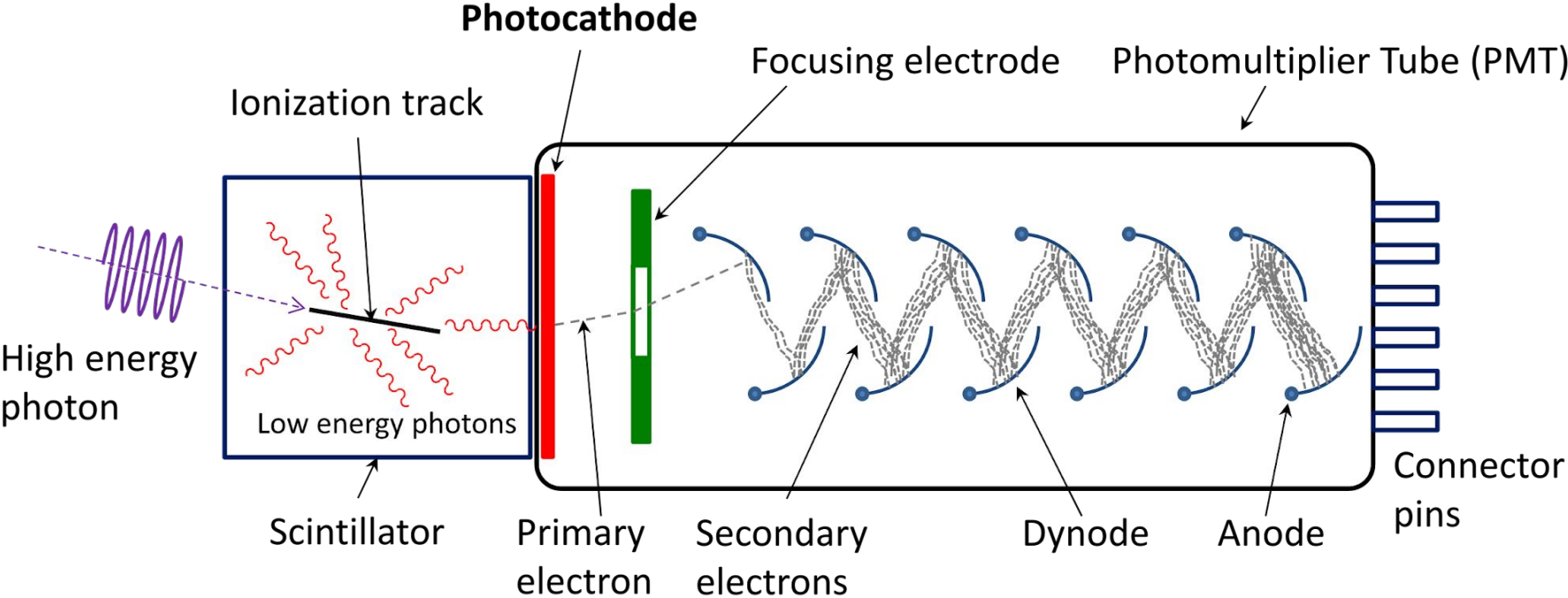


In addition to drift layer also an amplification layer

Figure from [M. Iodice](#)

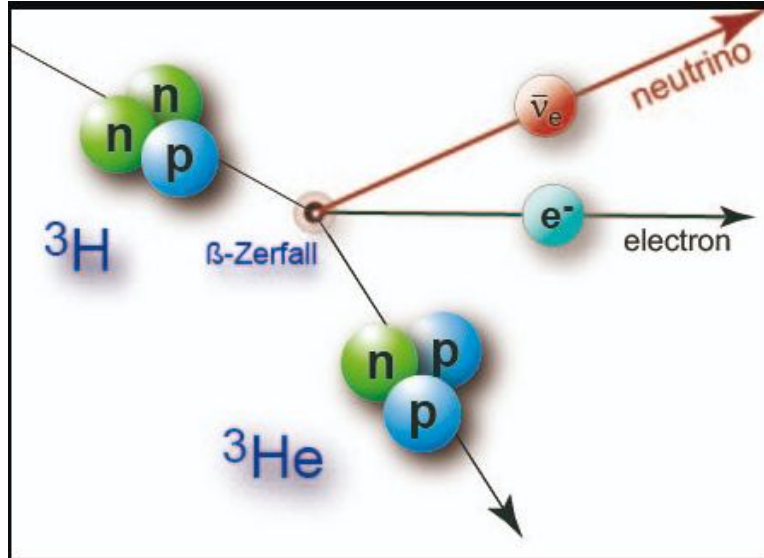
Photomultiplier tube

Image from [Wikipedia](#)

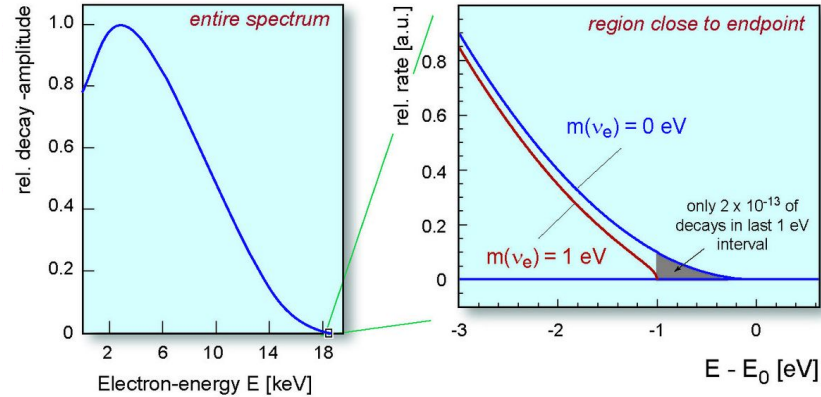


KATRIN: neutrino mass measurement

Karlsruhe tritium neutrino experiment



$m_\nu < 1.1 \text{ eV}$ (90% confidence level)



Derive
neutrino mass
information
from electron
energy

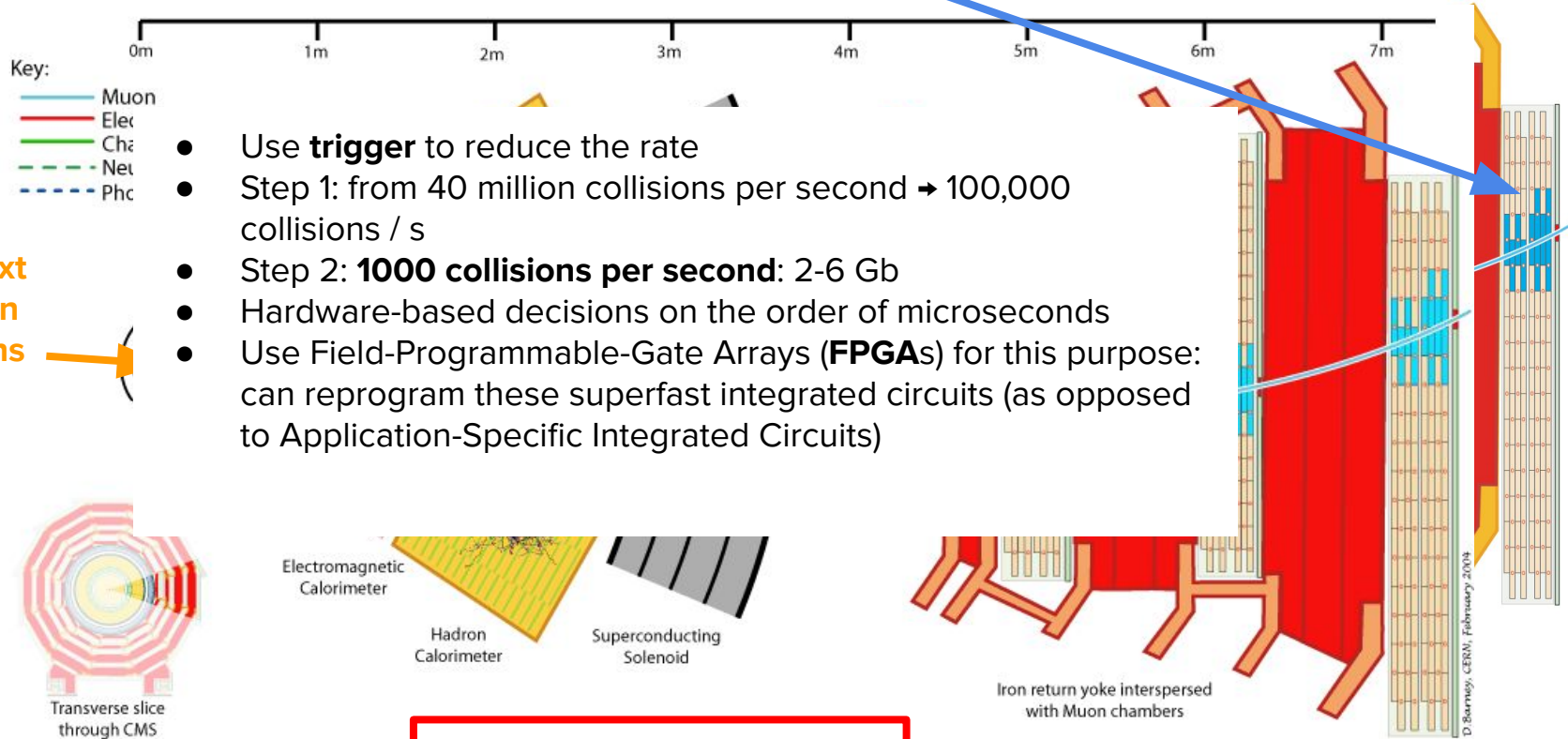
First experiment with sub-eV
neutrino mass constraints:

<https://www.nature.com/articles/s41567-021-01463-1>



https://www.katrin.kit.edu/img/spdctrum_rdx_1200x678.jpg

Note when the muon arrives here



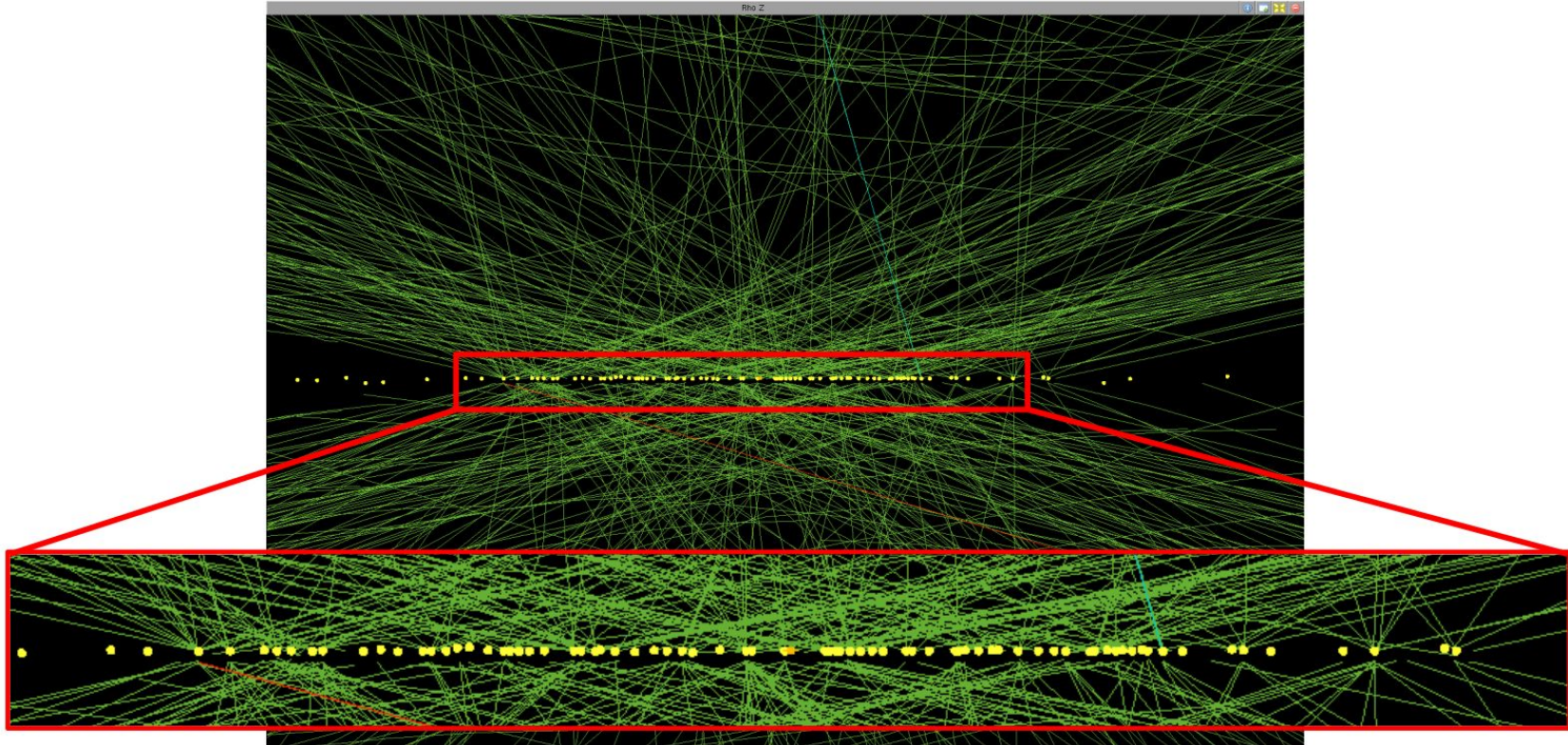
- Use **trigger** to reduce the rate
- Step 1: from 40 million collisions per second → 100,000 collisions / s
- Step 2: **1000 collisions per second**: 2-6 Gb
- Hardware-based decisions on the order of microseconds
- Use Field-Programmable-Gate Arrays (**FPGAs**) for this purpose: can reprogram these superfast integrated circuits (as opposed to Application-Specific Integrated Circuits)

The next collision happens here:

$$25 \text{ ns} \cdot c \approx 7.5 \text{ m}$$

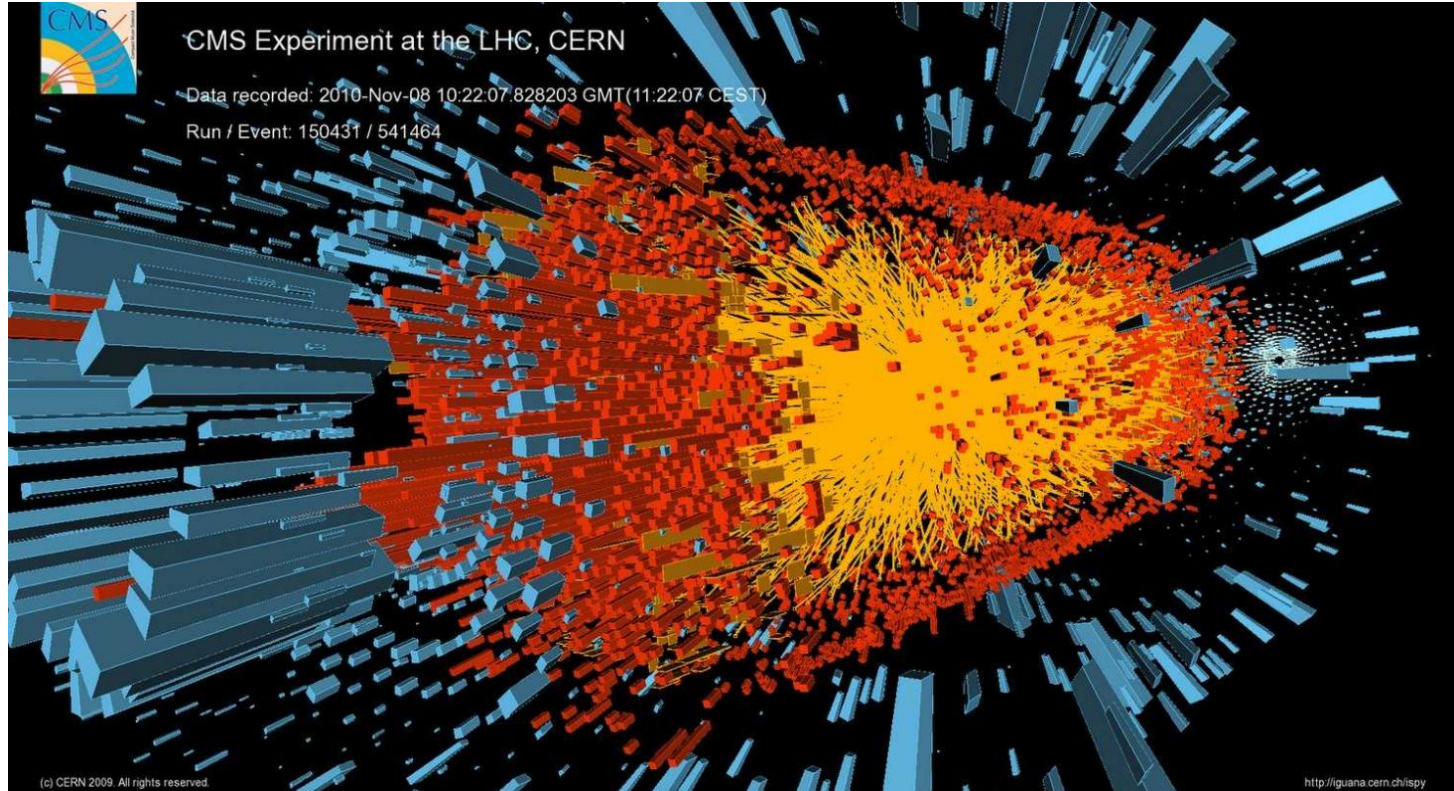
Track reconstruction

What if 78 interactions happen simultaneously?



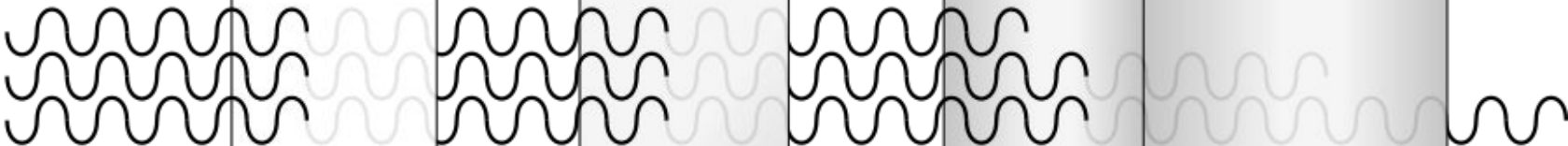
Or a collision of 2 lead nuclei?

10000
charged
tracks!



Calorimeters

α
 β
 γ



Paper

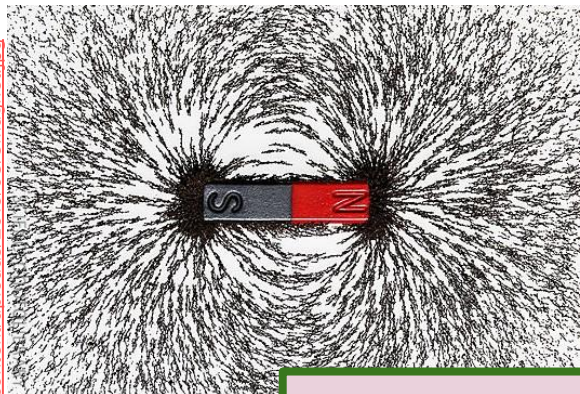
Aluminium

Lead

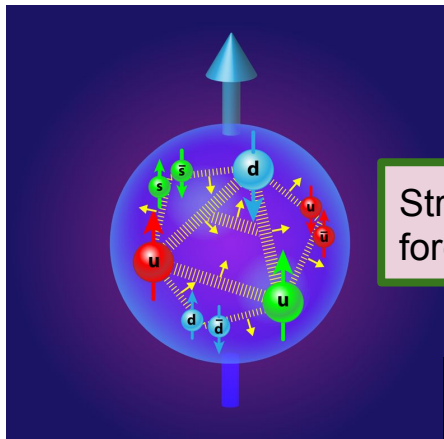
What are these particles?
Why do some pass through material and others don't?

https://upload.wikimedia.org/wikipedia/commons/thumb/3/33/Lightning_0257.jpg/1200px-Lightning_0257.jpg
http://blog.science4you.es/wp-content/uploads/2016/08/5magnet.jpg

Interactions: four known forces



electromagnetism

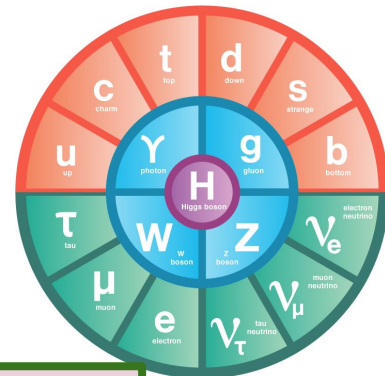
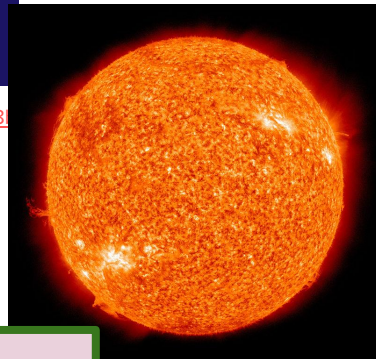


Strong nuclear force

https://physics.aps.org/assets/89b4f0e0-b8b70d-d90f744d1790/e23_2.png

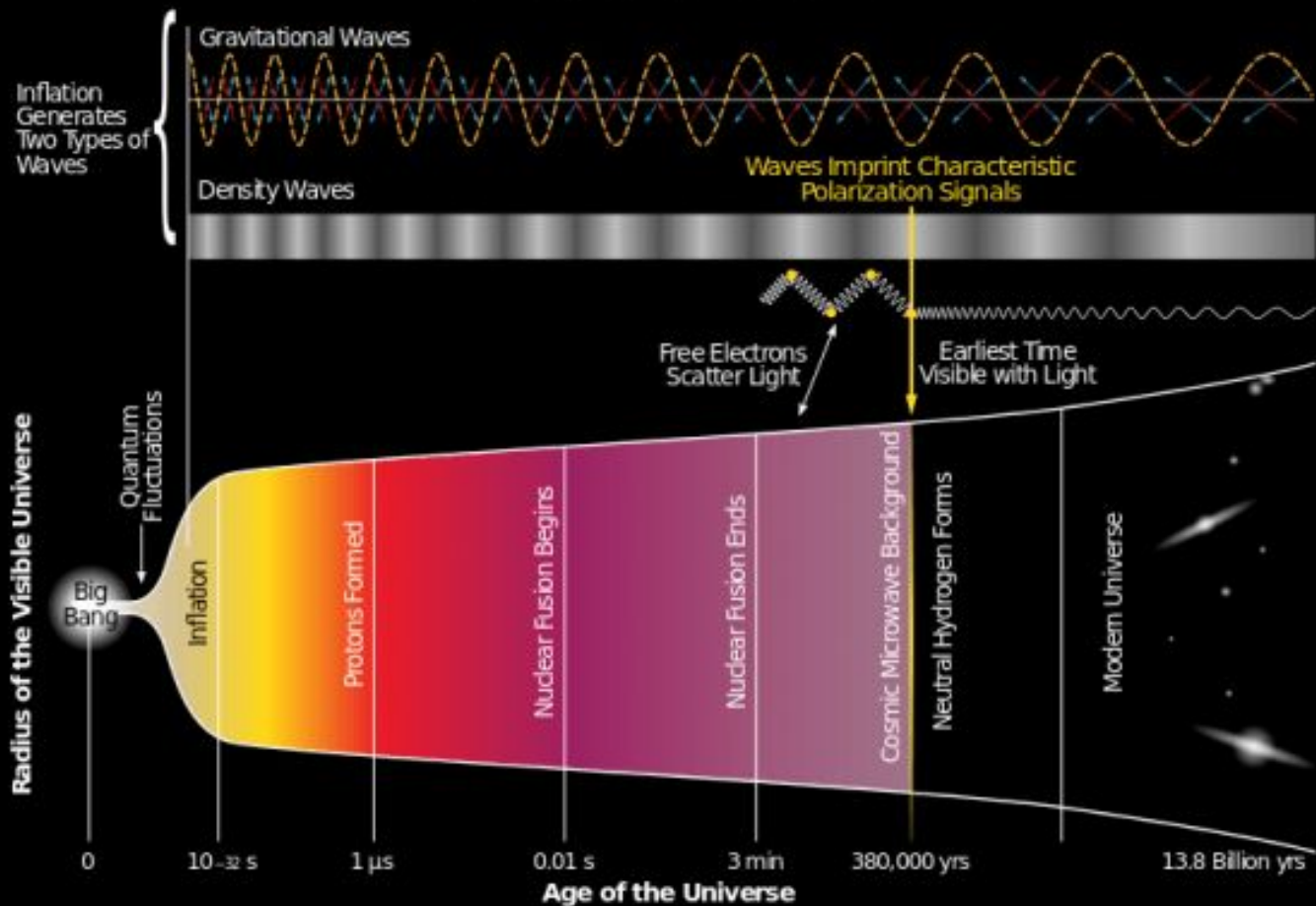
What are we made of?
How do particles get mass?
Gravity is not described by the Standard Model!

Weak nuclear force



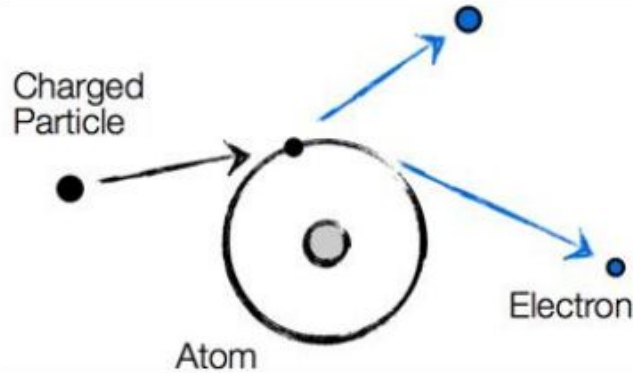
https://upload.wikimedia.org/wikipedia/commons/thumb/b/b4/The_Sun_by_the_Atmospheric_Imaging_Assembly_of_NASA%27s_Solar_Dynamics_Observatory_-_20100819.jpg/800px-The_Sun_by_the_Atmospheric_Imaging_Assembly_of_NASA%27s_Solar_Dynamics_Observatory_-_20100819.jpg

History of the Universe

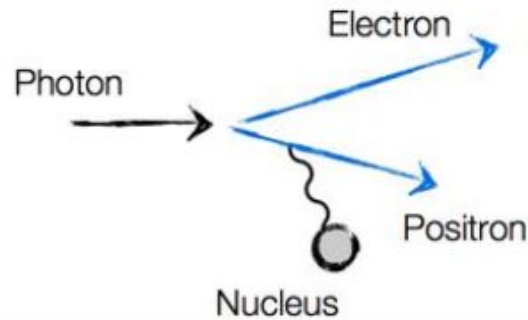


Interaction with matter: destructive measurement

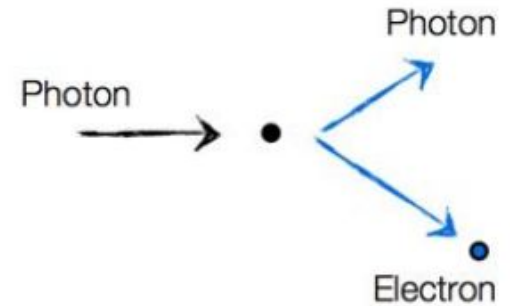
ionisation



Electron-positron
pair production

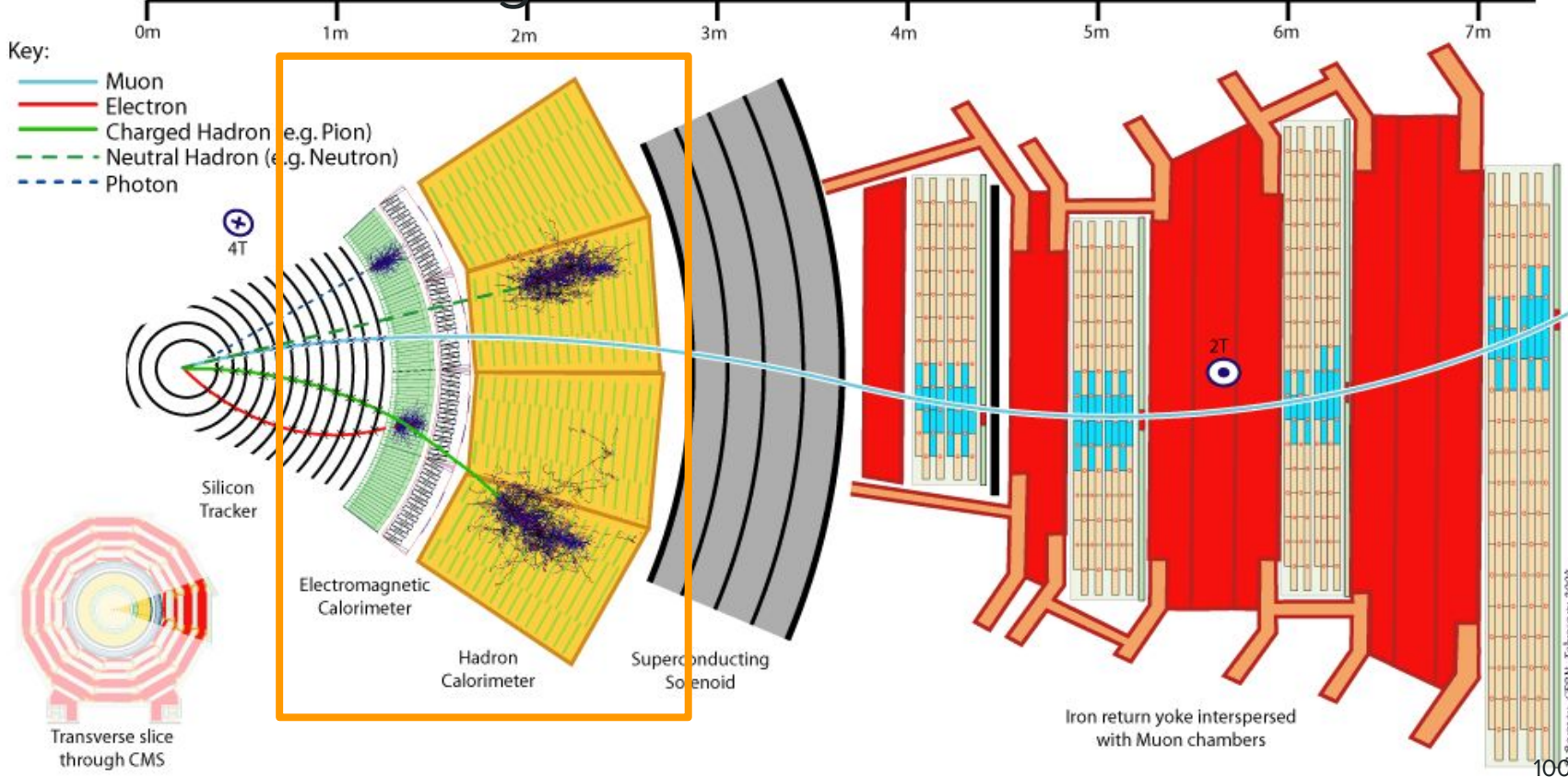


Compton
scattering



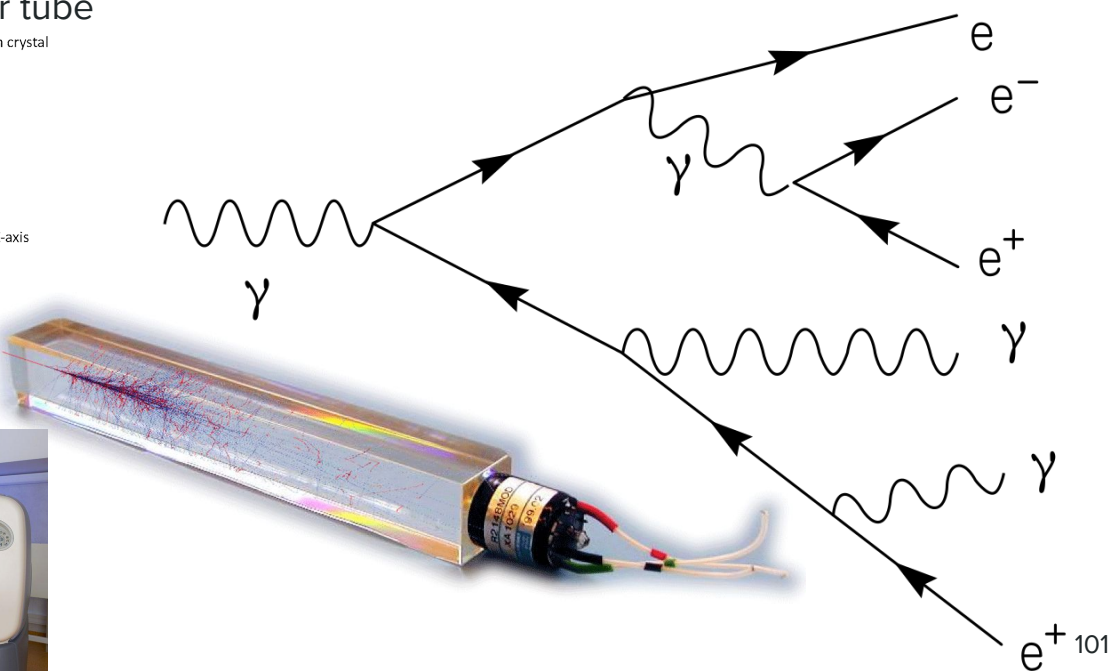
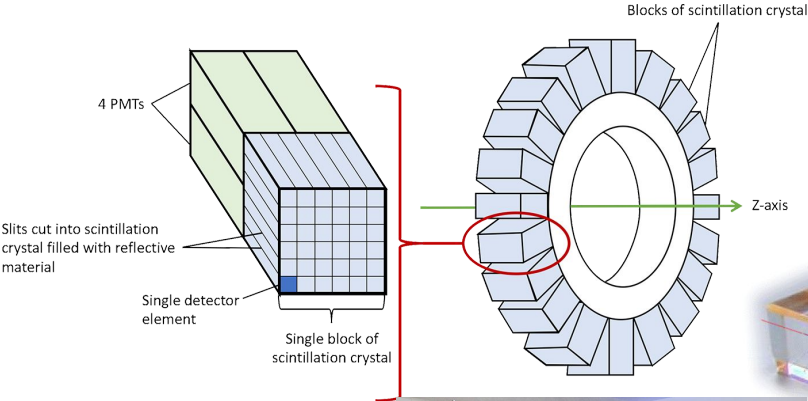
Detectors at the large hadron collider: onion-like

http://inspirehep.net/record/82.6852/files/EPS_CMS_Slice.png



Electromagnetic calorimeter

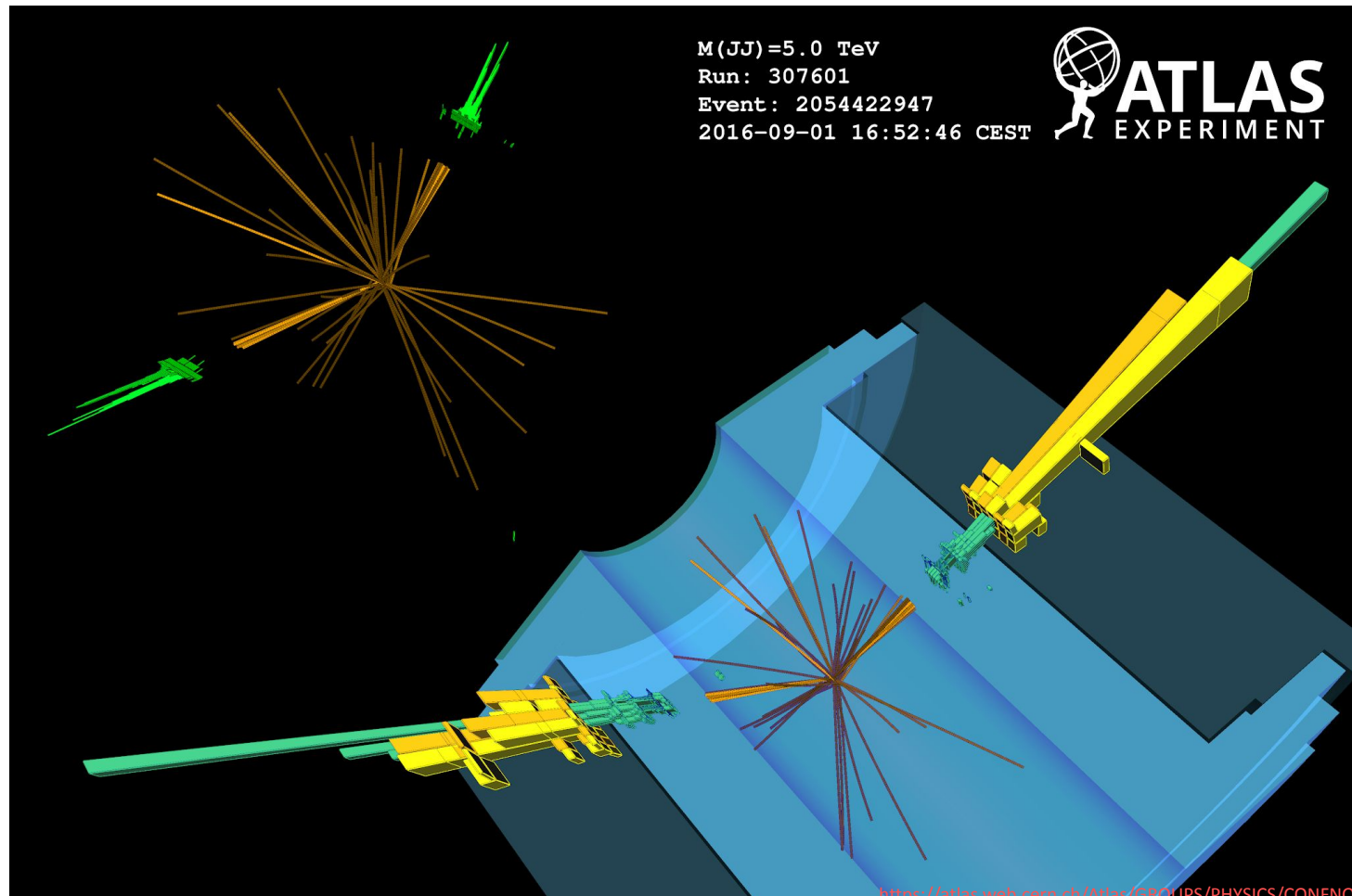
- Electromagnetic shower by interaction with material
- CMS uses scintillating lead tungstate crystals of 1.5 kg that can take 2 days to grow!
- Light detected with a photomultiplier tube



Same crystals used in PET scanners



Diboson event: jets in the ATLAS detector

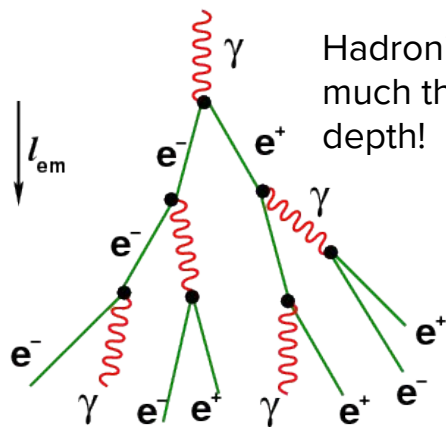


Hadronic calorimeter

	λ_{int} [cm]	X_0 [cm]
Szint.	79.4	42.2
LAr	83.7	14.0
Fe	16.8	1.76
Pb	17.1	0.56
U	10.5	0.32
C	38.1	18.8

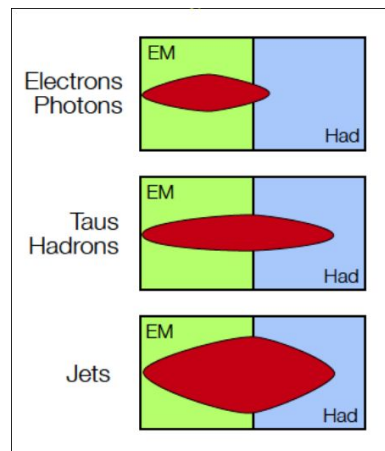
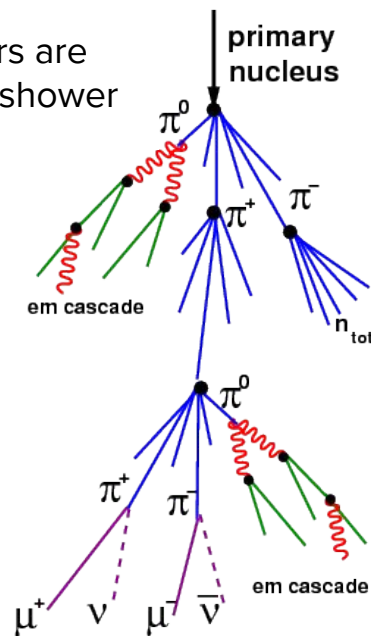
Need to consider fractions of energy in each calorimeter

em cascade

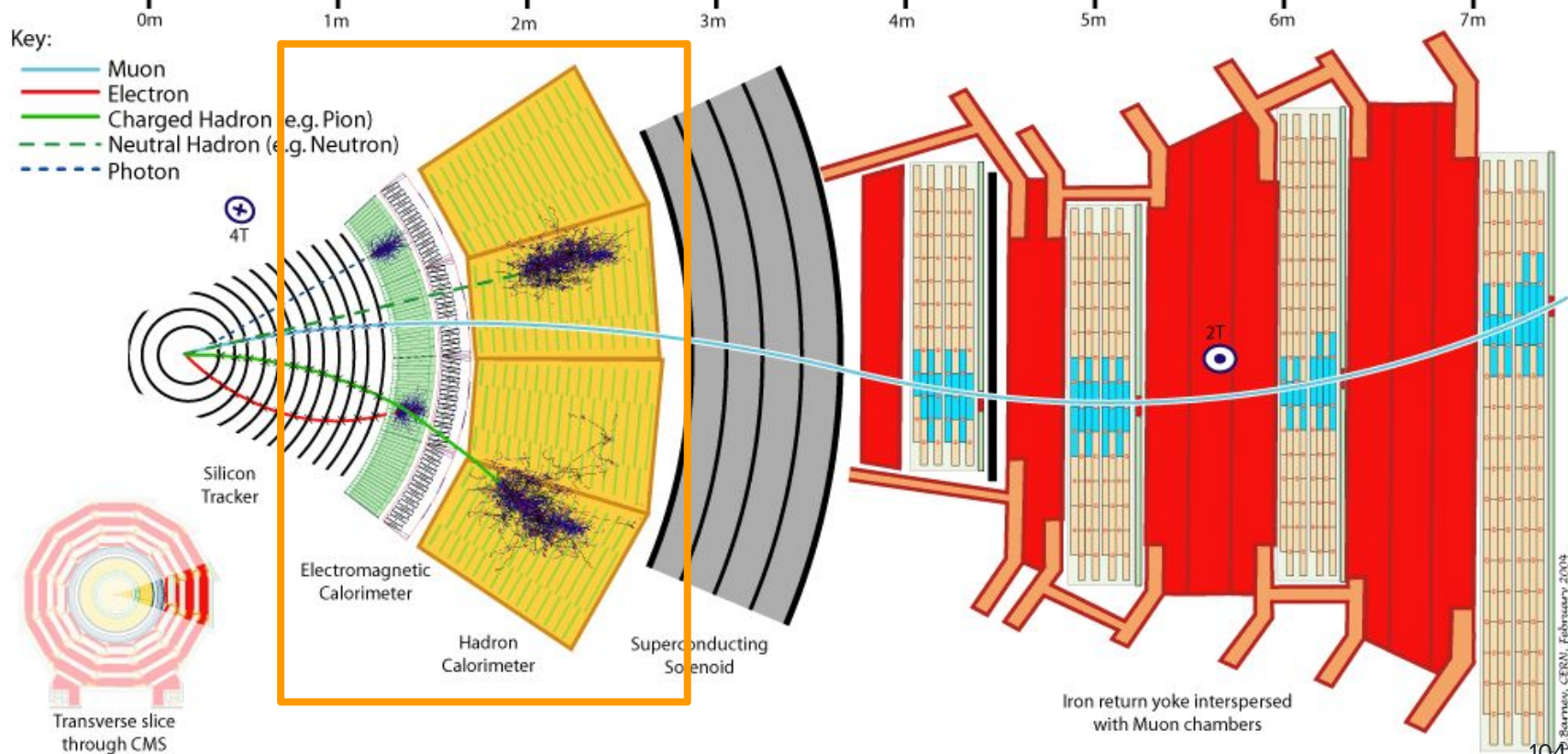


Hadronic calorimeters are much thicker: larger shower depth!

hadronic cascade



Detectors at the large hadron collider: onion-like



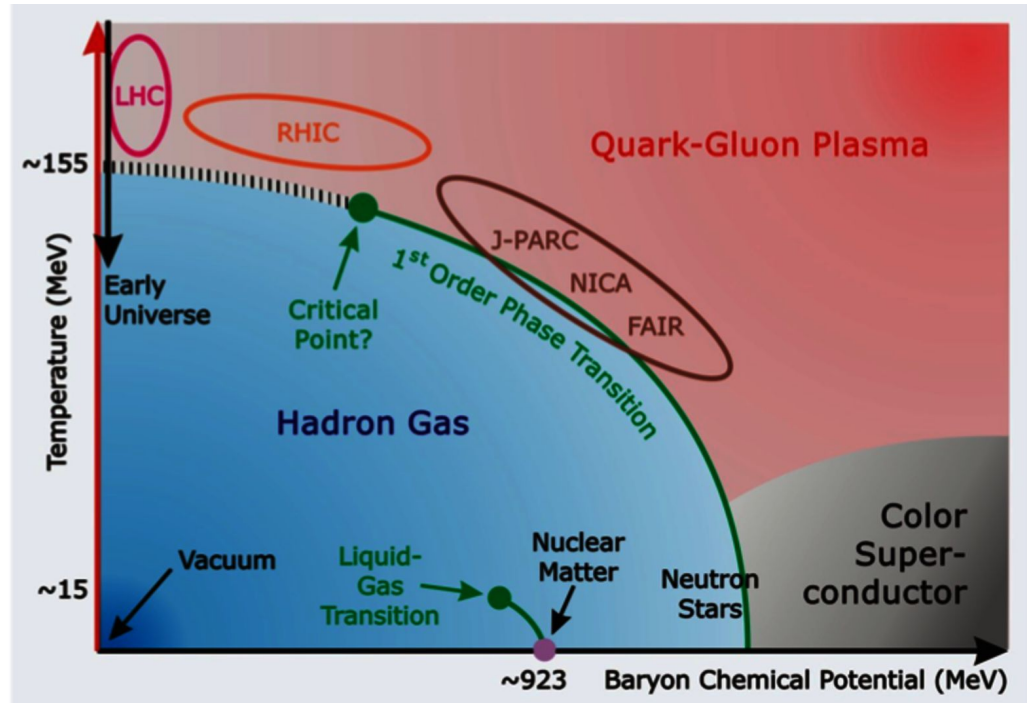
CMS = compact muon solenoid

De CMS solenoid:

- Is de grootste supergeleidende magneet ooit gemaakt
- Weegt 12000 ton
- Is gekoeld tot 4.65 K, 2 graden warmer dan in de ruimte
- Is 100,000 keer sterker dan het magneetveld op aarde
- Heeft genoeg energie om 18 ton goud te smelten
- Heeft bijna twee keer zoveel ijzer als de Eiffeltoren

Waarom zware ionen bestuderen?

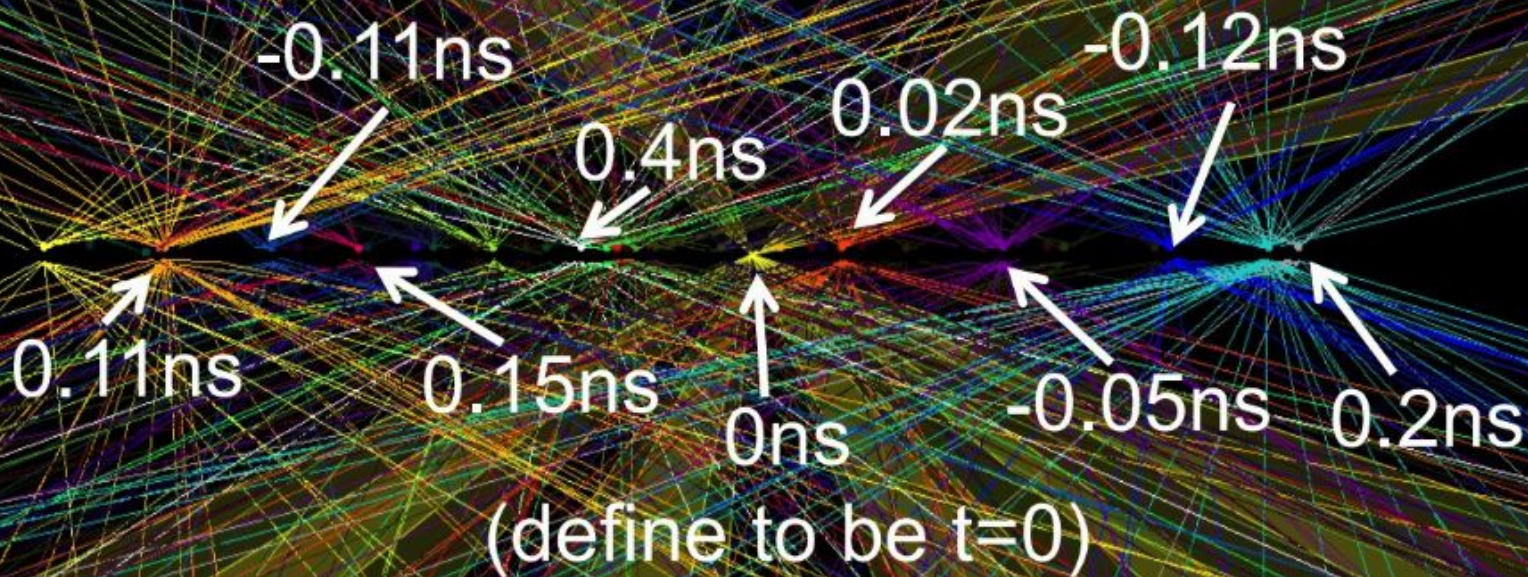
From gsi.de



CMS

E
CMS Experiment at LHC, CERN
Data recorded: Mon May 28 01:16:20 2012 CEST
Run/Event: 195099 / 35438125
Lumi section: 65
Orbit/Crossing: 16992111 / 2295

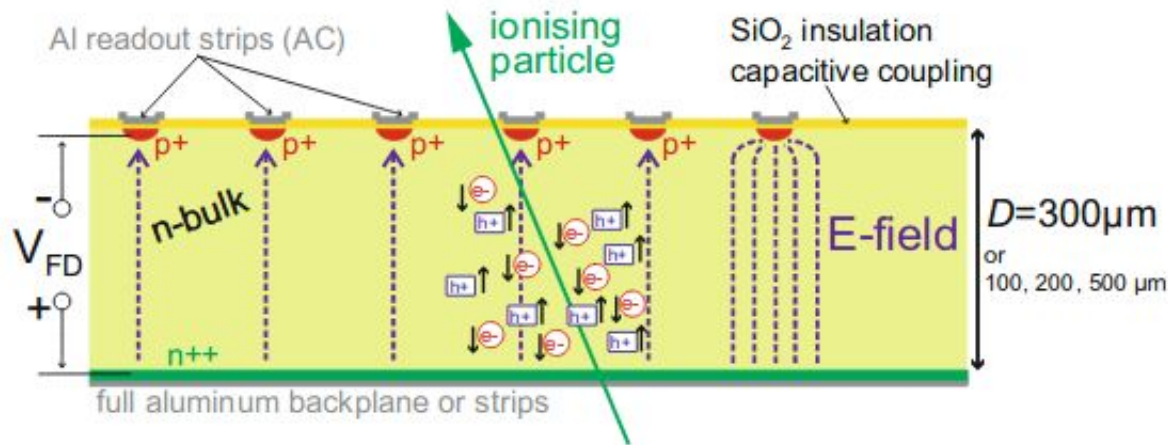
LHC Bunch Crossing 1ns Clip



Raw $\Sigma E_T \sim 2$ TeV
14 jets with $E_T > 40$
Estimated PU ~ 50

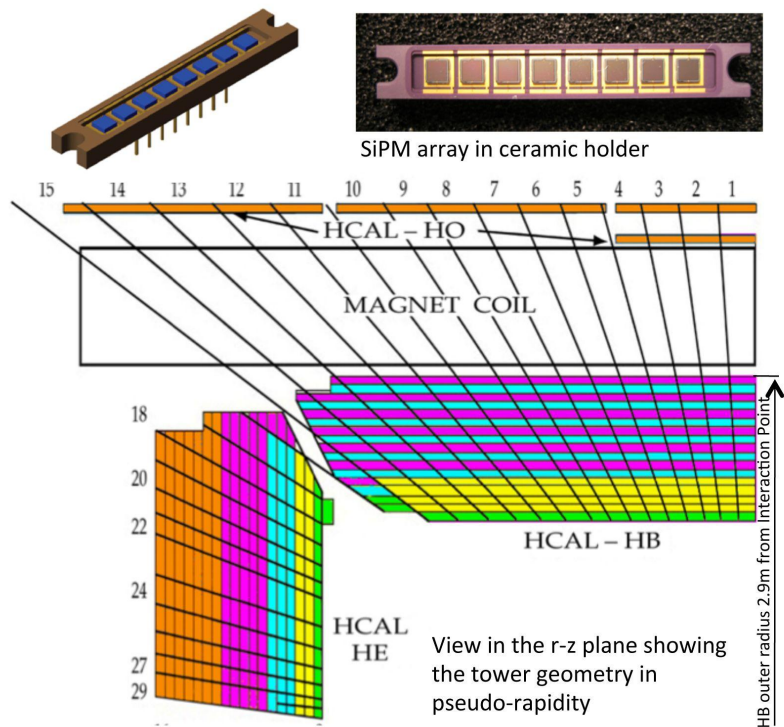
Ideal signal detection with silicon sensors

- A minimum ionizing particle (MIP) traveling through a fully depleted region (V_{FD}) creates electron hole pairs
- The charges drift to opposite directions under the electric field
- Within nanoseconds, charges are collected at the readout



p-in-n silicon sensor

Photomultipliers → silicon photomultipliers



CMS upgraded their hadronic calorimeter:
From hit information for 4 cells (1 tower) → hit information per cell